

فصل ۱

VIIIمقدمه

IX ۱-۱- مقدمه

X ۲-۱- ناپیوستگی در مکانیک محاسباتی

XII ۳-۱- روش اجزای محدود توسعه یافته

XVII ۴-۱- ساختار پایان نامه

فصل ۲

۱۹ مروری بر مکانیک شکست مواد کشسان خطی

۲۰ ۱-۲- مقدمه

۲۵ ۲-۲- رویکرد تحلیلی در مکانیک شکست کشسان خطی

۲۹ ۱-۲-۲- تعیین میدانهای تغییر شکل کشسان مجانبی در نقاط تکینه

۳۳ ۲-۲-۲- بسط مجانبی

۴۱ ۳-۲-۲- میدانهای مجانبی نزدیک نوک ترک در حال گسترش

۴۶ ۴-۲-۲- میدانهای نزدیک نوک ترک در برخورد میدان موج با ترک

فصل ۳

۵۷ اجزای محدود توسعه یافته

۵۸ ۱-۳- مقدمه

۶۳ ۲-۳- روش پیکره‌بندی واحد

۶۵ ۳-۳- روش اجزای محدود توسعه یافته

۶۶ ۱-۳-۳- کلیات روش

۶۸ ۲-۳-۳- مدل‌سازی ترک

۷۱ ۳-۳-۳- توابع نزدیک نوک ترک در محیط همسانگرد

۷۳ ۴-۳-۳- توابع نزدیک نوک ترک در حال گسترش در محیط همسانگرد

۷۴ ۵-۳-۳- توابع نزدیک نوک ترک حاصل از برخورد موج صفحه ای با ترک در محیط همسانگرد

فصل ۴

- ۷۶..... پیاده سازی عددی روش اجزای محدود توسعه یافته.....
- ۷۷..... ۴-۱- مقدمه.....
- ۷۸..... ۴-۲- تشکیل ماتریسها.....
- ۸۱..... ۴-۳- روشهای انتگرال گیری.....
- ۸۵..... ۴-۴- انتخاب گرهای جهت غنی سازی.....
- ۸۹..... ۴-۵- محاسبه ضرایب شدت تنش.....
- ۹۴..... ۴-۵-۱- روشهای محاسبه شدت تنش دینامیکی در حالت بار گذاری کلی (مود مختلط).....

فصل ۵

- ۱۰۲..... نمونه مثالهای عددی.....
- ۱۰۳..... ۵-۱- مسائل دینامیکی برای ترک ثابت.....
- ۱۰۳..... ۵-۱-۱- تیر با ترکی در کناره آن تحت اثر بار متمرکز (آزمایش خمش سه نقطهای).....
- ۱۱۳..... ۵-۱-۲- ورق نیمه نامحدود با ترکی در کناره آن زیر اثر تنش کششی دینامیکی.....
- ۱۱۷..... ۵-۱-۳- یک ورق همسانگرد با ترکی در مرکز ورق، تحت اثر تنشهای کششی.....
- ۱۲۳..... ۵-۲- مسائل دینامیکی برای ترک در حال گسترش.....
- ۱۲۵..... ۵-۲-۱- یک ورق با ترکی در کناره آن زیر اثر تنشهای کششی که با گذشت زمان گسترش مییابد.....

فصل ۶

- ۱۲۸..... نتیجه گیری و پیشنهادها.....

فصل ۱

مقدمه

۱-۱- مقدمه

تا اواسط قرن بیستم، حل مسائل مهندسی عمدتاً توسط ریاضیدانان به روش تحلیلی صورت می‌پذیرفت. هر چند پایه ریاضی بسیاری از روشهای عددی نظیر روشهای تفاضل محدود یا روشهای تغییراتی در همین سالها بوجود آمده، اما حجم بالای محاسبات، عملاً این روشها را در حاشیه قرار داده بود.

با ظهور کامپیوترها، مهندسیین توانستند مسائل پیچیده‌ای را که حل آنها با روشهای تحلیلی غیر ممکن بود بصورت عددی حل کنند. امروزه، روشهای عددی در بسیاری از رشته‌های مهندسی و صنایع نظیر هوافضا، هواپیماسازی، کشتی‌سازی، بیومکانیک و نانوتکنولوژی به جایگزینی کاملاً مناسب در حل مسائل تبدیل شده است [۱].

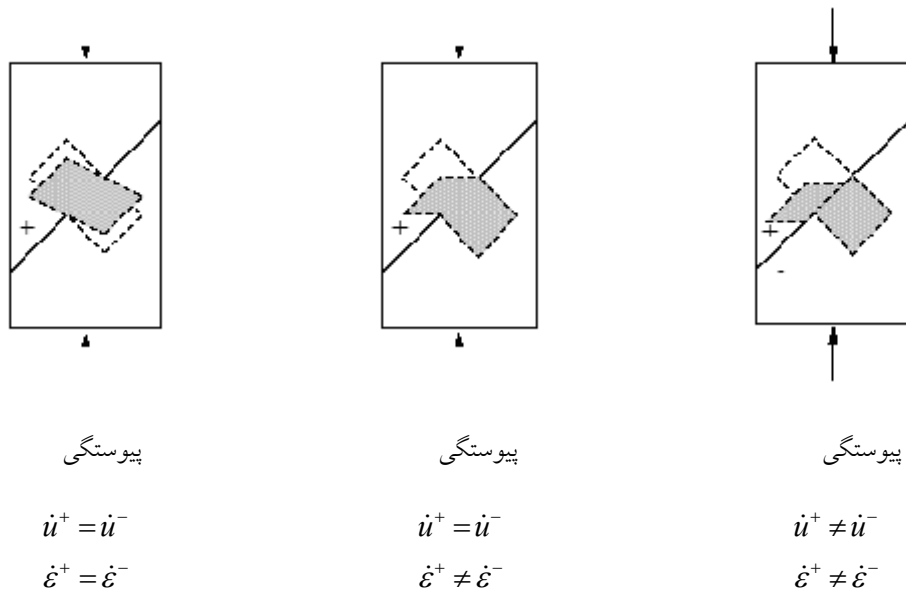
۱-۲- ناپیوستگی در مکانیک محاسباتی

ناپیوستگی‌ها در مکانیک، به دو دسته کلی ناپیوستگی قوی^۱ و ناپیوستگی ضعیف^۲ تقسیم می‌شوند. ناپیوستگی قوی، ناپیوستگی در میدان تغییر مکان است (مانند ترک) و منظور از ناپیوستگی ضعیف، ناپیوستگی مشتقات تغییر مکان یعنی ناپیوستگی کرنش است. این نوع ناپیوستگی در فصل مشترک جریانهای دوفازه یا در محیط‌های غیرهمجنس دیده می‌شود. در شکل (۱-۱)، یک شمای کلی از این ناپیوستگی‌ها نشان داده شده است. به زبان ریاضی ناپیوستگی ضعیف با $\llbracket \llbracket \llbracket$ و ناپیوستگی قوی با $\llbracket \llbracket \llbracket$ نشان داده می‌شود [۲].

ترک در پوسته‌ها، باند برشی در المانهای سازه‌ای، درزه‌ها در مکانیک سنگ، سطوح گسل‌ها و زمین‌لغزه‌ها، سطوح برخورد هم‌شکل و غیرهم‌شکل اجسام در مکانیک تماس نمونه‌هایی از ناپیوستگی در مسائل مهندسی هستند.

در بیشتر روش‌های عددی، چه آنهایی که برای مجزاسازی دامنه از فرم ضعیف شده^۳ استفاده می‌کنند، و چه آنهایی که از فرم قوی معادله دیفرانسیل جزئی^۴ بهره می‌گیرند، ناپیوستگی بصورت "صریح"^۵ تعریف می‌شود.

1- Strong discontinuity
2- Weak discontinuity
3- Weak form
4- Strong form
5- Explicit



شکل ۱-۱. سینماتیک انواع ناپیوستگی

در روش سنتی اجزای محدود، هیچ المانی نمی‌تواند ناپیوستگی را قطع کند. بنابراین تعریف صریح ناپیوستگی مستلزم وابستگی توپولوژی مش به موقعیت ناپیوستگی است.

در مسائلی که ناپیوستگی، متحرک یا رشد یابنده است، تعریف صریح ناپیوستگی نیازمند هزینه گزاف شکستن پیکربندی موجود و از نو ساختن آن در تمامی مراحل رشد یا تکامل ناپیوستگی است. برای غلبه کردن بر این مشکلات، برخی محققان روش اجزای محدود توسعه یافته را پیشنهاد کرده‌اند که در آن مش‌بندی مدل بدون در نظر گرفتن ناپیوستگی‌ها انجام می‌پذیرد و سپس با کمک گرفتن از برخی توابع، ناپیوستگی‌ها مدل می‌گردد. در این صورت هر نوع ناپیوستگی شامل ترک، حفره و تغییر فاز را می‌توان در این روش مدل کرد.

۱-۳- روش اجزای محدود توسعه یافته

امروزه، در میان روشهای عددی متداول، روش اجزای محدود کاربرد بیشتری پیدا کرده است. اصطلاح اجزای محدود برای اولین بار توسط کلاف^۱ در سال ۱۹۶۰ جهت حل مسائل الاستیسیته دوبعدی به کار گرفته شد [۳]. البته اولین شخصی که برای اولین بار از این روش استفاده کرد، کورانت^۲ در سال ۱۹۴۳ بود که از آن برای حل مسائلی در پیچش استفاده نمود [۴]. در این روش، غالباً مسائل فیزیکی با کمینه نمودن انرژی پتانسیل کل حل می‌شوند. روش کار این‌گونه است که کل مدل، به اجزای کوچکتری به نام المان تقسیم می‌شود. هر المان دارای گره‌هایی است که از این طریق می‌تواند به المانهای مجاور وصل شود و تنش‌ها و سایر پارامترها را به المانهای مجاور منتقل کند. با وجود تقریبی بودن روش می‌توان با ازدیاد المانها بر دقت آن افزود. علاوه بر آن، روش اجزای محدود از مزایای زیر برخوردار است [۵]:

قابلیت اعمال روش برای هر مسأله میدانی مانند انتقال حرارت، تحلیل تنش، میدانهای مغناطیسی. هیچ محدودیتی در هندسه مسأله در این روش وجود ندارد و مسأله مورد نظر می‌تواند هر شکلی را به خود بگیرد.

شرایط مرزی و بارگذاری کاملاً دلخواه می‌باشد. به عنوان مثال، در تحلیل تنش، هر قسمتی از جسم می‌تواند دارای تکیه‌گاه باشد و یا هر قسمتی از آن را می‌توان بارگذاری نمود. محیط مورد استفاده در المانها به محیط خاصی محدود نیست و می‌تواند از یک المان به المان دیگر و یا حتی در درون یک المان تغییر کند.

^۱ - Clough

^۲ - Courant

مؤلفه‌هایی که رفتارها و یا تعاریف ریاضی متفاوتی دارند، با ترفندهایی در مدلسازی می‌توانند با یکدیگر ترکیب شوند. به عنوان مثال یک مدل اجزای محدود در تحلیل تنش، می‌تواند شامل میله، تیر، ورق، کابل باشد.

در جاهایی که متغیرهای اصلی میدان دارای تغییرات شدید هستند، می‌توان با ریز کردن مش دقت جوابها را بهبود بخشید.

با توجه به ویژگی‌های بالا، روش اجزای محدود نسبت به سایر روشها از کاربرد بیشتری برخوردار است. با این وجود، روش سنتی اجزای محدود در حل برخی مسائل مکانیک کاربردی نارسائی‌هایی دارد [6]. بعنوان نمونه :

مدلسازی شبه استاتیکی و دینامیکی شکست در جامدات

مدلسازی جریان سیال و تغییرشکل‌های بزرگ در جامدات

در هر دو مورد ساختن تقریبی که به توپولوژی المان وابسته نباشد، یک مزیت به شمار می‌رود. روش اجزای محدود توسعه یافته، در حال حاضر، یکی از آخرین گام‌ها از نردبان توسعه روش‌های عددی در حل مسائل دربرگیرنده ناپیوستگی‌های ضعیف و قوی (مراتب اول و دوم ناپیوستگی) در مکانیک محاسباتی است که از مزایای دو روش اجزای محدود و بدون المان استفاده می‌کند.

برای اینکه بتوانیم مقایسه شفاف‌تری بین روشهای فوق داشته باشیم، باید شاخص‌های این مقایسه را بیان کنیم [7]. این شاخص‌ها عبارتند از :

- قدرت همگرایی^۱ در حل مسائل استاتیکی و دینامیکی
 - مرتبه پیوستگی توابع شکل
 - سرعت و سهولت در برآورد توابع شکل و انتگرال گیری برای بدست آوردن ماتریس سختی
 - سرعت و دقت در اعمال شرایط مرزی اساسی
- مرتبه پوشایی^۲ در روشهای تغییراتی به درجه تابع چندجمله‌ای گفته می‌شود که توسط تقریب بطور دقیق برآورد می‌شود.

یک دسته از توابع شکل () ، زمانی تابع () را بطور دقیق برآورد می‌کنند که داشته باشیم :

$$(\cdot) = (\cdot) (\cdot) = (\cdot) \quad (!-!)$$

بطور خاص اگر $(\cdot) = 1$ (تابع ثابت) باشد، داریم :

$$\sum (\cdot) = 1 \quad (!-!)$$

و می‌گوییم، توابع شکل پوشا از مرتبه صفر هستند. به دسته توابعی که دارای این خصوصیت باشند "پیکره‌بندی واحد"^۳ گویند. توابع اجزای محدود هم‌پارامتر، دارای خاصیت PU بوده و در دسته روش‌های پیکره‌بندی واحد (PUM) قرار می‌گیرند.

بلیتسکو^۴ و همکارانش نشان دادند که شرط لازم برای اینکه ممنتم خطی و زاویه‌ای در یک

تقریب^۵ پایستار^۶ باشد آنست که تقریب پوشا، به ترتیب از مرتبه صفر و یک باشد [۸].

1- Convergency
 2- Consistency/Completeness/Reproduction
 3- Partition of unity (PU)
 4- Belytschko et al
 5- Discretization
 6- Conservative

پایستاری ممتتم خطی یعنی اینکه آهنگ تغییرات ممتتم خطی برابر با نیروی خارجی وارده باشد.

بنابراین در غیاب نیروهای خارجی (فقط حضور نیروهای داخلی) این قانون چنین بیان می‌شود:

$$-\left(\sum \epsilon\right) = \sum \epsilon = 0 \quad (!-!)$$

m_I جرم نقطه‌ای، دامنه مسأله و میدان سرعت است. از معادله ممتتم خطی بدون نیروی حجمی

و خارجی داریم:

$$\dot{\rho} = -\sum \epsilon \quad (!-!)$$

تابع شکل گره I در نقطه انتگرال‌گیری X_I و ضرایب وزنی انتگرال‌گیری هستند. در

توضیح رابطه (۱-۴) یک جزء حجم با ابعاد \dots در دامنه را در نظر می‌گیریم. از

رابطه تعادل، بدون حضور نیروهای حجمی داریم:

$$dF_x = \left(\frac{\partial \sigma_x}{\partial x} + \frac{\partial \tau_{xy}}{\partial y} + \frac{\partial \tau_{xz}}{\partial z} \right) dx dy dz \quad (!-!)$$

$$dF_y = \left(\frac{\partial \tau_{yx}}{\partial x} + \frac{\partial \sigma_y}{\partial y} + \frac{\partial \tau_{yz}}{\partial z} \right) dx dy dz \quad (!-!)$$

$$dF_z = \left(\frac{\partial \tau_{zx}}{\partial x} + \frac{\partial \tau_{zy}}{\partial y} + \frac{\partial \sigma_z}{\partial z} \right) dx dy dz \quad (!-!)$$

روابط بالا را می‌توان بدین صورت خلاصه کرد:

$$dF = \nabla \cdot \sigma d\Omega \quad (!-!)$$

طبق رابطه بقای ممتتم خطی داریم:

$$\rho \dot{V}(X) d\Omega = dF \quad (!-!)$$

بنابراین، از معادلات (۱-۸) و (۱-۹) برای یک المان از دامنه Ω با ابعاد محدود، نتیجه می‌شود:

$$\int_{\Omega} \rho \dot{V}(X) d\Omega = \int_{\Omega} \nabla \cdot \sigma(X) d\Omega \quad (!!-!)$$

با ضرب طرفین رابطه فوق در تابع شکل گره I ام المان $\Omega_I \subset \Omega$ داریم :

$$m_I \dot{V}_I = \int_{\Omega_I} \rho \dot{V}(X) \Phi_I(X) d\Omega = \int_{\Omega_I} \nabla \cdot \sigma(X) \Phi_I(X) d\Omega \quad (!!-!)$$

عبارت سمت راست رابطه فوق با استفاده از قضایای گرادیان و دیورژانس، بصورت زیر ساده می‌شود:

$$\int_{\Omega_I} \nabla \cdot \sigma(X) \Phi_I(X) d\Omega = - \int_{\Omega_I} \sigma \cdot \nabla \Phi_I d\Omega - \int_{\Gamma} (\hat{n} \cdot \sigma) \Phi_I ds \quad (!!-!)$$

$\hat{n} \cdot \sigma$ در رابطه فوق، بردار Traction یا همان تنش سطحی روی سطوح خارجی دامنه فرضی Ω_I است. لذا عبارت سمت راست رابطه (۱-۱۲) در غیاب نیروهای خارجی برای دامنه Ω_I صفر است.

بنابراین داریم :

$$m_I \dot{V}_I = - \int_{\Omega_I} \nabla \Phi_I(X) \cdot \sigma(X) d\Omega = - \sum_{J \in \Omega} \nabla \Phi_I(X_J) \cdot \sigma(X_J) w_J \quad (!!-!)$$

و به این ترتیب، رابطه (۱-۱۳) اثبات می‌شود. حال با قرار دادن معادله (۱-۱۴) در طرف دوم معادله (۱-۱۳) داریم :

$$\sum_{J \in S} m \dot{V}_I = - \sum_{I \in S} \sum_{J \in S} \nabla \Phi_I(X_J) \cdot \sigma(X_J) w_J = - \sum_{J \in S} \sum_{I \in S} \nabla \Phi_I(X_J) \cdot \sigma(X_J) w_J = 0 \quad (!!-!)$$

$$\Rightarrow \sum_{I \in S} \nabla \Phi_I(X_J) = 0 \Rightarrow \sum_{I \in S} \frac{\partial}{\partial x} \Phi_I(X_J) = 0, \quad \sum_{I \in S} \frac{\partial}{\partial y} \Phi_I(X_J) = 0 \quad (!!-!)$$

$$\Rightarrow \sum_{I \in S} \Phi_I(X_J) = \cos t = 1 \quad (!!-!)$$

طبق اصل تعادل Lax-Richtmeyer، شرط همگرایی یک روش پوشایی و پایداری^۱ است. پایداری روش تضمین می‌کند که یک نقص کوچک در تقریب^۲، کوچک بماند [۹].

یک روش، همگرا از مرتبه k ($k > 0$) است، اگر:

$$\max |u(X_i) - u_i| \leq ch^k \quad (!!-!)$$

c عدد ثابت و h پارامتر فاصله^۳ است.

یک تقریب، پیوسته از مرتبه n (یعنی C^n) است اگر توابع مورد استفاده در آن تقریب n بار مشتق پیوسته داشته باشند.

در روش اجزای محدود، شرایط مرزی اساسی، بصورت مستقیم ارضا می‌شود، بعلاوه حذف مستقیم درجات آزادی مقید، حل معادله جبری نهایی را خلاصه‌تر می‌کند. به بیان دیگر، در این روش ماتریس مجهولات $\{u_i\}$ ، معنای فیزیکی دارند (مقادیر تغییر مکان گرهی).

۱-۴- ساختار پایان‌نامه

در فصل دوم، ابتدا به طور مختصر به بیان اصول مکانیک شکست کشسان پرداخته می‌شود و روابط مربوط به ترک در یک محیط ایزوتروپ بیان می‌گردد.

در ادامه، در فصل سوم به تشریح روش اجزای محدود توسعه یافته می‌پردازیم. در این فصل کار با مروری بر روش پیکره‌بندی واحد آغاز می‌گردد. سپس رابطه کلی روش اجزای محدود توسعه یافته بیان می‌شود و پس از آن نحوه مدلسازی ترک در این روش شرح داده می‌شود. بعد از آن به معرفی توابع غنی‌ساز در محیط‌های همسانگرد با ترک در حال سکون و در حال گسترش می‌پردازیم و پس

1- Stability
2- Discretization
3- Dilation parameter

از آن، توابع غنی‌سازی در محیط‌های همسانگرد برای برخورد یک موج با ترک ساکن و در حال گسترش استخراج می‌گردد.

در فصل چهارم نحوه پیاده‌سازی روش و همچنین برخی نکات در مورد محاسبه پارامترهای موجود در مکانیک شکست توضیح داده می‌شود.

در فصل پنجم به رایه مثال‌های عددی در زمینه مسائل دینامیکی پرداخته می‌شود. در خاتمه نیز مراجع استفاده شده در این پایان‌نامه ذکر شده است.

مروری بر مکانیک شکست مواد

کشسان خطی

۲-۱- مقدمه

نیاز اساسی هر سازه‌ای در طراحی، تأمین مقاومت آن در برابر تمام مودهای شکست (انهدام)

محتمل یا ترکیبی از آنهاست. این مودها عبارتند از:

ناپایداری کشسان^۱ (کمانش)

تغییر شکل کشسان بزرگ^۲

تغییر شکل خمیری کلی^۳ (تسلیم)

ناپایداری کششی^۴

شکست^۵

1- Buckling
2- Jamming
3- Yielding
4- Necking
5- Fracture

اغلب این مودها بخوبی شناخته شده‌اند و فرایند طراحی برای مقاومت در برابر آنها توسعه یافته است.

در حالیکه شکست المان‌های سازه‌ای بعد از بارگذاری‌های غیر عادی مانند زلزله، مود اصلی خسارت‌های سازه‌ای را تشکیل می‌دهد، اما این پدیده هنوز به درستی شناخته نشده است [۲]. دست‌کم سه نوع شکست با رفتار کاملاً متفاوت شناخته شده است، که عبارتند از شکست ترد^۱، شکست انعطاف‌پذیر^۲، شکست در محدوده انتقال^۳.

شکست ترد، مربوط به صفحات کریستالوگراف در مقیاس میکروسکوپی بوده و در کران پایین محدوده دمایی در المانهای سازه‌ای روی می‌دهد. از آنجا که مواد در این نوع رفتار، وارد حد خمیری نمی‌شوند، المانهای سازه‌ای در فرایند شکست کشسان، انرژی قابل توجهی جذب نمی‌کنند.

شکست انعطاف‌پذیر، مربوط به پیدایش و رشد حفره‌ها در مقیاس میکروسکوپی بوده و در کران بالای محدوده دمایی در سازه رخ می‌دهد. شکست انعطاف‌پذیر، "شکست کاملاً خمیری" نیز نامیده می‌شود، چراکه در این حالت سطح قابل توجهی از مقطع ترک‌خورده، خمیری شده است.

انهدام^۴ مواد همیشه با ایجاد ناپیوستگی در محیط همراه نیست. این دسته از مکانیزم‌های انهدام را می‌توان در حوزه مکانیک محیط‌های پیوسته^۵ بررسی کرد.

آنالیز انهدام در مکانیک محیط‌های پیوسته، به دو شاخه پلاستیسیته و خرابی^۶ تقسیم می‌شود. اما اگر مکانیزم خرابی با ناپیوستگی در دامنه تغییر مکان همراه باشد، به آن شکست^۷ می‌گویند.

1- Brittle

2- Ductile

3- Transition-range fracture

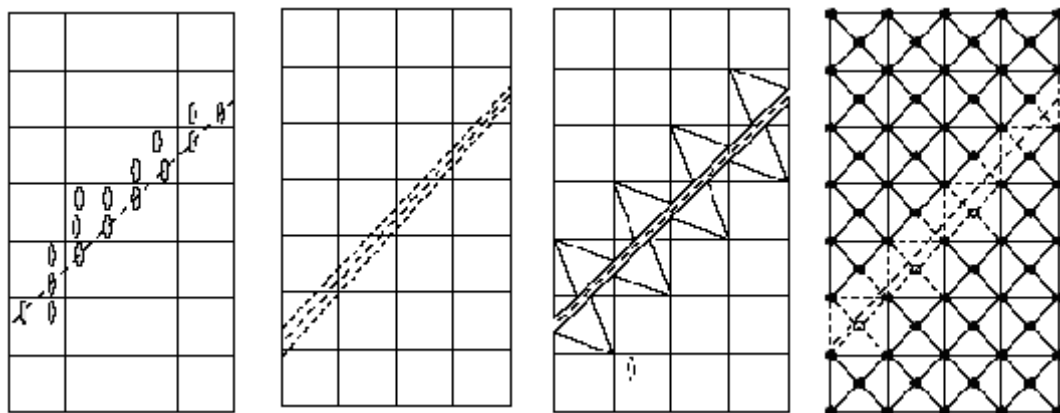
4- Failure

5- Continuum mechanics

6- Damage

7- Fracture

راهکارهای مختلف عددی در بررسی مسأله انهدام مواد بصورت شماتیک در شکل ۱-۲ نشان داده شده است. به این بیان شماتیک در این سطح اکتفا کرده و از توضیح مفصل این روش‌ها در این پایان‌نامه صرف‌نظر می‌شود.



Smeared

Embedded

Discrete

Lattice



مکانیک محیط پیوسته (پلاستیسیته و خرابی)^۱

مکانیک شکست

ثابت ماندن درجات آزادی

افزایش تعداد المان‌ها

کاهش تعداد المان‌ها

شکل ۱-۲. راهکارهای عددی در بررسی انهدام مواد

رویکرد تحلیلی حل مسائل شکست، از قدمت زیادی برخوردار است. شاید حل مسأله تمرکز تنش در نزدیکی سوراخ دایره‌ای در صفحه بی‌نهایت، توسط یک مهندس آلمانی به نام کرش^۲ در سال ۱۸۹۸ را بتوان نقطه شروع این رویکرد دانست.

1- Damage

2 -Kirsch

در سال ۱۹۱۳، انگلیس^۱ مسأله تمرکز تنش اطراف قطره‌های یک بیضی در صفحه بی‌نهایت را حل کرد. گریفیس^۲ به بررسی مقاومت جامدات کریستالی^۳ پرداخته و معیار ترمودینامیکی شکست اجسام ترد را با در نظر گرفتن تغییرات کلی انرژی طی فرایند گسترش ترک، ارائه کرد.

در سال ۱۹۳۹، وسترگارد^۴ بیانی برای میدان تنش نزدیک نوک ترک تیز در الاستیسیته ارائه کرد. اروین^۵ در سال ۱۹۴۵، اساس مکانیک شکست را بنا نهاد. او تئوری اولیه گریفیس را با در نظر گرفتن تسلیم در نوک ترک گسترش داد (تئوری اصلاح شده گریفیس)، پاسخ عمومی وسترگارد را با معرفی مفهوم ضریب شدت تنش (SIF)^۶ تغییر داد و مفهوم آهنگ آزاد شدن انرژی^۷ (G) را معرفی کرد.

در سال ۱۹۶۱، پاریس^۸ معادله تجربی رابطه بین دامنه SIF با آهنگ رشد ترک را ارائه کرد. ولز^۹ در سال ۱۹۶۳، از تغییر مکان بازشدگی ترک^{۱۰} (COD) بعنوان پارامتری برای مشخص کردن مقاومت ترک در جامدات الاستوپلاستیک ارائه کرد. کار او شروع ملاحظات رفتار غیرخطی در مکانیک شکست بود.

رایس^{۱۱} در سال ۱۹۶۸، در مقاله‌ای انتگرال J را معرفی کرد. J یک انتگرال منحنی مستقل از مسیر (پایستار) و معرف آهنگ تغییر انرژی پتانسیل برای یک جامد غیرخطی کشسان در واحد طول گسترش ترک است.

1 -Inglis

2 -Griffith

3- Crystalline solids

4 -Westwrgaard

5 -Irwin

6- Stress Intensity Factor

7 - Energy release rate

8 -Paris

9 -Wells

10- Crack Opening Displacement

11 -Rice

سیه^۱ در اواسط دهه ۶۰، اولین مدل گسترش ترک با موده‌های مرکب^۲ را ارائه دادند. پس از آن، توسعه در زمینه‌هایی مانند رشد ترک دینامیکی^۳، شکست لایه‌ها^۴ و کامپوزیت‌ها، تکنیک‌های عددی و فلسفه‌های طراحی ادامه یافت [۲].

حل تحلیلی مسائل در مکانیک شکست، حاوی محاسبات پیچیده روش متغیر مختلط^۵ است. مسائلی که حل تحلیلی کامل دارند، بسیار اندک هستند. این مسائل در جدول ۲-۱ ارائه شده‌اند:

!!!!!!-! . مسائل حل شده در مکانیک شکست

مسأله	سیستم مختصات	حل توسط	در سال
حفره دایره‌ای	قطبی	<i>Kirsch</i>	۱۸۹۸
حفره بیضوی	منحنی الخط	<i>Kolosof و Inglis</i>	۱۹۱۳
ترک	کارتزین	<i>Westergaard</i>	۱۹۳۹
شیار ۷ شکل	قطبی	<i>Williams</i>	۱۹۳۲
ترک در فصل مشترک محیط‌های غیرهم‌جنس	قطبی	<i>Williams</i>	۱۹۵۹
ترک در محیط غیرهمسان	کارتزین	<i>Sih</i>	۱۹۶۵

1 -Sih

2- Mixed mode

3- Dynamic crack growth

4 -Laminates

5- Complex variable method

۲-۲- رویکرد تحلیلی در مکانیک شکست کشسان خطی

همانطور که اشاره شد، روش حل کلی این مسائل روش متغیرمختلط است و توابع تنش ایری که معادله تعادل را ارضا می‌کنند، فرم مختلط دارند.

بطور کلی هر تابع تنش را می‌توان به فرم زیر بیان کرد [۱۰]:

$$= \text{Re}[\bar{\psi}(z) + \chi(z)] \quad (1-1)$$

که در آن $\psi(z)$ و $\chi(z)$ بسته به توپولوژی مسأله مورد نظر بدست آمده و باید هارمونیک باشند،

یعنی:

$$= = 0 \quad (2-2)$$

تنش‌های بدست آمده از این تابع تنش، عبارتند از:

$$+ = 4\text{Re}(\chi) \quad (3-2)$$

$$- + 2 = 2[\bar{\psi}'(z) + \chi'(z)] \quad (4-2)$$

تابع تنش ایری عمومی برای حل مسائل ترک به فرم زیر است [۲]:

$$(\sigma_x, \sigma_y) = 2\text{Re}[\bar{\psi}(z) + \chi(z)] \quad (5-2)$$

که در آن ϕ_1 تابع دلخواهی از $z_1 = x + \mu_1 y$ و ϕ_2 تابع دلخواهی از $z_2 = x + \mu_2 y$ است. شرایط

سازگاری بر حسب تابع تنش ایری برای جامدات غیرهمسانگرد کلی چنین است:

$$a_{22} \frac{\partial^4 \phi}{\partial x^4} - 2a_{26} \frac{\partial^4 \phi}{\partial x \partial y} + (2a_{12} + a_{66}) \frac{\partial^4 \phi}{\partial x^2 \partial y^2} - 2a_{16} \frac{\partial^4 \phi}{\partial x \partial y^3} + a_{11} \frac{\partial^4 \phi}{\partial y^4} = 0 \quad (6-2)$$

معادله مشخصه حاصل از این معادله دیفرانسیل جزئی، عبارت است از:

$$a_{11} \mu^4 - 2a_{16} \mu^3 + (2a_{12} + a_{66}) \mu^2 - 2a_{26} \mu + a_{22} = 0 \quad (7-2)$$

و تنش‌ها و تغییرشکل‌ها برابرند با:

$$\sigma_x = 2 \operatorname{Re} \left[\mu_1^2 \frac{d^2 \phi_1}{dz_1^2} + \mu_2^2 \frac{d^2 \phi_2}{dz_2^2} \right] \quad (۸-۲)$$

$$\sigma_y = 2 \operatorname{Re} \left[\frac{d^2 \phi_1}{dz_1^2} + \frac{d^2 \phi_2}{dz_2^2} \right] \quad (۹-۲)$$

$$\tau_{xy} = -2 \operatorname{Re} \left[\mu_1 \frac{d^2 \phi_1}{dz_1^2} + \mu_2 \frac{d^2 \phi_2}{dz_2^2} \right] \quad (۱۰-۲)$$

$$u = 2 \operatorname{Re} \left[p_1 \frac{d\phi_1}{dz_1} + p_2 \frac{d\phi_2}{dz_2} \right] \quad (۱۱-۲)$$

$$v = 2 \operatorname{Re} \left[q_1 \frac{d\phi_1}{dz_1} + q_2 \frac{d\phi_2}{dz_2} \right] \quad (۱۲-۲)$$

در معادلات بالا برای p_i, q_i ($i=1,2$) هستند با:

$$p_i = a_{11}\mu_i^2 + a_{12} - a_{16}\mu_i, \quad q_i = a_{12}\mu_i + \frac{a_{22}}{\mu_i} - a_{26}, \quad (i=1,2) \quad (۱۳-۲)$$

بدین ترتیب توابع تغییر مکان برای هندسه ترک و محورهای مختصات محلی (r, θ) ، نشان داده

شده در شکل ۲-۲، در دستگاه مختصات قطبی واقع در نوک ترک در محیط همسانگرد، برابرند با:

$$\begin{aligned} &= \\ &= \frac{-\cos(-)}{\sin(-)} - \frac{-1 + 2\sin(-)}{-1 + 2\cos(-)} + \frac{-\sin(-)}{-\cos(-)} - \frac{-1 + 2\cos(-)}{-1 + 2\sin(-)} \end{aligned} \quad (۱۴-۲)$$

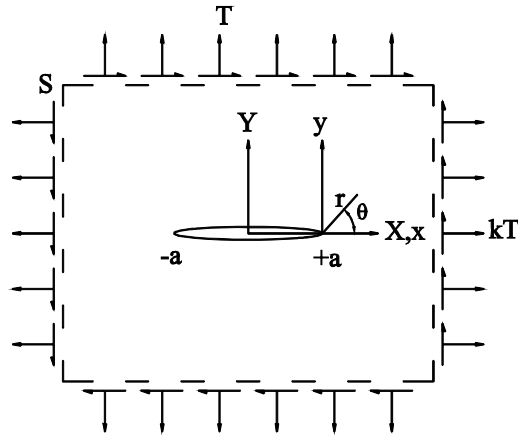
K_I و K_{II} ، ضرایب شدت تنش برای مودهای اول و دوم و μ و κ پارامترهای جنس ماده هستند:

$$\mu = \frac{E}{2(1+\nu)} \quad (۱۵-۲)$$

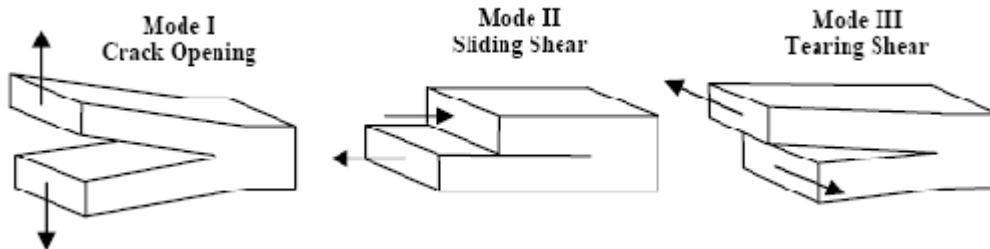
$$\kappa = \begin{cases} 3-4\nu & \text{plane stress} \\ \frac{3-\nu}{1+\nu} & \text{plane strain} \end{cases} \quad (16-2)$$

لذا توابع پایه (سازنده) میدان تغییرمکان نوک ترک در محیط همسانگرد برابراند با [۱۰]:

$$\{F_i(r, \theta)\}_{i=1}^4 = \{\sqrt{r} \sin(\theta/2), \sqrt{r} \cos(\theta/2), \sqrt{r} \sin(\theta/2) \sin \theta, \sqrt{r} \cos(\theta/2) \sin \theta\} \quad (17-2)$$



شکل ۲-۲. هندسه ترک، شرایط بارگذاری و محورهای کارترین و قطبی محلی و کلی.



شکل ۲-۳. مدهای اول تا سوم تغییرشکل و بارگذاری ترک.

مقادیر ضریب شدت تنش برای مود اول بارگذاری، در چند مسأله با هندسه مشخص بدست آمده

که در جدول ۲-۲ آورده شده است.

!!!!!!-! ضرایب شدت تنش مود اول برای تعدادی از مسائل شکست

$\sqrt{\quad}$	ترک مرکزی به طول $2a$ در صفحه بی نهایت
1.12 $\sqrt{\quad}$	ترک کناری به طول a در صفحه نیمه بی نهایت
2 $\frac{\quad}{\quad}$	ترک مرکزی دایره‌ای به شعاع a در محیط سه بعدی بی نهایت
$\sigma \frac{\quad}{\tan \quad}$	ترک مرکزی به طول $2a$ در صفحه‌ای به پهنای W
$\frac{\quad}{\tan \quad + 0.1 \sin \quad}$	ترک‌های متقارن لبه‌ای در صفحه‌ای به پهنای W
$\frac{\quad}{(2 +) \tan \quad}$	ترک‌های متقارن داخلی به فاصله S در صفحه‌ای به پهنای W

مقادیر ضریب شدت تنش، با این معیار که مصالح تنش‌های بوجود آمده در نوک ترک را تا رسیدن به یک مقدار بحرانی برای ضریب شدت تنش مرکب یعنی K_C ، تحمل می‌کنند، در تحلیل و طراحی سازه‌ها بکار می‌رود. بنابراین ضریب شدت تنش بحرانی^۱، معیاری برای طاقت مصالح است. تنش انهدام^۲ توسط رابطه زیر، بر حسب مقاومت شکست و هندسه ترک، بیان می‌شود [۲]:

$$= \frac{\quad}{\sqrt{\quad}} \quad (18-2)$$

در این رابطه α ، یک پارامتر هندسی است که مقدار آن برای ترک لبه، یک، و برای سایر انواع ترک‌ها از مرتبه یک است. a پارامتر طول ترک و ضریب شدت تنش بحرانی است.

1. Critical stress intensity factor
2. Toughness
3. Failure stress

۲-۲-۱- تعیین میدانهای تغییر شکل کشسان مجانبی در نقاط تکینه

میدانهای تنش تکینه^۱ بطور کلی در اجسام کشسان در کنج‌های نفوذی^۲ (مثل شیارهای تیز یا ترک‌ها) و در نقاط انتهائی ناپیوستگی‌های فصل مشترک^۳ بین اجسام غیرمتشابه بوجود می‌آیند. چند مثال تیب از نقاط تکینه در شکل ۲-۴ نشان داده شده است [۱۱].

Williams تکنیک آنالیز مجانبی را که در آن میدان تنش‌های موضعی بصورت یک سری از جملات توانی بر حسب r بسط داده شده‌اند، پایه‌گذاری کرد. سیستم مختصات قطبی (r, θ) ، روی نقطه تکینه قرار گرفته است. با نزدیک شدن به نقطه تکینه، میدان، بیشتر و بیشتر به سمت ترم اول از این سری توانی یعنی جمله با کوچکترین توان (یا کوچکترین جزء حقیقی) میل می‌کند. بنابراین اگر بخواهیم گسیختگی^۴ را توسط رفتار در ناحیه کوچکی در همسایگی نقطه تکینه تعیین کنیم، می‌توانیم آنرا بسادگی توسط ضریب ترم حاکم در بسط سری توانی توصیف نماییم. این ضریب در مسأله ترک همان ضریب معروف شدت تنش (SIF) است که اساس مکانیک شکست کشسان خطی (LEFM) را تشکیل می‌دهد [۱۲].

بحث‌های نوپای مشابهی در مورد کاربرد ضریب ترم تکینه حاکم در بسط سری توانی تحت عنوان "ضریب شدت تنش تعمیم یافته"^۵ (GSIF) در ادبیات فنی آمده است؛ بعنوان مثال مرجع [۱۳] و [۱۴] در مورد شیارها^۶ و مرجع [۱۵] و [۱۶] در مورد کنج‌های تیز در خستگی سایشی^۷.

1 - Singular stress field

2- Re-entrant corners

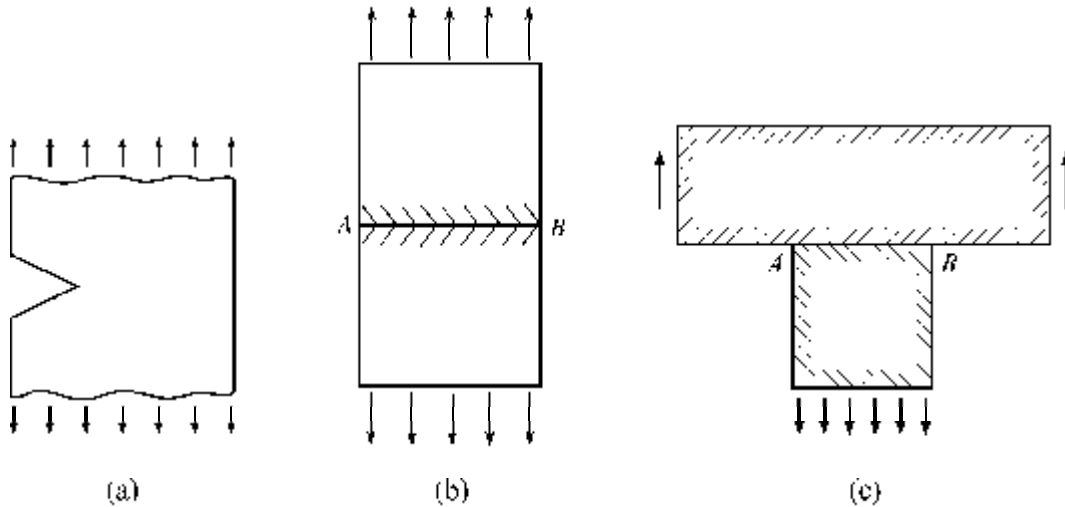
3- Interface

4- Failure

5- Generalized Stress Intensity factor

6- Notch

7- Fretting fatigue



شکل ۲-۴. ساختارهای کشسان شامل نقاط تکیه

دانستن طبیعت میدان یکه در تعیین پاسخ‌های عددی مسائل مربوط به الاستیسیته، که شامل نقاط تکیه باشند، بسیار مهم است. در روش اجزای محدود، بطور رایج یک مش بندی بسیار ریز در این نواحی بمنظور دریافت طبیعت موضعی میدان بکار می‌رود، اما این روش علاوه بر هزینه بسیار زیاد محاسبات، ممکن است با ریزتر کردن مش اصلاً همگرا نشود.

مؤثرترین روش برای حل چنین مسائلی تعریف یک المان ویژه برای مدل کردن ناحیه اطراف نقطه تکیه است [۱۷]. توابع شکل این المان از ترمهای تکیه حاکم در بسط مجانبی مناسب آن نقطه بدست می‌آید.

المان‌های ویژه برای نوک ترک در مواد همگن، اکنون در اغلب کدهای تجاری اجزای محدود وارد شده و مؤلفین متعددی، المان‌های ویژه را در حل مسائل شامل نقاط یکه، بکار برده‌اند.

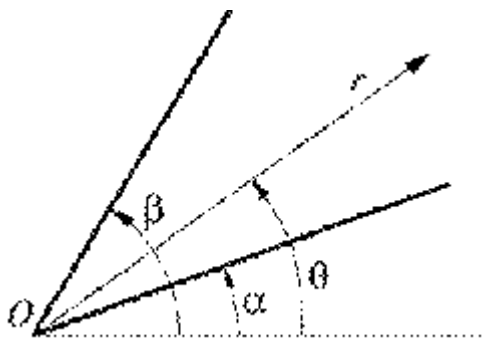
تکنیک کلی آنالیز مجانبی در نقاط تکیه، اکنون یک شاخه مهم الاستیسیته به شمار می‌رود. البته محاسبات جبری فراوان و وقت‌گیر برای پیدا کردن میدان مجانبی در نقاط تکیه، برای محققین

روشهای عددی نوعی نقض غرض بشمار می‌رود. در عین حال، نارسائی‌های موجود در الگوریتم‌های عددی، بخصوص در زمینه مسأله ضربه و تماس از یک طرف و فقدان حل تحلیلی قابل پیاده‌سازی جهت مقایسه و تأیید نتایج عددی از طرف دیگر، وجود میدان‌های مجانبی خاصی را از چشم محققین دور داشته است.

در این فصل، به بررسی این میدان‌ها پرداخته و برای دسته‌ای از آنها جواب‌های مجانبی ارائه خواهد شد. این جواب‌ها برای تعیین توابع غنی‌سازی در روش اجزای محدود توسعه‌یافته مورد استفاده قرار خواهد گرفت.

نقطه یکه‌ای O و دستگاه مختصات قطبی قرار گرفته روی این نقطه را در نظر بگیرید. در یک همسایگی با شعاع بسیار کوچک، به O نگاه می‌کنیم. در این حالت همه جزئیات هندسی بسیار دور از نقطه O به نظر می‌رسند و مرزهای منحنی در میدان مورد مشاهده، بصورت خط راست دیده می‌شوند، چون شعاع انحناي آنها بصورت نامحدودی بزرگنمائی شده است. بنابراین یک مسأله موضعی در الاستیسیته به یک یا چند گوه نیمه‌بینهایت^۱، با شرایط مرزی مناسب در لبه‌های انتهائی $\theta = \alpha_1$ و $\theta = \alpha_2$ و در فصل مشترک^۲ گوه‌های مجاور (در صورت وجود) $\theta = \beta_1$ و $\theta = \beta_2$ و ... کاهش یافته است. این مسائل به "مسائل مجانبی"^۳، معروفند و منظور از شرایط مرزی مناسب، "شرایط مرزی همگن" است.

1- Semi-infinite wedges
2- Interface
3 - Asymptotic problems



شکل ۲-۵. نمایش گوه و دستگاه مختصات قطبی در نقطه یکه نوک گوه

شرایط مرزی در لبه گوه‌های انتهائی (در صورت وجود) عموماً یکی از فرم‌های زیر را داراست:

B(1): شرط مرزی آزاد

$$\sigma_{\theta r}(r, \alpha) = 0; \sigma_{\theta\theta}(r, \alpha) = 0 \quad (19-2)$$

B(2): چسبیده به یک جسم صلب

$$u_r(r, \alpha) = 0; u_\theta(r, \alpha) = 0 \quad (20-2)$$

B(3): تماس بدون اصطکاک با یک جسم صلب

$$\sigma_{\theta r}(r, \alpha) = 0; u_\theta(r, \alpha) = 0 \quad (21-2)$$

B(4): تماس اصطکاکی با یک جسم صلب

$$\sigma_{\theta r}(r, \alpha) \pm \mu \sigma_{\theta\theta}(r, \alpha) = 0; u_\theta(r, \alpha) = 0 \quad (22-2)$$

علامت \pm در معادله B(4) بسته به جهت لغزش^۱ تعیین می‌شود.

در فصل مشترک $\theta = \beta$ ، بین گوه زام و 1+زام شرایط تعادل ایجاب می‌کند که:

$$\sigma_{\theta r}^j(r, \beta) - \sigma_{\theta r}^{j+1}(r, \beta) = 0; \sigma_{\theta\theta}^j(r, \beta) - \sigma_{\theta\theta}^{j+1}(r, \beta) = 0 \quad (23-2)$$

بعلاوه، بسته به شرایط فصل مشترک، شرایط مرزی اضافی چنین‌اند:

1- Slip

I(1): فصل مشترک چسبیده

$$u_r^j(r, \beta) - u_r^{j+1}(r, \beta) = 0; u_\theta^j(r, \beta) - u_\theta^{j+1}(r, \beta) = 0 \quad (24-2)$$

I(2): فصل مشترک با تماس بدون اصطکاک

$$\sigma_{\theta r}^j(r, \beta) = 0; u_\theta^j(r, \beta) - u_\theta^{j+1}(r, \beta) = 0 \quad (25-2)$$

I(3): فصل مشترک با تماس اصطکاکی

$$\sigma_{\theta r}^j(r, \beta) \pm \mu \sigma_{\theta\theta}^j(r, \beta) = 0; u_\theta^j(r, \beta) - u_\theta^{j+1}(r, \beta) = 0 \quad (26-2)$$

در کلی‌ترین حالت، n گوه، $n-1$ فصل مشترک و ۲ لبه خواهیم داشت؛ بنابراین با انتخاب شرایط مرزی مناسب از معادلات (۲-۳۱) تا (۲-۳۸)، $4n$ شرط همگن داریم که باید توسط میدان تنش در گوه‌ها ارضا شوند.

۲-۲-۲- بسط مجانبی^۱

مسئله مجانبی، خودمتشابه است [۱۳]، به این معنی که ذاتاً مقیاس طولی برای آنها مطرح نیست. بعلاوه شرایط مرزی حاکم در فصول مشترک شرایط مرزی همگن است. بنابراین برای این مسائل، به دنبال جواب‌هایی برای معادلات حاکم بر الاستیسیته (تعادل و سازگاری و رفتاری) هستیم که میدان‌های تغییرشکل در آنها در مختصات قطبی دارای فرم تفکیک شده^۳ باشد:

$$u = r^2 f(\theta) \quad (27-2)$$

1- Asymptotic expansion

2- Self-similar

3- Separated variable

تابع تنش ایری متناسب با این فرم که شرط سازگاری دوهارمونیک^۱، $\nabla^4 \varphi = 0$ را در گوه جام

ارضا کند، بفرم زیر بدست می‌آید:

$$\Phi = G(r)F(\theta, \lambda) = r^{\lambda+1} \begin{bmatrix} A_j \cos(\lambda+1)\theta + B_j \cos(\lambda-1)\theta + \\ C_j \sin(\lambda+1)\theta + D_j \sin(\lambda-1)\theta \end{bmatrix} \quad (28-2)$$

بنابراین تنش‌ها و تغییرشکل‌های نظیر این تابع تنش چنین بدست می‌آیند:

$$\sigma_{rr} = r^{\lambda-1} \begin{bmatrix} -A_j \lambda(\lambda+1)\cos(\lambda+1)\theta - B_j \lambda(\lambda-3)\cos(\lambda-1)\theta \\ -C_j \lambda(\lambda+1)\sin(\lambda+1)\theta - D_j \lambda(\lambda-3)\sin(\lambda-1)\theta \end{bmatrix} \quad (29-2)$$

$$\sigma_{r\theta} = r^{\lambda-1} \begin{bmatrix} A_j \lambda(\lambda+1)\sin(\lambda+1)\theta + B_j \lambda(\lambda-1)\sin(\lambda-1)\theta \\ -C_j \lambda(\lambda+1)\cos(\lambda+1)\theta - D_j \lambda(\lambda-1)\cos(\lambda-1)\theta \end{bmatrix} \quad (30-2)$$

$$\sigma_{\theta\theta} = r^{\lambda-1} \begin{bmatrix} A_j \lambda(\lambda+1)\cos(\lambda+1)\theta + B_j \lambda(\lambda+1)\cos(\lambda-1)\theta \\ + C_j \lambda(\lambda+1)\sin(\lambda+1)\theta + D_j \lambda(\lambda+1)\sin(\lambda-1)\theta \end{bmatrix} \quad (31-2)$$

$$2\mu_j u_r = r^\lambda \begin{bmatrix} -A_j(\lambda+1)\cos(\lambda+1)\theta + B_j(\kappa_j - \lambda)\cos(\lambda-1)\theta \\ -C_j(\lambda+1)\sin(\lambda+1)\theta + D_j(\kappa_j - \lambda)\sin(\lambda-1)\theta \end{bmatrix} \quad (32-2)$$

$$2\mu_j u_\theta = r^\lambda \begin{bmatrix} A_j(\lambda+1)\sin(\lambda+1)\theta + B_j(\kappa_j + \lambda)\sin(\lambda-1)\theta \\ -C_j(\lambda+1)\cos(\lambda+1)\theta - D_j(\kappa_j + \lambda)\cos(\lambda-1)\theta \end{bmatrix} \quad (33-2)$$

، ، و ثابت‌های دلخواه و مدول برشی و ثابت کولوسف^۲ است، که از رابطه (۲)-

(۱۶) بدست می‌آید. با جایگذاری این جوابها در شرایط مرزی مناسب در لبه‌ها و فصول مشترک گوه‌ها

به $4n$ معادله جبری خطی همگن برای $4n$ مجهول $\{A_j, B_j, C_j, D_j\} = 1$ می‌رسیم.

جواب‌های غیربديهی دستگاه، از صفر شدن دترمینان ماتریس ضرایب بدست می‌آیند. معادله

مشخصه دستگاه، در واقع دترمینان ماتریس ضرایب دستگاه است که تابعی از λ ، نسبت مشخصات

کشسان گوه‌ها، ضریب اصطکاک و جهت لغزش بین گوه‌ها (در صورت لغزشی بودن تماس بین

گوه‌ها) است.

1- Bi-harmonic

2- Kolosov's constant

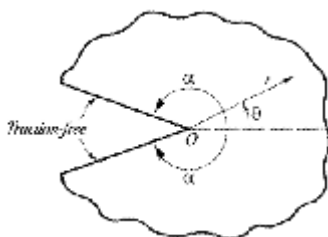
معادله مشخصه، بیشمار مقادیر ویژه یعنی λ دارد که بسته به شرایط نقطه تکینه مورد نظر، ممکن است حقیقی یا مختلط باشد. کلی ترین پاسخ دستگاه به مسأله مجانبی را می توان به صورت زیر نوشت:

$$u = \sum_{i=0}^{\infty} k_i r^{\lambda_i} f_i(\theta) \quad (2-34)$$

اگر انرژی کرنش در جسم محدود باشد، تمام مقادیر ویژه باید شرط $\text{Re}(\lambda_i) > 0$ را ارضا کنند [۱۸]. اگر مقادیر ویژه را به ترتیب افزایش جزء حقیقی مرتب کنیم، میدان تنش حاکم در مجاورت نقطه تکینه، توسط اولین جمله یعنی $k_0 r^{\lambda_0} f_0(\theta)$ بدست می آید. این جمله یک میدان تکینه را توصیف می کند، اگر و تنها اگر $0 < \text{Re}(\lambda_0) < 1$ باشد. این روابط نقش مهمی در مکانیک شکست و مکانیک تماس ایفا می کنند، از این جهت که از طبیعت تکینه بودن تنش در نزدیک نقاط خاصی خبر می دهند. مزیت این نحوه تحلیل نسبت به روش قدرتمند تئوری متغیر مختلط در الاستیسیته، علاوه بر سادگی، اثبات این واقعیت است که "فرم میدان تنش در نقاط تکینه، مستقل از شرایط مرزی در دوردست است".

۲-۲-۱- میدان های مجانبی نزدیک نوک ترک ساکن در محیط همسانگرد

محیط ترک خورده را می توان گوه ای تنها با زاویه رأس 360° درجه فرض کرد. با این فرض، با توجه به شکل ۲-۶ زوایای لبه های این گوه $\alpha = \pm\pi$ بوده و شرایط مرزی بدون تنش در لبه ها حاکم است.



شکل ۲-۶. گوه باز یا شیار نیمه بینهایت

این شرایط مرزی چنین بیان می‌شوند:

$$(,) = \quad (۳۵-۲)$$

$$(, -) = \quad (۳۶-۲)$$

$$(,) = \quad (۳۷-۲)$$

$$(, -) = \quad (۳۸-۲)$$

با قرار دادن روابط تنش میدان مجانبی در روابط فوق معادله مشخصه دستگاه چنین است:

$$f(\lambda) = \lambda^4 (\lambda + 1)^2 \times \det \begin{bmatrix} (\lambda + 1) \sin \lambda \pi & (\lambda - 1) \sin \lambda \pi & -(\lambda + 1) \cos \lambda \pi & -(\lambda - 1) \cos \lambda \pi \\ -(\lambda + 1) \sin \lambda \pi & -(\lambda - 1) \sin \lambda \pi & -(\lambda + 1) \cos \lambda \pi & -(\lambda - 1) \cos \lambda \pi \\ \cos \lambda \pi & \cos \lambda \pi & \sin \lambda \pi & \sin \lambda \pi \\ \cos \lambda \pi & \cos \lambda \pi & -\sin \lambda \pi & -\sin \lambda \pi \end{bmatrix} \quad (۳۹-۲)$$

با ساده‌تر کردن معادله فوق خواهیم داشت:

$$() = (+) \quad (۴۰-۲)$$

با توجه به اینکه $0 < \lambda < 1$ است، داریم:

$$2\lambda\pi = k\pi, k \in \mathbb{Z} \Rightarrow \lambda = \frac{1}{2} \quad (۴۱-۲)$$

بنابراین برای مسأله ترک، تنش‌های محلی در اطراف نوک ترک، از مرتبه $O\left(\frac{1}{\sqrt{r}}\right)$ و

تغییر مکان‌ها از مرتبه $O(\sqrt{r})$ است. با استفاده از این نتایج، میدان تنش را می‌توان چنین بیان کرد:

$$\sigma_r = -\frac{3}{2} \frac{A}{\sqrt{r}} \cos \frac{\theta}{2} (3 - \cos \theta) - \frac{B}{2\sqrt{r}} \sin \frac{\theta}{2} (1 - 3 \cos \theta)$$

$$\sigma_\theta = -\frac{3}{2} \frac{A}{\sqrt{r}} \cos \frac{\theta}{2} (1 + \cos \theta) - \frac{3}{2} \frac{B}{\sqrt{r}} \sin \frac{\theta}{2} (1 + \cos \theta)$$

$$\tau_{r\theta} = \frac{3}{2} \frac{A}{\sqrt{r}} \sin \frac{\theta}{2} (1 + \cos \theta) + \frac{B}{2\sqrt{r}} \cos \frac{\theta}{2} (1 - 3 \cos \theta)$$

ضرایب باقیمانده A و B از شرایط مرزی دوردست بدست می‌آیند. میدان تغییر مکان مجانبی در

دستگاه مختصات قطبی چنین است:

$$\{F_l(r, \theta)\}_{l=1}^4 = \{\sqrt{r} \sin(\theta/2), \sqrt{r} \cos(\theta/2), \sqrt{r} \sin(3\theta/2), \sqrt{r} \cos(3\theta/2)\} \quad (2-2-2)$$

فضای برداری تولید شده توسط توابع فوق، با فضای تولید شده توسط توابعی که از حل تحلیلی

مسأله بدست آمده‌اند، تطابق دارد.

۲-۲-۲-۲- میدان‌های مجانبی نزدیک نوک ترک در فصل مشترک دو محیط همسانگرد

غیرهمجنس

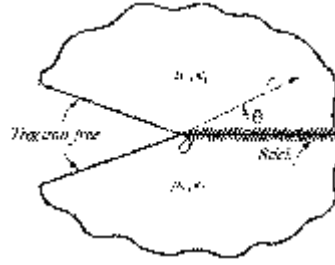
در این حالت محیط ترک خورده را می‌توان به دو گونه 180° درجه، با مشخصات الاستیک متفاوت و

چسبیده به هم در $\theta=0$ ، تجزیه کرد. در لبه‌ها یعنی در $\alpha = \pi$ ، شرایط مرزی بدون تنش و در

فصل مشترک گوه‌ها شرایط چسبیده^۲، برقرار است (شکل ۲-۷)

1. Far-field boundary condition

2- Bonded / Stick



شکل ۲-۷. ترک در فصل مشترک محیط‌های غیرهمجنس

این شرایط مرزی چنین بیان می‌شوند:

شرایط مرزی در لبه‌ها^۱:

$$\sigma_{yy}^{(1)}(x, 0) = 0 \quad (43-2)$$

$$\sigma_{xy}^{(1)}(x, 0) = 0 \quad (44-2)$$

$$\sigma_{yy}^{(2)}(x, 0) = 0 \quad (45-2)$$

$$\sigma_{xy}^{(2)}(x, 0) = 0 \quad (46-2)$$

شرایط مرزی در فصل مشترک^۲:

$$\sigma_{yy}^{(1)}(x, 0) - \sigma_{yy}^{(2)}(x, 0) = 0 \quad (47-2)$$

$$\sigma_{xy}^{(1)}(x, 0) - \sigma_{xy}^{(2)}(x, 0) = 0 \quad (48-2)$$

$$\sigma_{yy}^{(1)}(x, 0) - \sigma_{yy}^{(2)}(x, 0) = 0 \quad (49-2)$$

$$\sigma_{xy}^{(1)}(x, 0) - \sigma_{xy}^{(2)}(x, 0) = 0 \quad (50-2)$$

با قرار دادن روابط تنش و تغییر مکان میدان مجانبی در روابط بالا، صورت ساده شده معادله

مشخصه دستگاه، چنین است:

1- Edge condition
2- Interface condition

$$f(\lambda) = 4\lambda^4(\lambda+1)\sin^4 \pi\lambda \left(\frac{\kappa_2 + 1}{\mu_2} - \frac{\kappa_1 + 1}{\mu_1} \right) (\cot^2 \pi\lambda + \beta^2) \quad (51-2)$$

$$\lambda = \lambda_r + i\lambda_j, (i = \sqrt{-1}), \beta = \frac{p_1 + p_2}{p_1 - p_2},$$

$$p_1 = \kappa_1 - s\kappa_2, p_2 = s - 1, s = \frac{\mu_1}{\mu_2} \neq 1, \frac{\kappa_1}{\kappa_2} \quad (52-2)$$

جواب‌های معادله مشخصه از حل معادله $\cot^2 \pi\lambda + \beta^2 = 0$ بدست می‌آید. این معادله ریشه مختلط دارد و ریشه‌ای که کوچکترین جزء حقیقی بین \bullet و \bullet را داراست، مود حاکم در میدان یک‌ه‌ای را تشکیل می‌دهد.

با حل معادله (2-63)، مقدار ویژه مسأله بدست خواهد آمد:

$$\lambda_r = \frac{1}{2}, \lambda_j = \frac{1}{2\pi} \log \left(\frac{\beta+1}{\beta-1} \right) \quad (53-2)$$

توابع $G(r)$ و $F(\theta, \lambda)$ در فرم جداشده تابع پتانسیل تنش به این صورت بدست می‌آید:

$$G(r) = \text{Re}(r^{\lambda_r+1}) = r^{\lambda_r+1} \cos(\lambda_j \log r) \quad (54-2)$$

$$F(\theta) = \text{Re}(A \cos(\lambda+1)\theta + B \cos(\lambda-1)\theta + C \sin(\lambda+1)\theta + D \sin(\lambda-1)\theta) \\ = \cosh(\lambda_j \theta) [A \cos(\lambda_r+1)\theta + B \cos(\lambda_r-1)\theta + C \sin(\lambda_r+1)\theta + D \sin(\lambda_r-1)\theta] \quad (55-2)$$

سپس میدان تنش‌های مجانبی، از روابط آشنای زیر محاسبه می‌شوند:

$$\sigma_{rr} = \frac{1}{r^2} \frac{\partial^2 \varphi}{\partial \theta^2} + \frac{1}{r} \frac{\partial \varphi}{\partial r} \quad (56-2)$$

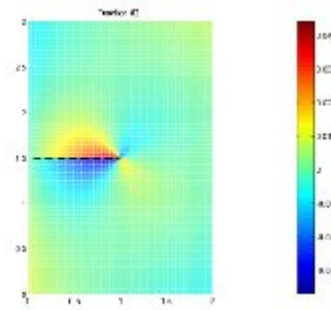
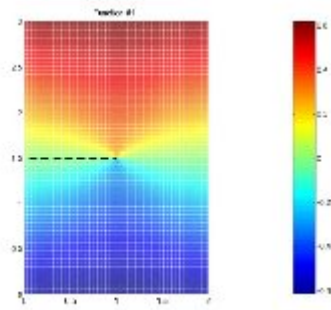
$$\sigma_{\theta\theta} = \frac{\partial^2 \varphi}{\partial r^2} \quad (57-2)$$

$$\sigma_{r\theta} = \frac{1}{r^2} \frac{\partial \varphi}{\partial \theta} - \frac{1}{r} \frac{\partial^2 \varphi}{\partial r \partial \theta} \quad (58-2)$$

و سرانجام میدان تغییر مکان مجانبی، در دستگاه مختصات قطبی برابر است با:

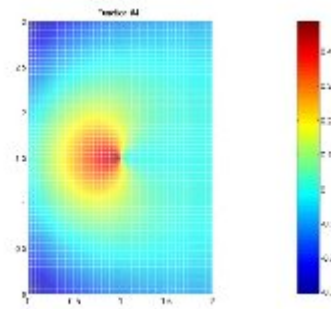
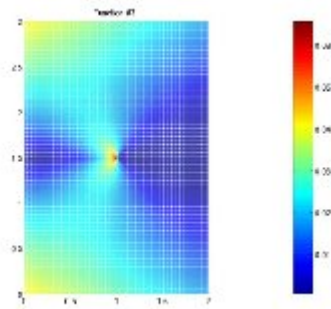
$$\{F_i(r, \theta)\}_{i=1}^{16} = \sqrt{r} \times \{ \sin(\theta/2), \cos(\theta/2), \sin(3\theta/2), \cos(3\theta/2) \} \times \{ \cosh(\lambda_j \theta), \sinh(\lambda_j \theta) \} \times \{ \cos(\lambda_j \log r), \sin(\lambda_j \log r) \} \quad (59-2)$$

نمای دو بعدی برخی از این توابع در اطراف نوک ترک در شکل ۲-۸ نشان داده شده است.



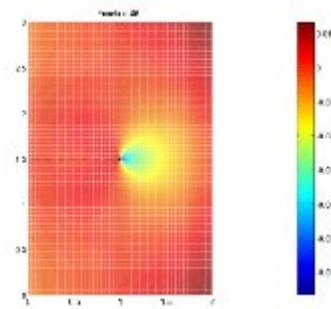
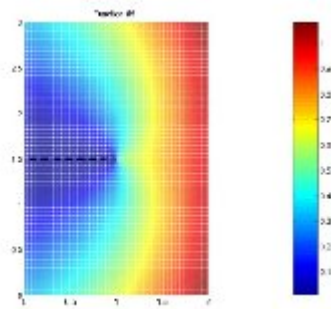
$$F_1(r, \theta) = \sqrt{r} \sin(\theta/2) \cosh(\lambda_j \theta) \cos(\lambda_j \log r)$$

$$F_2(r, \theta) = \sqrt{r} \sin(\theta/2) \cosh(\lambda_j \theta) \sin(\lambda_j \log r)$$



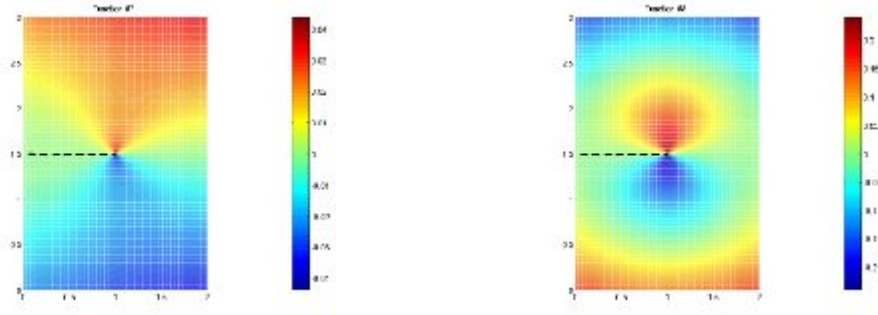
$$F_3(r, \theta) = \sqrt{r} \sin(\theta/2) \sinh(\lambda_j \theta) \cos(\lambda_j \log r)$$

$$F_4(r, \theta) = \sqrt{r} \sin(\theta/2) \sinh(\lambda_j \theta) \sin(\lambda_j \log r)$$



$$F_5(r, \theta) = \sqrt{r} \cos(\theta/2) \cosh(\lambda_j \theta) \cos(\lambda_j \log r)$$

$$F_6(r, \theta) = \sqrt{r} \cos(\theta/2) \cosh(\lambda_j \theta) \sin(\lambda_j \log r)$$



$$F_7(r, \theta) = \sqrt{r} \cos(\theta/2) \sinh(\lambda_j \theta) \cos(\lambda_j \log r)$$

$$F_8(r, \theta) = \sqrt{r} \cos(\theta/2) \sinh(\lambda_j \theta) \sin(\lambda_j \log r)$$

شکل ۲-۸ نمای دو بعدی توابع مجانبی نزدیک نوک ترک

از شکل ۲-۸، تقارن و عدم تقارن توابع پایه مورد نظر، نسبت به محور مماس بر امتداد ترک در نوک ترک نشان داده شده است. توابع پایه متقارن، به مود اول تغییرشکل و توابع پایه پادمتقارن، به مود دوم تغییرشکل در نوک ترک مربوط می‌شوند.

۲-۲-۳- میدان‌های مجانبی نزدیک نوک ترک در حال گسترش

فرض کنید ترکی مطابق شکل ۲-۹، در صفحه وجود دارد و در حال گسترش می‌باشد. دستگاه مختصات کلی را طوری در نظر می‌گیریم که ترک در صفحه باشد. برای سادگی فرض می‌کنیم ترک فقط در راستای در حال گسترش باشد و موقعیت نوک ترک در هر لحظه از رابطه $() = ()$ و $= 0$ بدست آید. لذا سرعت حرکت نوک ترک در محیط برابر $() = ()$ می‌باشد که می‌تواند بین صفر تا $()$ (سرعت موج طولی) متغیر باشد. با تعریف مختصات محلی جدید که متصل به نوک ترک است، خواهیم داشت [۱۸]:

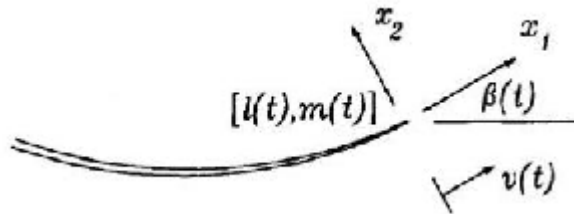
$$= - ()$$

$$=$$

1 -Dilatational wave speed

که مختصات قطبی در دستگاه کارتزین جدید به صورت $\beta(t)$ و $\frac{2}{1} - 1 =$ تعریف می شوند.

حال با توجه به شرایط مسئله می توان برای بدست آوردن میدان نزدیک نوک ترک در موده های I و II به صورت جداگانه مبادرت ورزید.



شکل ۲-۹. هندسه ترک در حال گسترش

میدان های مجانبی نزدیک نوک ترک در حال گسترش تحت بارگذاری مود :

با فرض توابع $u_3 =$ بعنوان توابع پتانسیل میدان تغییر مکان، که تابع x, X و نیز زمان هستند معادله دیفرانسیل حاکم بر به صورت زیر خواهد بود:

$$1 - \dots + \dots + 2 \dots - \dots = 0 \quad (2-60)$$

معادله حاکم بر تابع پتانسیل موج برشی از جایگزین کردن با بدست می آید.

با اصلاح دستگاه مختصات به صورت $=$ ، که در آن پارامتر بسیار کوچک می باشد،

می توان برای Φ بسطی از توانهای به صورت زیر در نظر بگیریم:

$$\begin{aligned} (1, 2) &= 1, 2 \\ &= (1, 1) + (1, 2) + \dots \end{aligned} \quad (61-2)$$

که در آن تابع تابع غالب^۱ بسط، تابع تصحیح مرتبه اول^۲ و دیگر توابع نیز توابع تصحیح از مراتب بالاتر هستند. در این بسط توانهای ϵ به صورت صعودی $\dots < < < 1$ در نظر گرفته شده اند. لذا برای اینکه میدان تغییر مکان محدود و میدان تنش نامحدود باشند باید $1 < 2$ باشد.

با قرار دادن $2-61$ در معادله دیفرانسیل $2-60$ و برابر صفر قرار دادن ضریب هر توان ϵ ، ضریب کوچکترین توان فقط در صورتی صفر می شود که معادله زیر را ارضا کند:

$$\text{---} + \text{---} = 0 \quad (62-2)$$

که در آن $\text{---} = 1 - \text{---}$ می باشد و حل کلی آنرا می توان به صورت زیر در نظر گرفت:

$$= \{F(\text{---})\} \quad (63-2)$$

که $\text{---} = \text{---} + \text{---}$ بوده و $F(\text{---})$ تابعی است در صفحه مختلط که در همه جای صفحه بغیر از قسمت غیر مثبت محورهای حقیقی صفحه مزبور تحلیلی می باشد و برای مود اول بارگذاری $F(\text{---}) = F(\text{---})$ می باشد.

در مورد ترم غالب تابع نیز تابعی (---) ای وجود دارد که :

$$= \{(\text{---})\} \quad (64-2)$$

1 Main contribution to the asymptotic solution

2 First order correction

مرتبه در و باید یکسان باشند چرا که هیچ کدام از این دو تابع نمی توانند به تنهایی شرایط مرزی را ارضا کنند.

با اعمال شرایط مرزی به بسط توابع و و برابر صفر قرار دادن ضرایب مستقل توانهای ϵ خواهیم داشت:

$$\begin{aligned} (1 + \epsilon)[F''(\epsilon) + F''(\epsilon)] + (2\epsilon)[\psi'(\epsilon) + \psi'(\epsilon)] &= 0 \\ (2\epsilon)[F''(\epsilon) + F''(\epsilon)] + (1 + \epsilon)[\psi'(\epsilon) + \psi'(\epsilon)] &= 0 \end{aligned} \quad (65-2)$$

حل این دستگاه معادلات منجر به میداهای تنش سینگولار ولی با دانسیته انرژی مکانیکی محدود

خواهد شد، که عبارتند از:

$$F(\epsilon) = -\frac{\epsilon^2}{2}, \quad \psi(\epsilon) = \frac{\epsilon^2}{2} \quad (66-2)$$

که D از رابطه زیر بدست می آید:

$$= 4 - (1 + \epsilon) \quad (67-2)$$

با توجه به رابطه ۶۶-۲، می توان به این نتیجه رسید که توان برابر - خواهد بود. بدین ترتیب

میدان تنش و تغییر مکان اطراف نوک ترک در حال گسترش تحت شرایط بارگذاری مود I قابل

محاسبه خواهد بود. که در زیر پس از کمی عملیات ریاضی و ساده سازی ها آورده شده اند:

$$(\sigma, \psi) = \frac{(\sigma)}{\sqrt{\epsilon}} (\sigma, \psi) + \frac{(\psi)}{\sqrt{\epsilon}} (\sigma, \psi) \quad (69-2)$$

$$= \frac{(\sigma)}{\sqrt{\epsilon}} \Sigma (\sigma, \psi) \quad (68-2)$$

و

$$= \frac{1 - \cos \theta}{1 + \cos \theta}, \quad \tan \frac{\theta}{2} = \frac{\sin \theta}{1 + \cos \theta}$$

$$= \frac{1 - \cos \theta}{1 + \cos \theta}, \quad \tan \frac{\theta}{2} = \frac{\sin \theta}{1 + \cos \theta} \quad (70-2)$$

$$= \frac{1 - \cos \theta}{1 + \cos \theta}, \quad \tan \frac{\theta}{2} = \frac{\sin \theta}{1 + \cos \theta} \quad (71-2)$$

$$\Sigma = - (1 + \cos \theta)(1 + 2 \cos \theta - \cos^2 \theta) - 4 \cos^2 \theta$$

$$\Sigma = \frac{1 - \cos \theta}{1 + \cos \theta} - \frac{1 - \cos \theta}{1 + \cos \theta}$$

$$\Sigma = - (1 + \cos \theta)(1 + 2 \cos \theta - \cos^2 \theta) - 4 \cos^2 \theta \quad (72-2)$$

$$(\theta, \phi) = - (1 + \cos \theta) - 2 \cos \theta - \cos^2 \theta$$

$$(\theta, \phi) = - (1 + \cos \theta) - 2 \cos \theta - \cos^2 \theta \quad (73-2)$$

عملیات ریاضی مربوط به بدست آوردن میدانهای تنش و تغییر مکان اطراف نوک ترک در حال

گسترش تحت بارگذاری مود II مشابه پروسه گفته شده برای مود I می باشد، که در اینجا فقط به

ذکر نتایج مربوطه می پردازیم:

$$= \frac{1}{\sqrt{\pi a}} \Sigma (\theta, \phi) \quad (74-2)$$

$$\Sigma = - (1 + 2 \cos \theta - \cos^2 \theta) - (1 + \cos \theta) - \cos^2 \theta$$

$$\Sigma = - 4 \cos^2 \theta - (1 + \cos \theta) - \cos^2 \theta$$

$$\Sigma = \frac{1 - \cos \theta}{1 + \cos \theta} - \frac{1 - \cos \theta}{1 + \cos \theta} \quad (75-2)$$

$$\begin{aligned} (,) &= - 2 \quad - - (1 +) \quad - \\ (,) &= - 2 \quad - - (1 +) \quad - \end{aligned} \quad (۷۶-۲)$$

از این میدانها می توان برای استخراج توابع غنی سازی نوک ترک برای استفاده در مسائل دینامیکی بهره جست.

۲-۲-۴- میدانهای نزدیک نوک ترک در برخورد میدان موج با ترک:

تحت تاثیر بارگذاری دینامیکی، اثر نیروهای خارجی توسط امواج تنش در کل سازه انتقال می یابد. در مورد ترک، انعکاس و انکسار موج برخورد کرده با ترک، باعث بالا رفتن ضریب شدت تنش می شود که به رشد ترک و نهایتاً گسیختگی سازه منجر می شود.

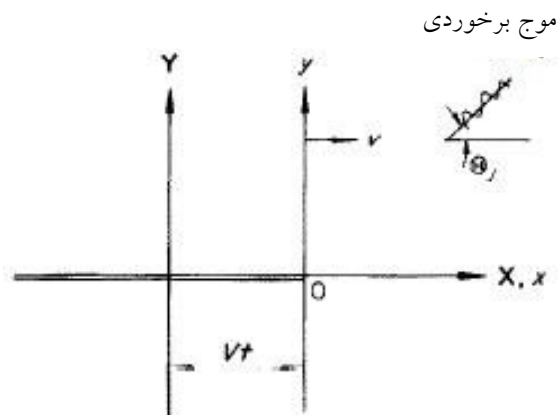
با اینکه در گذشته انتشار ترک تحت بارهای دینامیکی مطالعه شده بود، و اطلاعات و داده های خوبی توسط جهانشاهی^۱ [۱۹]، که مسئله انکسار امواج برشی عمود بر صفحه را توسط یک ترک نیمه محدود در حال گسترش با سرعت ثابت را مورد بررسی قرار داده بود، و سیه^۲ و لوبر^۳ [۲۰]، که همان مسئله را ولی برای ترک با طول محدود مورد بررسی قرار داده بود، در دسترس بود، همگی این اطلاعات و مسائل حل شده مربوط به مود III بارگذاری می باشند. این در حالی است که، از آنجائی که بیشتر اجزای سازه ای تحت تاثیر امواج درون صفحه ای هستند، مسئله صفحه ای مربوطه دارای اهمیت بیشتری می باشد. این مسئله به لحاظ اینکه هر دو نوع موج صفحه ای (P-) و (SV-) بعد از برخورد هر نوع موج صفحه ای با ترک به صورت همزمان در محیط بوجود می آیند از لحاظ تحلیلی

1 -Jahanshahi

2 -Sih

3 -Loeber

مسئله مشکل تری می باشد چرا که به لحاظ ریاضی نیز به جای یک معادله ای که باید در مود خارج از صفحه حل شود، باید دو معادله در این حالت حل شود.



شکل ۲-۱۰. هندسه مسئله

خوشبختانه این مسئله نیز برای یک ترک نیمه محدود توسط سیه و چن^[۲۱] حل شده که در اینجا به اختصار به توضیح و شرح آن می پردازیم.

فرمولبندی مسئله:

معادله میدان و موج ورودی:

فرض کنید یک ترک نیمه محدود در صفحه ، در حال گسترش تحت سرعت ثابت در جهت محور ها باشد که امواج الاستیک هارمونیک متغیر با زمان نیز در حال انتشار در این صفحه می باشند. در این حالت هر دو نوع موج $(P-)$ و $(SV-)$ در محیط وجود خواهند داشت که می توان توسط توابع اسکالر و آنها را بیان کرد، در این صورت میدان تنش و تغییر مکان در دستگاه مختصات کارتزین به صورت زیر خواهند بود:

1 -Chen

$$(\quad , \quad , \quad) = \quad - \quad + \quad - \quad , \quad - \quad - \quad - \quad , \quad 0 \quad ,$$

$$= \quad + 2 \quad - \quad + \quad - \quad$$

$$= \quad + 2 \quad - \quad - \quad - \quad$$

$$= \quad 2 \quad - \quad - \quad - \quad + \quad - \quad$$

(۷۷-۲)

که و ضرائب لامه می باشند. با قرار دادن توابع و ، در معادله حرکت محیط کشسان

همسانگرد خواهیم داشت:

$$- \quad - \quad - \quad = 0 \quad \text{و} \quad = 1,2$$

(۷۸-۲)

که در آن و به ترتیب سرعت امواج طولی و برشی در محیط هستند که از روابط زیر

بدست می آیند:

$$= \quad - \quad , \quad = - \quad$$

(۷۹-۲)

با تعریف دستگاه مختصات جدید به صورت :

$$= \quad , \quad = - \quad , \quad = \quad , \quad = 1,2$$

(۸۰-۲)

$$= \quad \overline{(1 - \quad)} \quad , \quad = \quad /$$

(۸۱-۲)

که در آن M و M ، اعداد ماخ ۱ می باشند، معادله ۲-۷۷ در دستگاه جدید به شکل زیر خواهد

بود:

$$\text{---} + \text{---} + \text{---} - \text{---} = 0, \quad = 1,2 \quad (82-2)$$

موج ورودی از بی نهایت به داخل سیستم را می توان به صورت زیر در نظر گرفت:

$$^{(1)} = \exp\{- [\cos + \sin] - \}, \quad = 1,2 \quad (83-2)$$

که در آن:

$$= \text{فرکانس زاویه ای}$$

$$= - = \text{عدد موج}$$

$$= \text{زاویه برخورد}$$

$$= \text{دامنه موج}$$

۲-۸۰ در دستگاه مختصات متحرک تبدیل به معادله زیر خواهد شد:

$$^{(1)} = ^{(1)}(,) \exp\{ - \}$$

$$^{(1)} = (,) \exp\{- [\cos + \sin] \}$$

$$\cos = \text{---}, \quad \sin = -\sin \quad (84-2)$$

$$= 1 + \cos, \quad = - , \quad = \quad (85-2)$$

حال حلی به صورت ۲-۸۵ برای این معادله دیفرانسیل فرض می کنیم:

$$= (,) \exp - \quad (86-2)$$

$$= - , , = 1,2$$

که $j = 1,2$ مربوط به نوع موج نوع برخوردی و $= 1,2$ مربوط به نوع موج بوجود آمده از انعکاس و انکسار یافته هستند.

با جایگذاری ۸۵-۲ در ۸۱-۲ به معادله ۸۷-۲ می رسیم که به معادله هلم هولتز مشهور می باشد:

$$\text{---} + \text{---} + = 0 , , = 1,2 \quad (87-2)$$

توابع پتانسیل میدان موج انکسار یافته:

میدان موج کلی تشکیل یافته پس از برخورد موج با ترک را می توان حاصل توابع پتانسیل موج

ورودی و موج انکسار^۱ یافته دانست. از آنجائی که توابع پتانسیل میدان موج ورودی براحتی از حل

معادله موج بدست می آید، بیشتر تلاش مان را بر روی بدست آوردن توابع پتانسیل موج انکسار

یافته متمرکز می کنیم. همانند هر آنچه برای بدست آوردن ۸۷-۲ انجام شد می توان ثابت کرد معادله

دیفرانسیل حاکم بر تابع پتانسیل میدان انکسار یافته^۲ در سیستم مختصات متحرک همان معادله

هلم هولتز می باشد:

$$\text{---}^{()} + \text{---}^{()} + \text{---}^{()} = 0 , , = 1,2 \quad (88-2)$$

به طوری که:

$$\text{---}^{()} - 0 \quad \text{وقتی که} \quad (+) / - 0$$

1 scattered wave

2 Scattered wave field

با اعمال تبدیل فوریه بر ۲-۸۸ به معادله ۲-۸۹ می رسیم که در () تابعی است نامعلوم که باید بدست آید.

$$f(x) = \int_0^{\infty} f(\xi) \exp(-\gamma_j y_j) d\xi, \quad j = 1, 2, \quad \gamma_j \geq 0 \quad (۸۹-۲)$$

$$f(x) = \int_0^{\infty} f(\xi) \exp(-\gamma_j y_j) d\xi \quad (۹۰-۲)$$

برای سادگی کار میدانهای تغییر مکان و تنش را به صورت زیر بیان می کنیم تا با در نظر گرفتن فقط ترم های ... , , از دوباره نویسی ترم موهومی خودداری کنیم:

$$\begin{bmatrix} u_x \\ v_x \end{bmatrix} = \begin{bmatrix} A_{j1} \\ A_{j2} \end{bmatrix} \exp(-\gamma_j y_j) \quad (۹۱-۲)$$

$$= \frac{1}{2} \left(\frac{1}{\gamma_j} \right), \quad j = 1, 2$$

$$= \frac{1}{2} \left(\frac{1}{\gamma_j} \right), \quad j = 1, 2 \quad (۹۲-۲)$$

با تعریف β به صورت ۲-۹۱، میدان تنش و تغییر مکان به صورت زیر تعریف خواهند شد:

$$u_x^{(s)} = \frac{1}{2\pi} \times \int_{-\infty}^{\infty} \left\{ -i(\xi - M_j \lambda_{jj}) A_{j1}(\xi) \exp(-\gamma_{j1} y_{j1}) - S_2 \gamma_{j2} A_{j2}(\xi) \exp(-\gamma_{j2} y_{j2}) \right\} \times \exp(-i\xi x) d\xi \quad (۹۳-۲)$$

$$v_y^{(s)} = \frac{1}{2\pi} \times \int_{-\infty}^{\infty} \left\{ -S_1 \gamma_{j_1} A_{j_1}(\xi) \exp(-\gamma_{j_1} y_1) + i(\xi - M_j \lambda_{jj}) A_{j_2}(\xi) \exp(-\gamma_{j_2} y_2) \right\} \times \exp(-i\xi x) d\xi$$

$$\frac{\sigma_x^{(s)}}{2\mu} = \frac{1}{2\pi} \times \int_{-\infty}^{\infty} \left\{ \left[-\frac{1}{2C^2} (\xi - M_j \lambda_{jj})^2 + \left(\frac{1}{2C^2} - 1 \right) S_1^2 \gamma_{j_1}^2 \right] \times \left[A_{j_1}(\xi) \exp(-\gamma_{j_1} y_1) + iS_2 \gamma_{j_2} (\xi - M_j \lambda_{jj}) A_{j_2}(\xi) \exp(-\gamma_{j_2} y_2) \right] \right\} \times \exp(-i\xi x) d\xi$$

$$\frac{\sigma_y^{(s)}}{2\mu} = \frac{1}{2\pi} \int_{-\infty}^{\infty} \left\{ \left[-\left(\frac{1}{2C^2} - 1 \right) (\xi - M_j \lambda_{jj})^2 + \frac{S_1^2}{2C^2} \gamma_{j_1}^2 \right] A_{j_1}(\xi) \exp(-\gamma_{j_1} y_1) - iS_2 \gamma_{j_2} (\xi - M_j \lambda_{jj}) A_{j_2}(\xi) \exp(-\gamma_{j_2} y_2) \right\} \times$$

$$\exp(-i\xi x) d\xi$$

$$\frac{\sigma_{xy}^{(s)}}{2\mu} = \frac{1}{2\pi} \int_{-\infty}^{\infty} \left\{ iS_1 \gamma_{j_1} (\xi - M_j \lambda_{jj}) A_{j_1}(\xi) \exp(-\gamma_{j_1} y_1) + \frac{1}{2} \left[S_2^2 \gamma_{j_2}^2 + (\xi - M_j \lambda_{jj})^2 \right] A_{j_2}(\xi) \exp(-\gamma_{j_2} y_2) \right\}$$

$$\times \exp(-i\xi x) d\xi$$

شرایط مرزی:

هنگامیکه روی لبه های ترک هیچ گونه بار گذاری وجود نداشته باشد، باید جمع تنش های برشی

و نرمال در طول ترک برابر صفر باشد:

$$\begin{aligned} {}^{(1)}(\sigma, 0) + {}^{(2)}(\sigma, 0) &= 0, \quad \in \\ {}^{(1)}(\tau, 0) + {}^{(2)}(\tau, 0) &= 0, \quad \in \end{aligned} \quad (94-2)$$

که شرط مرزی برای معادله دیفرانسیل حاکم بر تابع پتانسیل میدان انکسار یافته از ۹۴-۲ قابل

استخراج می باشد. همانند بخشهای گذشته مسئله را به دو قسمت تقسیم می کنیم.

شرایط مرزی برای قسمت اول: (متقارن)

$$\begin{aligned} {}^{(1)}(\sigma, 0) = {}^{(2)}(\sigma, 0) &= 0, \quad \notin \\ {}^{(1)}(\tau, 0) = - {}^{(2)}(\tau, 0); \quad {}^{(1)}(\sigma, 0) &= 0, \quad \in \end{aligned} \quad (95-2)$$

شرایط مرزی برای قسمت دوم: (نامتقارن)

$$\begin{aligned} {}^{(1)}(\sigma, 0) = {}^{(2)}(\sigma, 0) &= 0, \quad \notin \\ {}^{(1)}(\tau, 0) = 0; \quad {}^{(2)}(\tau, 0) = - {}^{(1)}(\tau, 0) &= 0, \quad \in \end{aligned} \quad (96-2)$$

که حل کلی مسئله از جمع حل این دو قسمت بدست خواهد آمد.

قسمت اول، مسئله متقارن (مود I):

با انجام کمی عملیات ریاضی دیگر به روابط انتگرالی زیر، حاکم بر تابع A خواهیم رسید

$$\begin{aligned} -f(\sigma) - f(\tau) &= 0, \quad > 0 \\ -f(\sigma) - f(\tau) - f(\sigma) - f(\tau) &= -f(\sigma) - f(\tau), \quad > 0 \end{aligned} \quad (97-2)$$

که در آن، $\sigma = 1, 2$ و تابعی است وابسته به نوع موج ورودی و تابعی است از .

قسمت دوم، مسئله پاد متقارن (مود II):

با انجام کمی عملیات ریاضی دیگر به روابط انتگرالی زیر، حاکم بر تابع G خواهیم رسید

$$-f(S_1) \exp(-S_1) = 0, \quad S_1 > 0$$

$$-f(S_1) \exp(-S_1) = -\exp(-S_1), \quad S_1 > 0 \quad (98-2)$$

که در آن، $S_1 = 1, 2$ ، تابعی است وابسته به نوع موج ورودی و تابعی است از S_1 .

با حل معادلات ۹۷-۲ و ۹۸-۲ مسئله اصلی قابل حل خواهد بود.

حل مسئله:

معادلات انتگرالی ۹۷-۲ و ۹۸-۲ توسط روش وینر هوف^۱ قابل حل خواهند بود که ذکر پروسه

حل خارج از حوصله این تحقیق می باشد، لذا در زیر به بیان نتیجه نهائی تحلیل بسنده می کنیم:

میدان تنش برای حالت متقارن:

$$\sigma_x = \frac{k_1}{\left[4S_1S_2 - (1+S_2^2)^2\right]} \frac{1}{(2r)^{\frac{1}{2}}} \times$$

$$\left\{ (1+S_2^2)(1-S_2^2+2S_1^2)f(S_1) - 4S_1S_2f(S_2) \right\}$$

$$\sigma_y = \frac{k_1}{\left[4S_1S_2 - (1+S_2^2)^2\right]} \frac{1}{(2r)^{\frac{1}{2}}} \left\{ -(1+S_2^2)f(S_2) + 4S_1S_2f(S_1) \right\}$$

$$\sigma_{xy} = \frac{k_1}{\left[4S_1S_2 - (1+S_2^2)^2\right]} \frac{1}{(2r)^{\frac{1}{2}}} 2S_1(1+S_2^2) \left\{ g(S_1) - g(S_2) \right\} \quad (99-2)$$

¹ Winner Hopf

$$\begin{aligned}
 + &= \cdot 1 + & (100-2) \\
 - &= \cdot 1 + & (101-2) \\
 = (+)^- , &= - & (101-2)
 \end{aligned}$$

و:

$$= - \frac{(\quad)^-}{\quad} - \quad (102-2)$$

میدان تنش برای حالت پاد متقارن:

$$\begin{aligned}
 &= \frac{2 \{ (1 + (\quad)) (\quad) - (1 - (\quad) + 2 (\quad)) (\quad) \}}{(\quad)^-} \\
 &= \frac{2 (1 + (\quad)) \{ (\quad) - (\quad) \}}{(\quad)^-} \\
 &= \frac{4 (\quad) - (1 + (\quad)) (\quad)}{(\quad)^-} & (103-2)
 \end{aligned}$$

و:

$$= - \frac{(\quad)^-}{\quad} - \quad (104-2)$$

با اندکی تامل در ۹۹-۲ و ۱۰۳-۲ و مقایسه آنها با ۶۹-۲، ۷۳-۲ و ۷۵-۲ دیده می شود که ترم های میدان تنش حاصل از برخورد موج با ترک در حال گسترش همانند ترم های میدان تنش ناشی از گسترش دینامیکی ترک می باشد و تنها فرق آنها، ضریب شدت تنش می باشد که وابسته به فرکانس زاویه ای و دامنه موج برخوردی می باشد.

از آنجایی که هم به علت گسترش ترک و هم به علت برخورد هر نوع موج صفحه ای با ترک هر دو نوع موج صفحه ای برشی و طولی بوجود می آیند، یکسان بودن جنس میدانهای تنش و تغییر مکان اطراف نوک ترک در هر دو حالت دور از انتظار نیست.

دست آخر میدان تغییر مکان کل در اطراف نوک ترک پیشرونده در برخورد یک میدان موج با ترک را می توان از همان روابط ۲-۶۹، ۲-۷۳ و ۲-۷۵ بدست می آید ولی با این تفاوت که به جای () و () در آنها از و ارائه شده در ۲-۹۹ و ۲-۱۰۳ استفاده شود.

چنانچه $\rightarrow 0$ ، یعنی حالتی که ترک ثابت است و موجی به آن برخورد می کند، میدان تنش و تغییر مکان اطراف نوک ترک همانند میدان نزدیک نوک ترک در حالت استاتیکی خواهد بود. البته با تاکید مجدد بر این مطلب که ضرائب شدت تنش دینامیکی در این حالت از روابط زیر بدست خواهند آمد:

$$= - \frac{-}{(/)} - -$$

$$= - \frac{-}{(/)} - -$$

$$() = -f \frac{-}{-} \quad (۲-۱۰۵)$$

فصل ۳

اجزای محدود توسعه یافته

۳-۱- مقدمه

در راستای پی بردن به عمر مفید سازه‌ها و قطعات، علوم بسیاری پدید آمده است. از این دسته علوم می‌توان به مکانیک شکست اشاره کرد که بیشترین تمرکز آن بر روی بررسی نقایص موجود در مصالح می‌باشد. سه روش مورد استفاده این بخش از دانش بشری مانند بسیاری از علوم موجود، مبتنی بر آزمایشات تجربی، بررسی تحلیلی و بررسی عددی می‌باشد.

در زمینه عددی روش‌های اجزای محدود^۱، المان مرزی^۲ و بدون المان^۳ روش‌های متداول موجود می‌باشند. در روش المان مرزی که برای تحلیل مسائل مرتبط با مکانیک شکست، که توسط کروس^۴ ارائه گردیده، با در نظر گرفتن تمامی مزایایی که در مدلسازی ناپیوستگی‌ها داراست، نمی‌تواند روش مناسبی در مسایل غیرخطی، شامل پلاستیسیته و یا هندسه غیر خطی، باشد. روش‌های مختلف بدون

1 Finite element method

2 Boundary element method

3 Meshless methods

4 Cruse

المان همچون روش بدون المان گالرکین (بلیچکو^۱ و همکارانش [۲۲]) در مدل‌سازی مرزها و شرایط مختلف هندسی دارای مشکلاتی می‌باشند و نمی‌توان از آن‌ها در حل هر مسأله‌ای استفاده کرد. تنها در تعداد محدودی از این روشها مشکلات مرزی موجود به شکل کارا حل شده‌اند. یکی از روش‌هایی که به طور گسترده مورد استفاده محققین و همچنین نرم‌افزارهای مهندسی قرار گرفته است روش اجزای محدود می‌باشد. این روش توانایی شگرفی در مدل‌سازی هر نوع مرز و هندسه‌ای را دارد. علاوه بر آن، از این روش می‌توان در حل مسایل غیرخطی و مسایل پلاستیسیته استفاده کرد. اما این روش در روند مدل کردن ترک و گسترش آن دارای کاستی‌هایی می‌باشد؛ زیرا در روش اجزای محدود از یک رو باید از یکسری المان‌های خاص به تعداد بسیار زیادی در اطراف نوک ترک استفاده کرد که این امر باعث می‌شود که تعداد درجات آزادی در مدل به شدت افزایش یابد و سرعت حل که کاملاً به تعداد درجات آزادی وابسته است به طرز نامطلوبی کاهش یابد و از دیگر سو همراه با گسترش ترک نیاز است که المان‌بندی در اطراف نوک ترک به هنگام (مش‌بندی مجدد^۲) شود که این امر بخصوص در مسایل پیچیده و یا سه‌بعدی ممکن است که پدیده‌ای بسیار وقتگیر باشد. بنابراین اگر بتوان به طریقی از میزان المان‌ها در اطراف ترک کاست و عمل مش‌بندی مجدد را حذف کرد، بدون شک سرعت تحلیل به مراتب افزایش می‌یابد. یکی از روش‌هایی که هم از مزایای اجزای محدود سود می‌برد و هم دو مشکل اخیر را به نحو قابل قبولی کاهش می‌دهد روش اجزای محدود توسعه‌یافته^۳ می‌باشد. این روش حاصل استفاده از قالب روش پیکره‌بندی واحد^۴ در اجزای محدود

1 Belytschko

2 Remeshing

3 Extended Finite Element Method (XFEM)

4 Partition of Unity Method (PUM)

می‌باشد. روش پیکره‌بندی واحد توسط ملنک^۱ و بابوشکا^۲ [۲۳] و دوارت^۳ و ادن^۴ [۲۴] پیشنهاد شده است. استفاده از روش پیکره‌بندی واحد در اجزای محدود تحت عنوان روش اجزای محدود تعمیم-یافته^۵ توسط ادن و همکارانش [۲۵] و دوارت و همکارانش [۲۶] انجام پذیرفته است. پیشنهاد اولیه^۶ روش اجزای محدود توسعه یافته در مقاله^۷ بلیچکو و بلک^۸ [۲۷] مطرح شده است. در روش پیشنهادی آنان ناپیوستگی‌ها را با استفاده از یکسری تابع شامل تابع‌های پیوسته و ناپیوسته به نام توابع غنی‌سازی^۹، با استفاده از قالب روش پیکره‌بندی واحد، در محیط اجزای محدود مدل می‌کردند. این حالت باعث می‌گردد که ناپیوستگی را بتوان به طور مستقل از مش مدل نمود. در روش پیشنهادی آنان، ترک‌های غیر مستقیم به چندین قطعه نسبتاً مستقیم تقسیم می‌گردد و سپس تمامی قطعات ترک در راستای قطعه اولیه نگاشت می‌شود و بدین ترتیب در مدل نگاشت یافته یک ترک مستقیم وجود دارد که می‌توان به راحتی توابع غنی‌ساز را در مورد آن‌ها استفاده کرد. موئس^۸ و همکارانش [۲۸] نشان دادند که می‌توان به جای آنکه از چندین نگاشت متوالی، که در مورد ترک‌های طولانی و انحنادار می‌تواند بسیار سخت و دردسرساز باشد، جهت مدلسازی ترک استفاده کرد، از تابع پله‌ای هویساید تعمیم یافته^۹ برای مدل نمودن ترک، البته به استثنای نوک(های) ترک، سود جست و بدینگونه روش بهبود بسزایی پیدا کرد و تقریباً به شکلی در آمد که امروزه مورد استفاده قرار می‌گیرد. ذکر این نکته ضروری به نظر می‌رسد که به هرصورت این روش با روش اجزای محدود غنی شده

1 Melenk

2 Babuška

3 Duarte

4 Oden

5 Generalized Finite Element Method (GFEM)

6 Black

7 Enrichment functions

8 Moës

9 Generalized Heaviside function

(بنزلی^۱ [۲۹]، گیفورد^۲ و هیلتن^۳ [۳۰] و آیهان^۴ و نید^۵ [۳۱]) متفاوت است چرا که در روش اجزای محدود غنی شده از المانهای انتقالی برای ارضای شرط پیوستگی جابجایی استفاده می‌گردد و در نتیجه همانند روش اجزای محدود استاندارد در روش اخیر نیز فرآیند رشد ترک مستلزم مش‌بندی مجدد می‌باشد. دالبو^۶ و همکارانش [۳۲، ۳۳ و ۳۴] به ترتیب ناپیوستگی‌ها، ترک در یک ورق و گسترش ترک همراه با تماس اصطکاکی^۷ را در محیط دوبعدی مدلسازی نمودند که همه این قسمتها به صورت یکجا در تحقیق دالبو [۳۵] آمده‌اند. سوکومار^۸ و پری‌وست^۹ در مرجع [۳۶] نحوه اعمال این روش را در قالب یک برنامه کامپیوتری جهت گسترش استاتیکی ترک بیان کرده‌اند. ترک‌های شاخه‌ای و متقاطع^{۱۰} موضوعی است که دواکس^{۱۱} و همکارانش [۳۷] به آن پرداخته‌اند. البته استفاده از اجزای محدود توسعه یافته تنها به مدلسازی ترک محدود نمی‌گردد بلکه از آن می‌توان در مدل نمودن حفره‌ها (سوکومار و همکارانش [۳۸] و دواکس و همکارانش [۳۸]) هم بهره برد. روش اجزای محدود توسعه یافته در محیط سه‌بعدی هم توسط موئس، گرویل^{۱۲} و همکارانش [۳۹]، سوکومار و همکارانش [۴۰] و اریاس^{۱۳} و بلیچکو [۴۱] انجام پذیرفته است. همچنین از اجزاء محدود توسعه یافته در مدلسازی پدیده‌های محاسباتی در زمینه‌های متعدد مانند مکانیک سیالات، تبدیلات فازها، و

1 Benzley

2 Gifford

3 Hilton

4 Ayhan

5 Nied

6 Dolbow

7 Frictional contact

8 Sukumar

9 Prévost

10 Branched and intersecting cracks

11 Duax

12 Gravouil

13 Areias

علم مواد کمک گرفته شده است. در کار واگنر^۱ و همکارانش [۴۲] یک مدل محاسباتی برای ذرات صلب شناور در جریان استوکس ارائه گردید، از سوی دیگر مسائل مرز فازی متحرک^۲ با استفاده از ترکیب اجزاء محدود توسعه یافته و تکنیک Level set توسط چسا^۳ و همکارانش [۴۳]، مرل^۴ و دالبو [۴۴] و جی^۵ و همکارانش [۴۵] مدلسازی گشته است. در سالهای اخیر دامنه روش اجزای محدود توسعه یافته از این هم فراتر رفته و مسایل مربوط به ترکهای چسبنده^۶ توسط زی^۷ و بلیچکو [۴۶]، مرگیم^۸ و همکارانش [۴۷]، مسائل مربوط به پلاستیسیته توسط الگویج^۹ و همکارانش [۴۸] و بکارگیری توابع غنی سازی جدید در نوک ترک در محیطهای دوسانگرد در حالت استاتیکی توسط اسدپور و همکارانش [۴۹، ۵۰، ۵۱] و تعمیم استفاده از توابع در حالت دینامیکی و استخراج توابع جدید برای ترک گسترش یابنده توسط معتمدی و همکاران [۵۲] مورد تحقیق و بررسی قرار گرفته است. همچنین در کتاب محمدی [۵۳]، جمع بندی کاملی از روش اجزای محدود توسعه یافته و کاربردهای آن در مسائل مرتبط با مکانیک جامدات ارائه شده است.

. در این فصل ابتدا به طور خلاصه روش پیکره بندی واحد معرفی می گردد. سپس روش اجزای

محدود توسعه یافته در محیط همسانگرد و بعد از آن بکارگیری آن برای حالتی که ترک در حال

گسترش در محیط همسانگرد است و نیز با میدان موجی برخورد می کند، توضیح داده می شود.

1 Wagner

2 Moving phase boundary

3 Chessa

4 Merle

5 Ji

6 Cohesive crack

7 Zi

8 Mergheim

9 Elguedge

۳-۲- روش پیکره‌بندی واحد

هدف از به کارگیری روش پیکره‌بندی واحد، حل معادله دیفرانسیل^۱ حاکم بر مسئله می‌باشد. این روش را می‌توان به عنوان پایه‌ای برای روش اجزای محدود توسعه یافته، روش اجزای محدود تعمیم‌یافته و روش تقسیم‌بندی المان^۲ دانست. بر اساس آنچه در مقاله ملنک و بابوشکا [۲۵] ذکر شده است از ویژگی‌های برجسته کاربرد این روش در اجزای محدود، که به پیکره‌بندی واحد اجزای محدود^۳ معروف است، توانایی دربرگرفتن اطلاعات اولیه در مورد رفتار محلی جواب‌ها در فضای اجزای محدود، توانایی در ساخت فضاهای اجزای محدود با هر شکلی (ممکن است که در حل معادلات مرتبه بالاتر بسیار مهم گردد) و محسوب شدن جزء روش‌های بدون المان برای جلوگیری از ساخت مش (که گاه ممکن است بسیار وقت‌گیر گردد) می‌باشد.

معادلات این روش به اختصار چنین می‌باشد:

فرض کنیم که در یک مش، ω_I را ناحیه تحت پوشش^۴ تابع پایه^۵ N_I مربوط به گره I تعریف

کنیم یعنی

$$\omega_I = \{ \mathbf{x} : N_I(\mathbf{x}) > 0 \} \quad (1-3)$$

تعلق گره‌ها به یک المان با اتصال‌های مربوط به آن المان^۶ مشخص می‌گردند. در این حالت ω_I

مجموعه‌ای از المان‌هایی می‌باشد که به گره I متصل هستند. تقریب پیکره‌بندی واحد تابع u با یک

مقدار عددی^۷ (در برابر مقدار برداری) به صورت کلی زیر نوشته می‌شود [۲۴].

1 Differential equation

2 Element partition method

3 Partition of Unity Finite Element Method (PUFEM)

4 Region of support

5 Basis function

6 Connectivity of the element

7 Scalar valued function

$$u^h(\mathbf{x}) = \sum_I N_I(\mathbf{x}) \left(\sum_{\alpha=1}^M \psi_\alpha(\mathbf{x}) a_I^\alpha \right) \quad (2-3)$$

که ψ_α توابع غنی ساز و a_I^α ضرایب مجهولی هستند که به الف-گره I ، ب-تابع غنی ساز ψ_α ، ج-شکل خاص هندسی مساله (مثل ترک، حفره و یا سایر ناپیوستگیها)، د-گره های غنی سازی شده M و ه-گره های موجود در مدل اجزای محدود N مربوط می گردند. توابع شکلی در اجزای محدود پیکره بندی واحد را می سازند یعنی $\sum_I N_I(\mathbf{x}) = 1$. با توجه به رابطه (2-3)، باید متذکر شد که فضای اجزای محدود متداول (با فرض آنکه $(\psi_1 = 1, \psi_\alpha = 0, (\alpha \neq 1))$) زیرفضایی بر فضای غنی سازی شده می باشد. با توجه به این نکته تابع غنی ساز ψ_α در تابع پایه N_I ضرب می شود دامنه اثر تابع $\psi_\alpha N_I$ کوچکتر خواهد بود. برای بدست آوردن معادلات تفکیک شده (در فضای مش بندی شده) از همان روند مورد استفاده در روش گالرکین^۱ استاندارد می توان سود برد و البته در این صورت در ماتریس سختی ماده^۲ تقارن و پراکندگی^۳ درایه ها حفظ می شود.

اگرچه ایده افزودن جواب های شناخته شده مناسب^۴ به تقریب اجزای محدود، ایده جدیدی نیست (بنزلی [۲۹]، فیکس^۵ و همکارانش [۵۴] و استرنگ^۶ و فیکس [۵۵])، با این وجود قالب پیکره بندی واحد با توجه به ویژگی های زیر به عنوان یک ابزار قدرتمند جهت غنی سازی محلی در اجزای محدود کاربرد دارد

تغییر در توابع پایه جواب در راستای بهبود پاسخها.

ارضا شرط پیوستگی به صورت خودکار.

1 Galerkin
2 Stiffness matrix
3 Sparsity
4 Asymptotic solution
5 Fix
6 Strang

مدل کردن ناپیوستگی‌ها بدون ایجاد مشکل در مش بندی‌ها.

ویژگی‌های بالا سبب ایجاد ابزاری می‌شوند که به وسیله آن می‌توان هر تابعی را در تقریب اجزای

محدود مدل‌سازی نمود.

از این پس سعی می‌گردد که به طور مشروح به روش اجزای محدود توسعه یافته پرداخته شود.

۳-۳- روش اجزای محدود توسعه یافته

روش اجزای محدود توسعه یافته، در واقع ترکیبی از روش اجزای محدود متداول و روش بدون

المان می‌باشد که در آن از روش اجزای محدود متداول برای مدل کردن مسئله استفاده شده است و از

توانایی روش بدون المان برای مدل کردن ناپیوستگی‌ها بهره برده شده است. بلیچکو و بلک [۲۷] از

کسانی بودند که برای اولین بار پایه‌های این روش را بنا گذاردند. شکل متداول روش در حال حاضر

برگرفته از تحقیقات موئس و همکارانش [۲۸] بر روی روش پیشنهادی بلیچکو و بلک [۲۷] انجام

دادند و اعمال روش را برای ترک‌های خمیده و یا ترک‌هایی که از چند قطعه ناصاف تشکیل می‌-

گردند بسیار ساده‌تر نمودند.

در روش اجزای محدود توسعه یافته، روند کار به این صورت است که در ابتدا مش اجزای

محدود بدون در نظر گرفتن ناپیوستگی، که می‌تواند ترک یا حفره باشد، ساخته می‌شود. سپس بر

اساس روش پیکره‌بندی واحد، برای در نظر گرفتن ناپیوستگی، با استفاده از توابع غنی‌ساز، که از

حل تحلیلی تغییر مکان پیرامون ناپیوستگی سرچشمه می‌گیرد، تعدادی درجات آزادی اضافی^۱ در محل

گره‌های موجود در مش که با ناپیوستگی درگیر هستند به مدل اضافه می‌گردد و بدین طریق

^۱ Additional degrees of freedom

نایپوستگی، بدون آنکه در مش به طور آشکار در نظر گرفته شده باشد، مدل می‌شود. این نحوه مدلسازی نایپوستگی چند مزیت را به قرار زیر داراست

در هر نقطه‌ای از مش می‌توان نایپوستگی را مدلسازی نمود بدون آنکه مش بندی احتیاج به تغییر داشته باشد.

روند گسترش ترک دیگر نیازی به سازگارسازی مش با شرایط جدید ترک نخواهد داشت. لازم نیست که در اطراف ترک، و به خصوص نواحی نزدیک به نوک آن، همچون اجزای محدود متداول از چندین نوع المان استفاده شود.

از تعداد درجات آزادی مورد نیاز در اطراف نایپوستگیها و به ویژه ترک به نسبت روش اجزای محدود متداول به طور چشمگیری کاسته می‌شود و در نتیجه سرعت تحلیل مساله بسیار بالا می‌رود.

۳-۳-۱- کلیات روش

فرض کنیم که یک نقطه مانند \mathbf{x} از فضای R^2 (برای محیط دوبعدی) و یا R^3 (برای محیط سه-بعدی) درون مدل اجزاء محدود داشته باشیم و مجموعه گرهی \mathbf{N} به صورت $\mathbf{N} = \{n_1, n_2, \dots, n_K\}$ که در آن K تعداد گره‌های یک المان است، باشد. در این صورت تابع مربوط به محاسبه تقریب تغییر مکانی غنی شده مربوط به آن نقطه به صورت زیر تعریف می‌شود [۳۸]

$$\mathbf{u}^h(\mathbf{x}) = \underbrace{\sum_{n_I \in \mathbf{N}} \phi_I(\mathbf{x}) \mathbf{u}_I}_{\text{!!!!!!}} + \underbrace{\sum_{n_J \in \mathbf{N}^g} \phi_J(\mathbf{x}) \psi(\mathbf{x}) \mathbf{a}_J}_{\text{!!!!!!}} \quad (3-3)$$

که در رابطه (۳-۳)، \mathbf{u}_I درجات آزادی تغییر مکانی در اجزای محدود متداول، \mathbf{a}_J درجات آزادی تغییر مکانی اضافی نسبت به مدل اجزاء محدود متداول و مربوط به غنی سازی، ϕ_I تابع شکلی مربوط

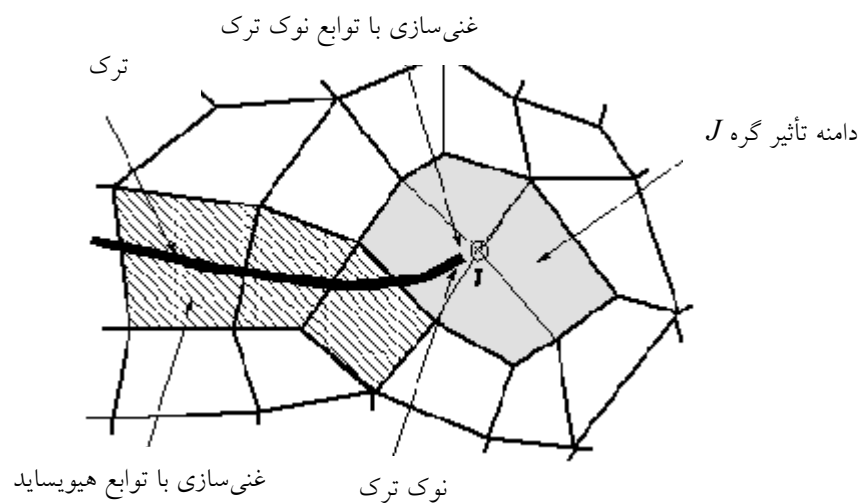
به گره I در اجزای محدود متداول، $\psi(\mathbf{x})$ تابع غنی ساز و \mathbf{N}^g مجموعه‌ای از گره‌ها با تعریف زیر می‌باشد.

$$\mathbf{N}^g = \{n_J : n_J \in \mathbf{N}, \omega_J \cap \Omega_g \neq \phi\} \quad (4-3)$$

در رابطه ۳-۴، ω_J دامنه اثر تابع شکلی ϕ_J در گره n_J و Ω_g حوزه وابسته به هندسه ناپیوستگی‌ها همچون سطح و یا نوک ترک می‌باشد. تعیین تابع غنی ساز $\psi(\mathbf{x})$ با توجه به نوع ناپیوستگی و شرایط تحلیلی در دسترس مربوط به آن انجام می‌پذیرد. در واقع به صورت کاملاً کلی و ساده، \mathbf{N}^g مجموعه‌ای از گره‌هاست که به نوعی با ناپیوستگی در ارتباط هستند. برای روشن شدن مطلب، دامنه تاثیر برای گره‌ای مانند J در شکل ۳-۱ آورده شده است. در واقع برای هر گره‌ای دامنه تاثیر فضایی است که توابع شکلی آن گره در آن مقداری غیر صفر دارند. در این صورت در مورد گره‌هایی که بر وجوه کناری المان قرار دارند دامنه تاثیر همان المانهای متصل به آن گره خواهند بود و در اجزای محدود مرتبه بالاتر که گره‌هایی در داخل المان نیز ممکن است وجود داشته باشد دامنه تاثیر آن گره به همان المانی که در آن قرار دارد محدود می‌گردد.

در رابطه (۳-۳)، در سمت راست معادله، قسمت اول همان تقریب اجزای محدود متداول می‌باشد و نقش اساسی را در اجزای محدود توسعه یافته قسمت دوم عبارت بازی می‌کند و در واقع با کمک این قسمت است که ناپیوستگی‌ها را می‌توان مدل کرد.

در ادامه به بیان نحوه‌ی به کارگیری روش اجزاء محدود توسعه یافته در مدلسازی ترک می‌پردازیم و از این به بعد منظور از ناپیوستگی، ترک می‌باشد.



شکل ۳-۱. دامنه تأثیر برای گره J در حالتی که گره بر روی وجه کناری المانها قرار دارد.

۳-۲-۳-مدلسازی ترک

تاکنون روابط کلی در مورد روش اجزای محدود توسعه یافته بیان گردید. در این قسمت روابط ویژه مدلسازی ترک گفته می‌شود.

در روش اجزای محدود توسعه یافته، مدلسازی ترک شامل مدل کردن دو قسمت از ترک می‌باشد. یکی مدل کردن نوک(های) ترک و دیگری وجوه آن است. تفاوت این دو قسمت در آن است که در اطراف نوک ترک، تمرکز تنش بسیار بالایی وجود دارد در حالیکه در مورد دو لبه ترک چنین نیست ولی ناپیوستگی تغییر مکانی را از لبه بالایی ترک تا لبه پایینی آن ممکن است داشته باشیم. بنابراین پیداست که برای مدلسازی این دو قسمت باید از دو نوع تابع غنی‌سازی متفاوت استفاده کرد.

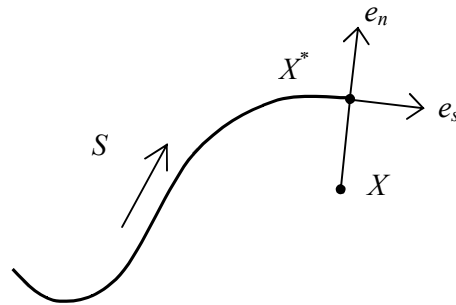
رابطه (۳-۳) برای مدلسازی ترک در داخل کل محیط به صورت زیر درمی‌آید [۲۸]

$$\mathbf{u}^h(\mathbf{x}) = \sum_{l \in \mathbf{N}} \phi_l(\mathbf{x}) \mathbf{u}_l + \sum_{j \in \mathbf{N}^g} \mathbf{b}_j \phi_j(\mathbf{x}) H(\mathbf{x}) + \sum_{k \in \mathbf{K}^1} \phi_k(\mathbf{x}) \left(\sum_l \mathbf{c}_k^{l1} F_l^1(\mathbf{x}) \right) \quad (5-3)$$

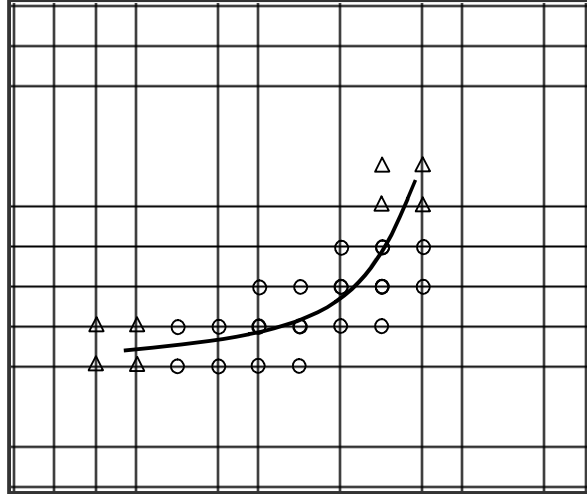
$$+ \sum_{k \in \mathbf{K}^2} \phi_k(\mathbf{x}) \left(\sum_l \mathbf{c}_k^{l2} F_l^2(\mathbf{x}) \right)$$

در رابطه (5-3) \mathbf{b}_j و \mathbf{c}_k^l درجات آزادی گرهی اضافی، $F_l^1(\mathbf{x})$ و $F_l^2(\mathbf{x})$ توابع تغییر مکانی دوبعدی نزدیک نوک ترک می‌باشند که به ترتیب برای مدل کردن نوک اول و دوم ترک است که برای کامپوزیتها در بخش بعد به دست آمده‌اند. $H(\mathbf{x})$ هم تابع تعمیم یافته هویساید است که مثبت است اگر \mathbf{x} در بالای ترک قرار گیرد در غیر این صورت منفی است. مطابق شکل ۳-۲ چنانچه بردار \mathbf{e}_n یک عمود بر امتداد ترک باشد به گونه‌ای که $\mathbf{e}_s \times \mathbf{e}_n = \mathbf{e}_z$ (بردار \mathbf{e}_s یک مماسی است) و نزدیکترین نقطه به \mathbf{x} بر روی ترک \mathbf{x}^* باشد در این صورت داریم

$$H(\mathbf{x}) = \begin{cases} +1 & ; (\mathbf{x} - \mathbf{x}^*) \cdot \mathbf{e}_n > 0 \text{ هرگاه} \\ -1 & ; (\mathbf{x} - \mathbf{x}^*) \cdot \mathbf{e}_n < 0 \text{ هرگاه} \end{cases} \quad (6-3)$$

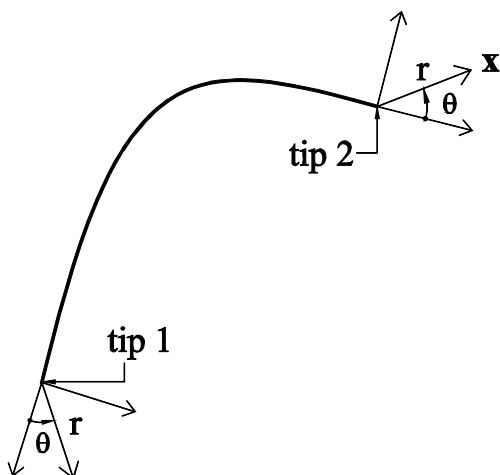


شکل ۳-۲. بردارهای یک عمودی و مماسی در تابع هویساید تعمیم یافته برای نقطه‌ای مانند \mathbf{x}^* که نزدیکترین نقطه بر روی ترک به نقطه \mathbf{x} است.



شکل ۳-۳. انتخاب نقاط برای غنی‌سازی: نقاطی که با دایره مشخص شده‌اند با تابع تعمیم‌یافته هویساید و نقاطی که با مثلث مشخص شده‌اند با توابع نزدیک نوک ترک غنی‌سازی می‌شوند.

از این تابع در شبیه‌سازی دو لبه ترک، و نه نوک آن، استفاده می‌شود. با نگاهی به رابطه (۳-۶)، می‌توان دریافت که این تابع دو مقادیر دارای یک ناپیوستگی بر روی ترک است که به همین علت هم از این تابع برای مدلسازی دو لبه ترک استفاده می‌شود. نحوه انتخاب گره‌ها برای غنی‌سازی با تابع تعمیم‌یافته هویساید بدین ترتیب است که چنانچه در حوزه تأثیر یک گره، ترکی وجود داشته باشد، بدون آنکه نوک ترک در آن حوزه باشد، آن گره با تابع نامبرده شده غنی‌سازی می‌گردد بدین معنی که برای هر درجه آزادی که در آن گره تعریف شده باشد به همان اندازه و در همان جهات هم درجات آزادی اضافی ناشی از تابع تعمیم‌یافته هویساید گذارده می‌شود تا بتوان ناپیوستگی را در تغییرمکان در هر دو جهت مدلسازی کرد (در شکل ۳-۳، این گره‌ها با دایره مشخص شده‌اند).



شکل ۳-۴. محورهای محلی قطبی (r, θ) که در دو سر ترک تعریف شده‌اند.

۳-۳-۳- توابع نزدیک نوک ترک در محیط همسانگرد

حال باید به بحث توابع غنی‌ساز نزدیک نوک ترک پردازیم که نقش مهمی را در شبیه‌سازی و محاسبه دقیق تنش‌ها و تغییر مکان‌ها بخصوص در نزدیکی نوک ترک دارا هستند. برای این کار لازم است که ابتدا رابطه مربوط به تغییر مکان‌ها در حالت دوبعدی در شرایطی که یک جسم همسانگرد تحت تاثیر بارگذاری عمومی مودهای مرکب^۱ است را ذکر کنیم. اگر محورهای محلی قطبی (r, θ) را در نوک ترک به صورتی که در شکل ۳-۴ دیده می‌شود در نظر بگیریم، روابط مربوط به تغییر مکانها در اطراف نوک ترک به صورت زیر خواهد بود:

$$u = \frac{K_{\perp}}{2G} \sqrt{\frac{r}{2\pi}} \left\{ \sin(\theta/2) [\kappa - 1 + 2 \cos^2(\theta/2)] \right\} +$$

$$\frac{K_{\parallel}}{2G} \sqrt{\frac{r}{2\pi}} \left\{ \cos(\theta/2) [\kappa - 1 + 2 \sin^2(\theta/2)] \right\} \quad (۷-۳)$$

^۱ General mixed mode loadings

$$u = \frac{K_I}{2G} \sqrt{\frac{r}{2\pi}} \left\{ \cos(\theta/2) [\kappa - 1 + 2 \sin^2(\theta/2)] \right\} + \quad (8-3)$$

$$\frac{K_{II}}{2G} \sqrt{\frac{r}{2\pi}} \left\{ \sin(\theta/2) [\kappa - 1 + 2 \cos^2(\theta/2)] \right\}$$

که G مدول برشی در محیط همسانگرد و κ به صورت زیر است

$$\kappa = \begin{cases} 3 - 4\nu & \text{for plane strain} \\ \frac{3 - \nu}{1 + \nu} & \text{for plane stress} \end{cases} \quad (9-3)$$

ν ضریب پواسون در محیط همسانگرد می‌باشد.

برای آنکه بتوانیم فضای تغییرمکانی موجود در روابط (۷-۳) و (۸-۳) را شبیه‌سازی کنیم به توابعی نیاز داریم که تمامی تغییرمکان‌های ممکن در این روابط را پوشش دهد. این توابع را می‌توان این چنین انتخاب کرد [۳۵]

$$\{ (r, \theta) \} = \sqrt{r} \cos \theta, \sqrt{r} \sin \theta, \sqrt{r} \sin^2 \theta, \sqrt{r} \cos^2 \theta \quad (10-3)$$

که در توابع بالا (r, θ) با توجه به شکل ۳-۴ در مختصات محلی واقع بر نوک ترک تعیین می‌گردند. این توابع همان توابع غنی‌سازی هستند که باید در اجزای محدود توسعه یافته در محیط همسانگرد از آن‌ها بهره برد. نحوه انتخاب گره‌هایی که باید غنی‌سازی گردند هم مشابه حالت قبل است بدین ترتیب که مطابق شکل ۳-۳ تنها در گره‌هایی عمل غنی‌سازی بوسیله توابع نزدیک نوک ترک انجام می‌شود که نوک ترک در حوزه تأثیر آن نقاط وجود داشته باشد (در شکل ۳-۳ این نقاط با مثلث مشخص شده‌اند). نکته‌ای که در رابطه (۱۰-۳) دیده می‌شود آن است که تابع $\sqrt{r} \sin \frac{\theta}{2}$

تابعی پیوسته نیست یعنی از $\theta = -\pi$ تا $\theta = \pi$ مقدار تابع از $-\sqrt{r}$ تا \sqrt{r} تغییر می‌کند و این نشانه ناپیوسته بودن تابع در طول دو وجه ترک می‌باشد در حالیکه سه تابع دیگر در دو طرف این بازه به یک مقدار ختم می‌شوند به عبارت دیگر در دو وجه ترک مقدار یکسانی را اختیار می‌کنند.

همانطور که از رابطه (۳-۱۰) پیداست چهار تابع برای مدلسازی نوک ترک لازم است. با توجه به اینکه در محیط دویبعدی در حالت‌های تنش و کرنش صفحه‌ای برای هر گره دو درجه آزادی حرکتی، و نه چرخشی، در نظر گرفته می‌شود در مجموع در هر گره‌ای که نیاز به غنی‌سازی با توابع نزدیک نوک ترک داشته باشد باید هشت درجه آزادی اضافی در نظر گرفت که تاثیر هر چهار تابع را در هر راستا نشان دهد.

۳-۳-۴- توابع نزدیک نوک ترک در حال گسترش در محیط همسانگرد

برای ارائه توابع غنی‌ساز نزدیک نوک ترک در این حالت، لازم است که رابطه مربوط به تغییر مکان‌ها در حالت دویبعدی در شرایطی که یک جسم همسانگرد تحت تاثیر بارگذاری عمومی مودهای مرکب است را طبق آنچه در بخش ۲-۲-۲-۳ گفته شد مجدداً بیان گردند.

$$\left(\begin{array}{c} u \\ v \end{array} \right) = \frac{(\sigma)}{\sqrt{r}} \times \left[- (1 + \frac{r}{r_0})^{-2} \cos \theta - \cos \theta + \frac{(\sigma)}{\sqrt{r}} \times \left[- 2 \sin \theta - (1 + \frac{r}{r_0})^{-2} \sin \theta \right] \right] \quad (۳-۱۱)$$

$$\left(\begin{array}{c} u \\ v \end{array} \right) = - \frac{(\sigma)}{\sqrt{r}} \times \left[(1 + \frac{r}{r_0})^{-2} \sin \theta - 2 \sin \theta + \frac{(\sigma)}{\sqrt{r}} \times \left[- 2 \sin \theta - (1 + \frac{r}{r_0})^{-2} \sin \theta \right] \right] \quad (۳-۱۲)$$

که در آن $D = 4\alpha \alpha - (1 + \alpha)$ می‌باشد و μ همان ضریب لامه است که برابر G (مدول برشی) می‌باشد. با توجه به ۳-۱۱ و ۳-۱۲ می‌توان انتظار داشت توابع غنی‌سازی برای ترک در حال گسترش دارای ترم سرعت باشد. از طرف دیگر با توجه به آنچه در باره میدان اطراف نوک ترک

در بخش قبل برای ترک ثابت و ترک در حال گسترش گفته شد، از آنجائیکه میدان اطراف نوک ترک در حالت استاتیکی در واقع از برابر صفر قرار دادن V در میدان اطراف نوک ترک در حال گسترش حاصل می شود، می توان انتظار داشت که توابع غنی سازی برای ترک در حالت استاتیکی نیز حاصل از برابر صفر قرار دادن V در توابع غنی سازی ترک در حال گسترش باشد. لذا توابع غنی سازی برای این حالت به صورت زیر پیشنهاد می گردد:

$$\left\{ \left(\frac{r}{r_0} \right)^{-\frac{1}{2}} \right\} = \sqrt{\cos \theta}, \sqrt{\sin \theta}, \sqrt{\sin \theta \sin \theta}, \sqrt{\cos \theta \sin \theta} \times \frac{1}{\left(\frac{r}{r_0} + \frac{r_0}{r} \right)^{1/2}} \quad (13-3)$$

۳-۳-۵- توابع نزدیک نوک ترک حاصل از برخورد موج صفحه ای با ترک در محیط همسانگرد با توجه به نتیجه گیری حاصل از حل تحلیلی ای که برای بدست آوردن میدان اطراف نوک ترک هنگام برخورد موج صفحه ای با ترک ساکن و یا در حال گسترش که در ۲-۲-۳ بیان شد، در این حالت نیز توابع غنی ساز المان نوک ترک همانهایی خواهند بود که برای یک ترک ساکن یا یک ترک در حال گسترش در محیط همسانگرد توضیح داده شد. با توجه به توضیحات داده شده در بخش های قبل در اینجا فقط به ذکر توابع غنی ساز نوک ترک اکتفا می کنیم:

توابع نزدیک نوک ترک حاصل از برخورد موج صفحه ای با ترک ساکن در محیط همسانگرد

$$\left\{ \left(\frac{r}{r_0} \right)^{-\frac{1}{2}} \right\} = \sqrt{\cos \theta}, \sqrt{\sin \theta}, \sqrt{\sin \theta \sin \theta}, \sqrt{\cos \theta \sin \theta} \quad (14-3)$$

توابع نزدیک نوک ترک حاصل از برخورد موج صفحه ای با ترک در حال گسترش در محیط

همسانگرد

$$\{ (,) \} = \sqrt{\cos -}, \sqrt{\sin -}, \sqrt{\sin \sin -}, \sqrt{\cos \sin -} \times \frac{(\quad + \quad)}{2} \quad (15-3)$$

فصل ٤

! !!!!! !!!!! !!!!! !!!!! !!!!!

!!!!!! !!!!! !!!!! !!!!! !!!!! !!!!! !!!!!

۴-۱- مقدمه

در حال حاضر یکی از پر کاربردترین روش‌های موجود در تحلیل مسائل مهندسی، روش‌های عددی می‌باشند. در رخدادهای پیچیده فیزیکی همواره نمی‌توان از روش‌های تحلیلی استفاده کرد زیرا انباشت پارامترها و ساده نشدن آن‌ها امکان دستیابی به جواب تحلیلی را برای مسائل پیچیده سلب نموده و لذا کاربرد تحلیل‌های عددی را گسترش داده است.

اما باید به این نکته نیز اشاره کرد که در روش‌های عددی همواره مشکلاتی وجود دارد که ممکن است در تئوری وجود نداشته باشد. وجود این نواقص لزوم پیاده‌سازی هر روش عددی بر پایه تئوری آن و رفع مشکلاتی که گاه سرچشمه‌ای بسیار جزیی و پیش‌پا افتاده دارند را ضروری می‌سازد.

برای پیاده‌سازی عددی روش، در این تحقیق نرم‌افزار اجزای محدود توسعه یافته به کمک نرم‌افزار محاسباتی Matlab نوشته شده است. همچنین مراحل پیاده‌سازی روش پیشنهادی و تشکیل ماتریس-های سختی ماده، جرمی، میرائی و نیرویی گفته می‌شود و سپس نکاتی نیز در مورد نحوه انتخاب نقاط برای غنی‌سازی و انتگرال‌گیری گفته می‌شود. پس از آن نحوه محاسبه ضرایب شدت تنش که

پارامتری مهم در مکانیک شکست جهت تشخیص وضعیت ترک و احتمال گسترش آن و جهت رشد ترک است با استفاده از نتایج اجزای محدود ذکر می‌شود. در انته نیز فلوچارت کلی نرم‌افزار ارائه می‌گردد.

۴-۲- تشکیل ماتریس‌ها

معادله‌ها و ماتریس‌هایی که در روش اجزای محدود توسعه یافته باید تشکیل شوند دارای روندی بسیار شبیه به اجزای محدود متداول هستند. سیستم معادلات دینامیکی در روش اجزای محدود توسعه یافته، به شکل کلی آن، به صورت زیر بیان می‌گردد

$$\mathbf{K}\mathbf{u} + \mathbf{C}\dot{\mathbf{u}} + \mathbf{M}\ddot{\mathbf{u}} = \mathbf{f} \quad (۴-۱)$$

که در آن \mathbf{K} ماتریس سختی ماده، \mathbf{C} ماتریس میرایی، \mathbf{M} ماتریس جرمی، \mathbf{f} بردار نیروئی، \mathbf{u} بردار تغییر مکان، $\dot{\mathbf{u}}$ بردار سرعت و $\ddot{\mathbf{u}}$ بردار شتاب می‌باشند که در شامل درجات آزادی متداول اجزای محدود و درجات آزادی اضافی مرتبط با غنی‌سازی می‌باشند. ماتریس‌هایی را که به صورت کلی هستند باید از محاسبه و سرهم کردن همان ماتریس‌ها در هر المان بدست آورد. این ماتریس‌ها را با روابط زیر می‌توان محاسبه کرد

$$\mathbf{K}_{ij}^e = \begin{bmatrix} \mathbf{K}_{ij}^{uu} & \mathbf{K}_{ij}^{ua} & \mathbf{K}_{ij}^{ub} \\ \mathbf{K}_{ij}^{au} & \mathbf{K}_{ij}^{aa} & \mathbf{K}_{ij}^{ab} \\ \mathbf{K}_{ij}^{bu} & \mathbf{K}_{ij}^{ba} & \mathbf{K}_{ij}^{bb} \end{bmatrix} \quad (2-1)$$

$$\mathbf{M}_{ij}^e = \begin{bmatrix} \mathbf{M}_{ij}^{uu} & \mathbf{M}_{ij}^{ua} & \mathbf{M}_{ij}^{ub} \\ \mathbf{M}_{ij}^{au} & \mathbf{M}_{ij}^{aa} & \mathbf{M}_{ij}^{ab} \\ \mathbf{M}_{ij}^{bu} & \mathbf{M}_{ij}^{ba} & \mathbf{M}_{ij}^{bb} \end{bmatrix} \quad (3-1)$$

$$\mathbf{C}_{ij}^e = \begin{bmatrix} \mathbf{C}_{ij}^{uu} & \mathbf{C}_{ij}^{ua} & \mathbf{C}_{ij}^{ub} \\ \mathbf{C}_{ij}^{au} & \mathbf{C}_{ij}^{aa} & \mathbf{C}_{ij}^{ab} \\ \mathbf{C}_{ij}^{bu} & \mathbf{C}_{ij}^{ba} & \mathbf{C}_{ij}^{bb} \end{bmatrix} \quad (4-1)$$

$$\mathbf{f}_i^e = \left\{ \mathbf{f}_i^u \quad \mathbf{f}_i^a \quad \mathbf{f}_i^{b1} \quad \mathbf{f}_i^{b2} \quad \dots \dots \dots \quad \mathbf{f}_i^{bm} \right\}^T \quad (5-1)$$

45

$$\mathbf{k}_{ij}^{rs} = \int_{\Omega^e} (\mathbf{B}_i^r)^T \mathbf{D} \mathbf{B}_j^s d\Omega, \quad r, s = u, a, b \quad (6-1)$$

$$M_{ij}^{rs} = \int_{\Omega^e} \rho (\varphi_i^r)^T \varphi_j^s d\Omega, \quad r, s = u, a, b \quad (7-1)$$

$$C_{ij}^{rs} = \int_{\Omega^e} c (\varphi_i^r)^T \varphi_j^s d\Omega, \quad r, s = u, a, b \quad (8-1)$$

$$\mathbf{f}_i^u = \int_{\partial\Omega_i^h \cap \partial\Omega^e} \varphi_i \bar{\mathbf{t}} d\Gamma + \int_{\Omega^e} \varphi_i \mathbf{b} d\Omega \quad (9-1)$$

$$\mathbf{f}_i^a = \int_{\partial\Omega_i^h \cap \partial\Omega^e} \varphi_i H \bar{\mathbf{t}} d\Gamma + \int_{\Omega^e} \varphi_i H \mathbf{b} d\Omega \quad (10-1)$$

$$\mathbf{f}_i^{b\alpha} = \int_{\partial\Omega_i^h \cap \partial\Omega^e} \varphi_i F_\alpha \bar{\mathbf{t}} d\Gamma + \int_{\Omega^e} \varphi_i F_\alpha \mathbf{b} d\Omega \quad \alpha = 1, 2, 3 \dots \dots \dots, m \quad (11-1)$$

که Ω^e فضای یک المان، Ω^h فضای المانی که در آن ترک وجود دارد، Ω کل فضای مساله، $\partial\Omega$ مرزهای مربوط به فضای Ω ، $\bar{\mathbf{t}}$ بردار نیروی وارد بر مرزها و \mathbf{b} بردار نیروی جسمی^۱ است. همچنین \mathbf{u} ، \mathbf{a} و \mathbf{b} به صورت بالانویس به ترتیب بیانگر بخش بدون غنی سازی، بخش غنی سازی با توابع هیویساید و بخش غنی سازی با توابع نوک ترک هستند. \mathbf{i} و \mathbf{j} به صورت زیرنویس نیز مربوط به درایه های ماتریس ها می باشند. در این روابط، m به تعداد توابع نزدیک نوک ترک وابسته است و برای مساله ای که ترک در یک محیط همسانگرد و یا دوسانگرد باشد برابر ϵ می باشد. \mathbf{B} در رابطه (۴-۶) ماتریس مشتق توابع شکلی می باشد و

$$\mathbf{B}_i^u = \begin{bmatrix} \varphi_{i,x} & 0 \\ 0 & \varphi_{i,y} \\ \varphi_{i,y} & \varphi_{i,x} \end{bmatrix} \quad (۴-۱۲)$$

$$\mathbf{B}_i^v = \begin{bmatrix} \varphi_{i,x} & 0 \\ 0 & \varphi_{i,y} \\ \varphi_{i,y} & \varphi_{i,x} \end{bmatrix} \quad (۴-۱۳)$$

$$\mathbf{B}_i^b = \left[\mathbf{B}_i^{b1} \quad \mathbf{B}_i^{b2} \quad \mathbf{B}_i^{b3} \quad \dots \quad \mathbf{B}_i^{bm} \right] \quad (۴-۱۴)$$

به این ترتیب، نحوه تشکیل ماتریس های مورد نیاز در فرآیند تحلیل در روش اجزای محدود توسعه یافته ذکر گردید. برای حل دستگاه معادلات رابطه ی (۴-۱) از روش انتگرال گیری زمانی نیومارک^۲ استفاده می گردد. همچنین برای ایجاد شرایط پایداری غیرمشروط جواب ها، ضرایب نیومارک را به ترتیب $\beta = 1/4$ و $\alpha = 1/2$ در نظر می گیریم. روابط بکاررفته به صورت زیر می باشند

1 Body force

2 Newmark time integration method

$$(M + \beta\Delta t^2 K + \alpha\Delta t C)\ddot{u}_n = F - K\left(u_{n-1} + \Delta t\dot{u}_{n-1} + (1-2\beta)\frac{\Delta t^2}{2}\ddot{u}_{n-1}\right) - C(\dot{u}_{n-1} + (1-\alpha)\Delta t\ddot{u}_{n-1})$$

$$\dot{u}_n = \dot{u}_{n-1} + (1-\alpha)\Delta t\ddot{u}_{n-1} + \alpha\Delta t\ddot{u}_n$$

$$u_n = u_{n-1} + \Delta t\dot{u}_{n-1} + (1-2\beta)\frac{\Delta t^2}{2}\ddot{u}_{n-1} + \beta\Delta t^2\ddot{u}_n$$

(۱۵-۴)

۴-۳- روش‌های انتگرال‌گیری

همانطور که تا کنون گفته شد در تقریب اجزای محدود توسعه یافته نیاز است که از توابعی جهت غنی‌سازی استفاده شود که در فصل قبل شرح داده شدند. برخی از این توابع و مشتق‌هایشان در طول ترک ناپیوسته هستند و در این صورت اگر المان حاوی ترک بر اساس مکان ترک به دو بخش تقسیم نشود، مساله‌ای که اغلب در اجزای محدود توسعه یافته رخ می‌دهد ولی در اجزای محدود متداول چنین پدیده‌ای را نخواهیم داشت زیرا مش‌بندی بر اساس شکل ناپیوستگیها و سایر مرزها صورت می‌گیرد و امکان ندارد که یک ترک درون یک المان قرار داشته باشد، باید برخی از نکات را در مورد انتگرال‌گیری در نظر گرفت. در این موارد استفاده از قوانین گاوس^۱ معمولی برای انتگرال‌گیری از اینچنین توابع ناپیوسته‌ای نمی‌تواند متضمن جواب دقیق در مساله باشد. برای روشن شدن مساله بهتر است به مثالی که در تحقیق سوکومار و پری‌وست [۳۶] آمده اشاره‌ای کنیم.

فرض کنید که یک تابع ناپیوسته (C^{-1}) و نیز یک تابع پیوسته قطعه‌ای^۲ (C^0) در بازه Ω در طول $(-0.1, 0.5)$ مطابق شکل ۴-۱ وجود داشته باشد و هدف آن باشد که مقدار عددی انتگرال زیر محاسبه

شود

1 Gaussian rule

2 Piece-wise continuous function

$$I[f] = \int_{\Omega} f(x) dx \quad (16-4)$$

با استفاده از روش گاوس تقریب زیر را خواهیم داشت

$$[] = \sum () \quad (17-4)$$

که w_k و ξ_k به ترتیب نقاط و ضرایب وزنی گاوسی در روش گاوسی مرتبه n و J ژاکوبین مربوط به تبدیل مختصات بوده و در این مساله $J = dx/d\xi = 3/4$. مقدار دقیق این انتگرالها $0/5$ و $0/75$ به ترتیب برای توابع پیوسته قطعه‌ای و ناپیوسته می‌باشد. در شکل ۴-۲ نتایج مربوط به استفاده از مرتبه‌های متفاوت روش گاوس نشان داده شده است. همانطور که دیده می‌شود روش گاوسی برای انتگرال‌گیری از چنین توابعی از دقت مناسبی برخوردار نیست. برای رفع این مشکل کافی است که بازه مورد انتگرال‌گیری به دو بازه $(0, 1)$ و $(5, 0/5)$ تقسیم کرده و روش گاوس در هر یک از بازه‌ها به صورت مستقل اعمال گردد.

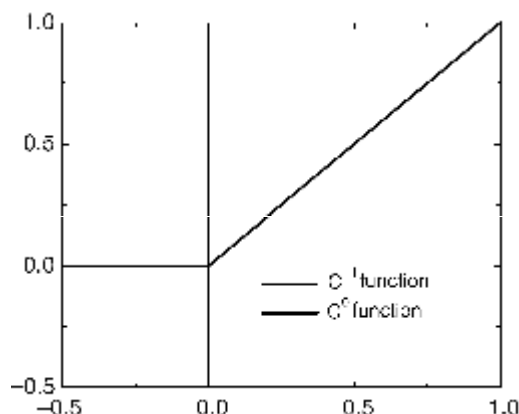
حال که به لزوم انتگرال‌گیری ویژه‌ای که باید در توابع ناپیوسته اعمال گردد پی‌برده شد به بحث نحوه انتگرال‌گیری در اجزای محدود توسعه یافته می‌پردازیم. در اجزای محدود توسعه یافته برای رفع این مشکل از تقسیم‌بندی المان^۱ استفاده می‌شود. بدین مفهوم که چنانچه المانی حاوی ترک باشد و در نتیجه یک و یا چند گره آن با توابع غنی‌ساز و یا تابع تعمیم یافته هویساید، که در هر دو توابع ناپیوسته هم وجود دارد، غنی‌سازی شده باشد المان به منظور انتگرال‌گیری به چند بخش تقسیم می‌شود. نحوه تقسیم‌بندی به صورت تقسیم المان به زیرمثلثها^۲ و یا زیرچهارضلعی^۳ می‌باشد که توسط دالبو [۳۵] ارایه شده است. در اینجا باید تاکید کرد که تقسیم‌بندی تنها به علت انتگرال‌گیری می‌باشد

1 Element partitioning

2 Sub-triangles

3 Sub-quads

و المان عملاً به چند المان دیگر تفکیک نمی‌شود و هیچ درجه آزادی به مساله اضافه نمی‌شود. البته روشهای ساده دیگری هم همچون چندضلعیهای دوزنقه‌ای وجود دارد که توسط فیش [۵۶] پیشنهاد شده است. با این حال تنها به توضیح دو روش اول می‌پردازیم.



شکل ۴-۱. تابع ناپیوسته C^{-1} و تابع پیوسته قطعه‌ای C^0 ، مقدار تابع ناپیوسته در نقطه‌ای به طول صفر پرشی از $0/5-$ به 1 دارد.

حال روش تقسیم‌بندی به زیرمثلث و زیر چهارضلعی

در این روش المانهایی که دارای تقاطعی با ترک هستند مطابق شکل ۴-۳ به زیر مثلث‌هایی تقسیم می‌شوند.

تقسیم‌بندی بر اساس مکان ترک صورت می‌گیرد. هر یک از قسمت‌های موجود در دو طرف ترک خود به تعدادی مثلث تقسیم می‌شود و در هر یک از مثلثها قانون گاوس جهت انتگرال‌گیری اعمال می‌گردد. این روش از دقت مناسبی برخوردار است. باز هم تاکید می‌گردد که این کار هیچ ارتباطی با مش‌بندی ندارد و تنها یک ترفند برای حل مشکل عددی موجود در انتگرال‌گیری توابع ناپیوسته می‌باشد.

مقدار دقیق	مقدار عددی	مرتبه روش	نوع تابع
	محاسبه شده	گوسی مورد استفاده	
۰/۷۵	۱/۵۰۰۰	۱	C^{-1}
	۰/۳۷۵۰	۲	
	۰/۶۹۵۰	۵	
	۰/۶۱۰۱	۷	
	۰/۷۰۷۵	۱۰	
۰/۵	۰/۳۷۵۰	۱	C^0
	۰/۵۱۲۳	۲	
	۰/۵۰۶۶	۵	
	۰/۴۹۹۶	۷	
	۰/۵۰۱۵	۱۰	

شکل ۴-۲. مقادیر محاسبه شده با استفاده از روش گاوس برای یک تابع ناپیوسته و یک تابع پیوسته قطعه‌ای.

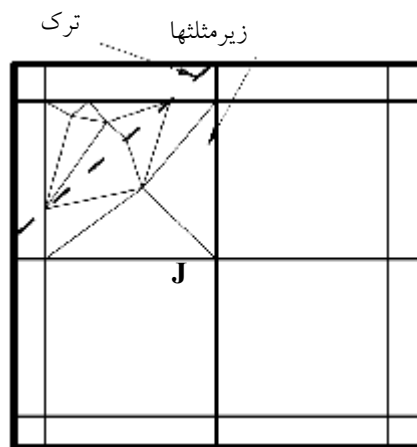
با اینکه روش تقسیم‌بندی به زیرمثلهای از دقت مناسبی در مسایل خطی برخوردار است ولی برای مسایل درگیر با مواد الاستوپلاستیک این روش قابل کاربرد نیست. به عنوان مثال، در حین گسترش ترک در مواد الاستوپلاستیک، در هر نمو فضای تقریب تغییر می‌کند، بدین معنا که میدان جابجایی باید در مراحل متوالی محاسبه جدیدسازی گردد. در واقع در این حالات رفتار ماده نسبت به بارهایی که به آن وارد می‌شود تابع تاریخچه بارگذاری می‌باشد و در هر نمو لازم است که تنشها و تاریخچه بارگذاری به نقاط جدید گوسی انتقال داده شود و این کار در روش زیرمثلهای که نحوه تقسیم‌بندی المان و تشکیل زیر مثلهای به شکل ترک وابسته است و در هر نمو ممکن است تغییر کند تقریباً غیر ممکن است زیرا در نقاط جدید گوسی نمی‌توان تاریخچه بارگذاری را دنبال کرد. به همین منظور هم باید از روشی استفاده شود که مستقل از شکل ترک کار تقسیم‌بندی را انجام دهد. در این صورت می‌توان از روش تقسیم‌بندی چهارضلعی استفاده کرد. در این روش صرفنظر از نوع المان و شکل

ترک، آن المان به تعدادی چهار ضلعی کوچکتر تقسیم می‌شود و انتگرال‌گیری در درون هر چهارضلعی بر اساس قانون گاوس انجام می‌گیرد.

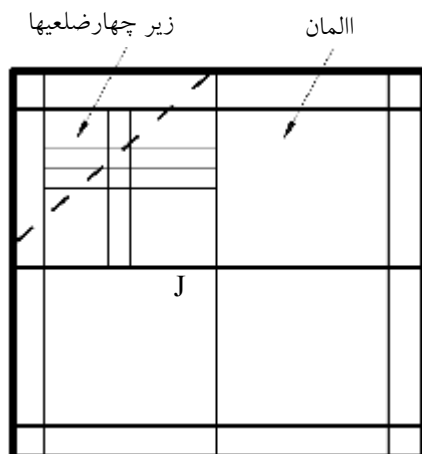
این روش از لحاظ صرف وقت نسبت به روش زیرمثلثها زمانبری کمتری دارد زیرا بدون در نظر گرفتن شکل ترک المان را تقسیم‌بندی می‌کند و روند تقسیم‌بندی احتیاجی به پردازش شرایط مختلف ندارد.

۴-۴- انتخاب گره‌ها جهت غنی‌سازی

در انتخاب گره‌ها برای غنی‌سازی، انتخاب گره برای غنی‌سازی با تابع تعمیم یافته هویساید از حساسیت بیشتری برخوردار است زیرا انتخاب اشتباه گره سبب ناپایدار شدن حل می‌گردد.



شکل ۴-۳. متقسیم‌بندی المانهای درگیر با ترک به زیرمثلث جهت انتگرال‌گیری.



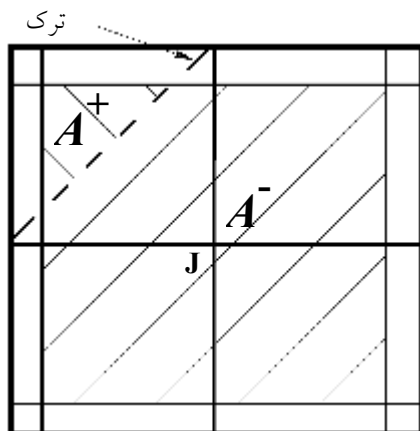
شکل ۴-۴. تقسیم‌بندی المانهای درگیر با ترک به زیرچهارضلعیها جهت انتگرال‌گیری

فرض کنید که دو وجه یک ترک تعدادی از المانها را قطع کرده باشند. اگر در مورد یک گره و المانهای مربوط به آن، مساحت بخشی از المانهای مرتبط با گره را که بالای ترک قرار می‌گیرد با A^+ و مساحت قسمتی را که در زیر ترک قرار می‌گیرد با A^- و مساحت کل المانها را با A نمایش دهیم، شرط لازم برای آنکه بتوان آن گره را با تابع تعمیم یافته هویساید غنی‌سازی نمود آن است که

$$\frac{A^+}{A} \geq mv \quad (18-4)$$

$$\frac{A^-}{A} \geq mv \quad (19-4)$$

که در آن mv مقدار حداقل مجاز است و در کار دالبو [۲۹] پیشنهاد شده برای دوری جستن از مشکلات عددی و ناپایداری حل برابر 0.01% در نظر گرفته شود. در شکل ۴-۵ نحوه تعیین A^+ و A^- برای گره **J** نشان داده شده است.

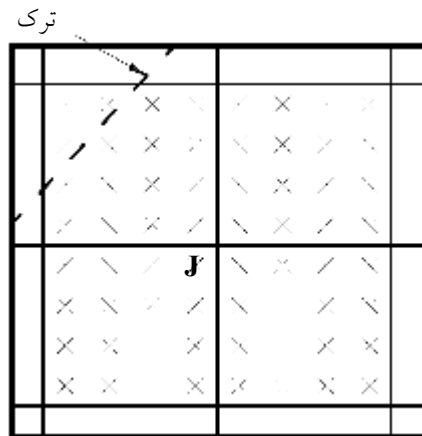


شکل ۴-۵. تعیین A^+ و A^- برای گره J .

از این به بعد در این بخش هدف آن است که نحوه انتخاب گره در دو روش انتگرال‌گیری که در قسمتهای قبل توضیح داده شد شرح داده شود. فرض کنید که در یک المان روش انتگرال‌گیری بر اساس روش زیرچهار ضلعیها باشد در این صورت شرط غنی‌سازی با تابع تعمیم یافته هویساید علاوه بر شرط گفته شده قبل آن است که حداقل یک نقطه گاوسی متعلق به هر کدام از زیر چهار ضلعیها در حوزه تاثیر گره مورد نظر در دو طرف ترک وجود داشته باشد. در شکل ۴-۶ گره J باید با تابع تعمیم یافته هویساید غنی‌سازی شود زیرا در دو طرف ترک در حوزه تاثیر آن گره نقاط گاوسی وجود دارد. حتی اگر ترکی یکی از المانهای موجود در حوزه تاثیر گرهی را قطع کند ولی نقطه گاوسی در دو طرف ترک در حوزه تاثیر آن گره قرار نداشته باشد آن گره با وجود قطع شدن یکی از المانهای موجود در حوزه تاثیر آن، غنی‌سازی نمی‌شود. این مطلب در شکل ۴-۷ به خوبی نشان داده شده است.

در روش زیرمثلث‌ها همان شرط اول، شرط لازم و کافی برای غنی‌سازی با تابع تعمیم یافته هویساید است زیرا اگر ترکی یکی از المانهای متعلق به حوزه تاثیر یک گره را قطع کند حتماً در دو

طرف ترک زیرمثلثها ساخته می‌شوند و در نتیجه حتماً نقاط گاوسی در دو طرف ترک وجود خواهد داشت.



شکل ۴-۶. در دو طرف ترک نقاط گاوسی متعلق به حوزهٔ تاثیر گره **J** وجود دارد و آن گره باید با تابع تعمیم یافتهٔ هویساید غنی-سازی شود.



شکل ۴-۷. در دو طرف ترک نقاط گاوسی متعلق به حوزهٔ تاثیر گره **J** وجود ندارد و آن گره نباید با تابع تعمیم یافتهٔ هویساید غنی-سازی شود.

در مورد غنی‌سازی یک گره با توابع نزدیک نوک ترک هم باید گفت که کافی است که نوک ترک در حوزهٔ تاثیر آن گره وجود داشته باشد. نکتهٔ قابل ذکر در این انتخاب آن است که چنانچه گره‌ی

شرط اخیر را نداشته باشد و با توابع نزدیک نوک ترک غنی‌سازی شود اگر به ترک نزدیک باشد که فقط با این کار تعدادی درجه آزادی زاید به مدل اضافه خواهد شد بدون آنکه بر دقت محاسبات افزوده گردد و اگر آن گره نسبتاً از ترک دور باشد غنی‌سازی باعث می‌شود که محاسبات دچار خطا شود زیرا فرمولهای تغییر مکانی که از آنها جهت استخراج توابع نزدیک نوک ترک استفاده شد فقط در نزدیکی نوک ترک معتبرند و استفاده از آنها در مکانهای دور از نوک ترک اشتباه است.

۴-۵- محاسبه ضرایب شدت تنش

یکی از مهمترین پارامترهای مکانیک شکست، ضرایب شدت تنش هستند که به کمک آنها می‌توان پایداری و یا گسترش ترک را پیش‌بینی کرد. در این پایان‌نامه محاسبه و مقایسه این ضرایب به عنوان معیاری جهت بررسی درستی و دقت روش‌های پیشنهادی بکار می‌رود. در این قسمت سعی می‌شود که نحوه محاسبه این پارامتر شرح داده شود. روشی که برای تعیین ضرایب شدت تنش در حالت مود مرکب در این پایان‌نامه استفاده می‌شود برگرفته از تحقیقی است که کیم^۱ و پائولینو^۲ [۵۷]، چانگچون^۳ و همکاران [۵۸] و نیشیوکا^۴ و آلتوری^۵ [۵۹] انجام داده‌اند.

در ابتدا، قبل از محاسبه ضرایب شدت تنش باید با انتگرال J آشنا شویم. از ویژگی‌های این انتگرال آن است که در هر سطح بسته انتگرال‌گیری در اطراف نوک ترک به شرط آنکه بر لبه‌های ترک تنشی وارد نشود، مقداری ثابت خواهد داشت و مقدار آن از رابطه زیر به دست می‌آید [۶۰].

$$= \int \quad - \quad - \quad (۴-۲۰)$$

1 Kim

2 Paulino

3 Chang-Chun

4 Nishioka

5 Alturi

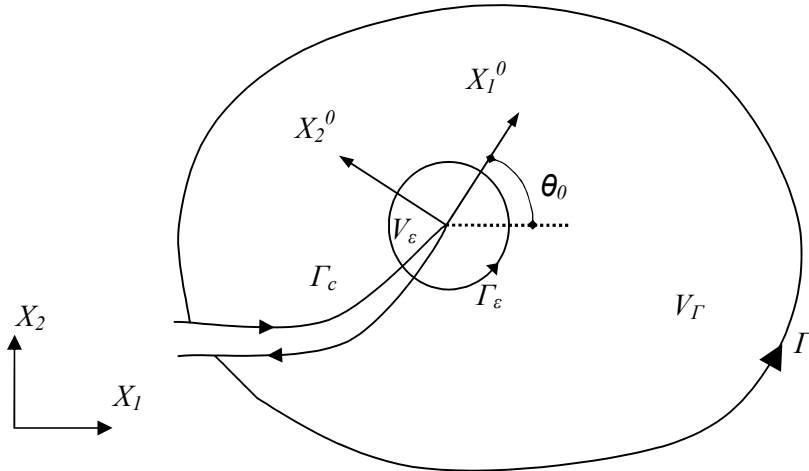
که در آن Γ یک مسیر^۱ بسته دلخواه در اطراف نوک ترک به نحوی که هیچ ترک یا ناپیوستگی دیگری را شامل نشود، W چگالی انرژی کرنشی^۲، برای مواد ارتجاعی خطی $W = (1/2)\sigma_{ij}\epsilon_{ij}$ ، n_j امین مولفه از بردار عمود بر Γ به سمت خارج، δ_{1j} دلتای کرونکر^۳ می‌باشند. باید توجه داشت که رابطه (۴-۲۰) در دستگاه مختصات محلی که در نوک ترک تعریف می‌شود به نحوی که محور x_1 در امتداد ترک است.

برای حالت دینامیکی، رابطه‌ی (۴-۲۰) را نیشیوکا و آلتوری [۶۲] به صورت زیر پیشنهاد کرده‌اند

$$= \int (+) - \text{---} + \int (\ddot{\text{---}} - \text{---}) \text{---} \quad (۴-۲۱)$$

که در این رابطه ρ و n_k ، f_i ، t_i ، u_i به ترتیب بیانگر تغییر مکان، نیروی واحد سطح، نیروهای جسمی، بردار عمود بر محورهای مختصات و جرم واحد حجم می‌باشند. K و W به ترتیب چگالی انرژی کرنشی و جنبشی می‌باشند، که همانگونه قبلاً گفته شد، برای مواد ارتجاعی خطی $K = (1/2)\rho\dot{u}_i\dot{u}_i$ و $W = (1/2)\sigma_{ij}\epsilon_{ij}$ می‌باشند. مسیر انتگرال‌گیری و محدوده‌ی آن‌ها در شکل ۴-۸ مشخص شده است. در این محدوده‌ها، Γ ، Γ_ϵ و Γ_c به ترتیب نماینده‌ی مسیر میدان نزدیک به ترک، مسیر میدان دور از ترک و مسیر عبوری از سطوح ترک می‌باشند. همچنین V_Γ و V_ϵ ناحیه‌هایی هستند که توسط Γ و Γ_c محاط شده‌اند.

1 Contour
2 Strain energy density
3 Kronecker Delta



شکل ۴-۸. مختصات محلی در نوک ترک و مسیر بسته Γ و V_Γ سطح داخلی آن.

از آنجا که در بخش اول رابطه‌ی (۴-۲۱) انتگرال‌گیری بر روی خط است، محاسبات عددی کاملاً به مقادیر تنش و تغییر مکان نقاط گاوسی محدودی وابسته خواهد شد و با اندک تغییری که در مسیر پیش آید نقاطی که باید از آنها در انتگرال‌گیری استفاده شود جابجا خواهند شد و اگر چنانچه در یک و یا چند نقطه محدود خطایی به وجود آید در جواب نهایی خطاً کاملاً ظاهر خواهد شد و از طرف دیگر انتخاب مسیر کاملاً به وجود نقاط گاوسی وابسته خواهد شد. لذا بکار بردن آن در اجزای محدود مشکل‌ساز می‌باشد. برای رفع چنین مشکلی می‌توان به جای انتگرال‌گیری روی خط، انتگرال را بر روی سطح محاسبه کرد. برای دستیابی به این هدف به کمک قضیه دیورژانس^۱، کیم و پائولینو [۵۹] رابطه‌ی زیر را پیشنهاد کردند

$$= \int \dots + \int \dots \quad (۴-۲۲)$$

¹ Divergence theory

که در این رابطه i و j نمایانگر محورهای اصلی مختصات هستند. همچنین q تابع وزنی است که در نزدیکی میدان نوک ترک برابر صفر و در نزدیکی مسیر میدان دور برابر یک می‌باشد. در این تحقیق بنا بر توصیه چانگچون و همکاران [۶۰]، بر روی مسیر میدان دور $q=1$ و بر روی مسیر میدان نزدیک $q=0$ در نظر گرفته می‌شود و از آنجا برای گره‌های درون V مقدار $q=0$ فرض می‌گردد. در نتیجه گرادیان q در این المان‌ها برابر صفر بوده و فقط انتگرال بالا در المان‌هایی محاسبه می‌گردد که در محدوده‌ی $V - V$ قرار دارند. در روش ساده ذکر شده مقادیر تابع q را در نقاط گاوسی درون المان‌هایی که مقادیر گره‌ی آن تابع در آنها یکسان نیست می‌توان با استفاده از توابع شکل گره‌ی آن المان‌ها به نحو زیر تعیین کرد

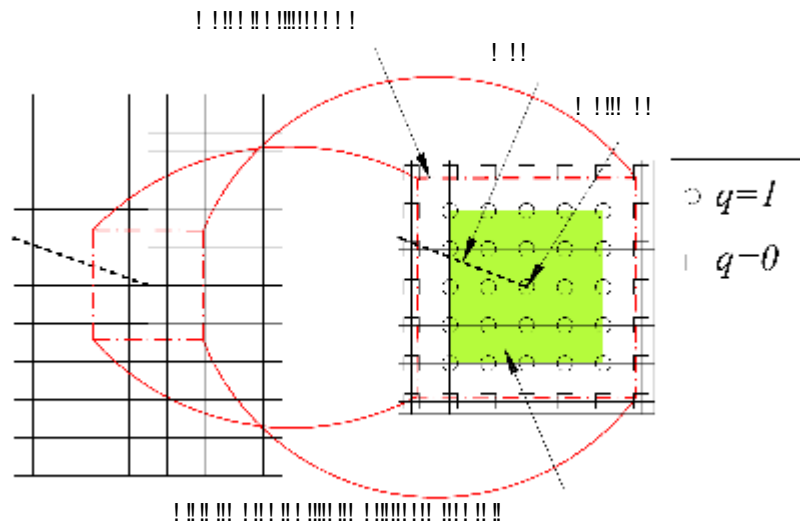
$$(\quad) = \sum (\quad) \quad (۲۳-۴)$$

که nn تعداد گره‌های المانی است که نقطه x درون آن قرار دارد و φ_i توابع شکلی آن المان است. نرخ آزاد شدن انرژی برای ترکی که مطابق شکل ۴-۸، به صورت دلخواه در راستائی که با محور X زاویه θ می‌سازد برابر است با [۶۱]:

$$= ' = \cos + \sin \quad (۱-۴)$$

و

$$= \rightarrow \int (+) - , \quad (۲-۴)$$



شکل ۴-۹. مقادیر گرهی تابع q در یک مش منظم اجزای محدود.

که C و G مولفه های سرعت ترک و نرخ آزاد شدن انرژی در راستای محورهای دستگاه مختصات کلی X هستند. T و W به ترتیب چگالی انرژی کرنشی و جنبشی می باشند، که همانگونه قبلاً گفته شد، برای مواد ارتجاعی خطی $W = (1/2)\sigma_{ij}\epsilon_{ij}$ و $T = (1/2)\rho\dot{u}_i\dot{u}_i$ می باشند. مولفه های انتگرال J که در [۶۲] بدست آمده اند عبارتند از:

$$\begin{aligned}
 J &= \int_V (\sigma_{ij}\epsilon_{ij} - \rho\dot{u}_i\dot{u}_i) dV \\
 &= \int_V (\sigma_{ij}\epsilon_{ij} - \rho\dot{u}_i\dot{u}_i) dV + \int_V \dots dV \quad (۳-۴)
 \end{aligned}$$

ثابت می شود از آنجائی که مولفه های دستگاه مختصات محلی و عمومی توسط ماتریس (θ) α به هم تبدیل می شوند، مولفه های J و J نیز توسط همان ماتریس قابل تبدیل به یکدیگر هستند:

$$J = \dots \quad (۴-۴)$$

و همینطور:

$$= \quad (5-4)$$

با جایگذاری مولفه های میدان تنش و تغییر مکان، که به تفصیل در بخش های قبل راجع به آنها

بحث شده، در ۴-۲۷، به روابط زیر بین شدت تنش دینامیکی و مولفه های انتگرال [می

رسیم]:[۶۴]

$$= -\{ \quad () + \quad () + \quad () \} \quad (6-4)$$

$$= - \quad ()$$

که در آن:

$$() = (1 -) / ()$$

$$() = (1 -) / ()$$

$$() = 1 /$$

$$() = \frac{()}{\{ () \}} \times \frac{()}{() ()} - 2(1 +) \quad (7-4)$$

از روابط ۴-۲۹ و ۴-۳۰ می توان نتیجه گرفت که همواره:

$$| | \geq \quad / \quad . | | \quad (8-4)$$

برای یک ترک ثابت داریم:

$$() = () = () = (+ 1) / 4$$

$$= \frac{(3 -)}{3 - 4} / (1 +) : \quad - \quad (9-4)$$

و نتیجتاً برای این حالت داریم:

$$| | \geq | | \quad (10-4)$$

۴-۵-۱- روشهای محاسبه شدت تنش دینامیکی در حالت بار گذاری کلی (مود مختلط)

از آنجائی که نتایج تحلیلی میدان تغییر مکان اطراف نوک ترک در بر دارنده پارامتر ضریب شدت

تنش می باشند، با حل دستگاه معادلات اجزا محدود عادی می توان ضریب شدت تنش دینامیکی را

نیز محاسبه کرد. در این پروسه ابتدا باید حل بدست آمده را به دستگاه مختصات محلی نوک ترک انتقال داد. سپس تغییر مکان لبه های ترک مرتبط با هر کدام از مودهای بارگذاری به صورت زیر بدست می آیند [۶۳]:

$$\begin{aligned} &= () - () \\ &= () - () \\ &= () - () \end{aligned} \quad (۱۱-۴)$$

که در آن $()^+$ و $()^-$ به ترتیب مقادیر مرتبط با بالا و پائین ترک هستند.

حال با استفاده از حل تحلیلی میدان تغییر مکان، ضریب شدت تنش دینامیکی از رابطه زیر قابل حصول خواهد بود:

$$= \frac{\bar{\sigma}}{(\sigma)} \bar{\sigma}. \quad (= , ,) \quad (۱۲-۴)$$

عموما دقت این روش بستگی زیادی به Γ یعنی فاصله گره ای که تغییر مکان ها در آن محاسبه شده اند نسبت به نوک ترک دارد. لذا باید با انتخاب چند گره و برون یابی بین نتایج حاصل از انتخاب نقاط مختلف، مبادرت به محاسبه این پارامتر برای $\Gamma = 0$ نمود. دقت برون یابی نیز خود بستگی به دقت نوع روش برون یابی دارد.

علاوه بر کاستی های این روش در دقت آن، به علت حجم عملیات زیادی که در این روش برای هر گام زمانی در مسائل دینامیکی وجود دارد، عملا از این پروسه در مسائل دینامیکی نمی توان استفاده کرد. لذا از روشهای دیگری برای بدست آوردن ضریب شدت تنش دینامیکی استفاده می شود. در اینجا به ذکر سه روش متفاوت در این زمینه می پردازیم [۶۴ و ۶۳]:

۴-۵-۱-۱- روش مستقیم^۱

از آنجائی که تعریف هندسه و بارگذاری ها در روشهایی مثل اجزا محدود در مختصات کلی آسان تر است، این روش در مورد مسائلی به کار می رود که در آن از مختصات کلی برای تشکیل ماتریس ها استفاده شده و جواب دستگاه معادلات نیز در دستگاه مختصات کلی بیان شده است.

با توجه با اینکه در حالت بارگذاری صفحه ای، می توان میدان بدست آمده را به تغییر مکان درون صفحه ای و خارج صفحه ای که به ترتیب متناسب با مود اول و دوم بارگذاری و مود سوم بارگذاری هستند تفکیک کرد، در بدست آوردن ضرایب شدت تنش دینامیکی نیز می توان به تفکیک عمل کرد. بدین ترتیب که ابتدا با به دست آوردن انتگرال \int توسط مقادیر σ ، σ و u و تبدیل آن به \int توسط رابطه ای مشابه با ۴-۲۴ مقدار K از رابطه زیر قابل محاسبه خواهد بود:

$$= \pm \frac{(\quad)}{(\quad)} \quad (۱۳-۴)$$

که علامت آن بستگی به علامت δ دارد.

برای مود درون صفحه ای انتگرالهای \int محاسبه شده در مختصات عمومی به انتگرالهای \int در مختصات محلی تبدیل می شوند سپس با استفاده از روابط ۴-۲۹، مقادیر K و K توسط روابط زیر قابل حصول هستند:

$$= \pm \left(\frac{(\quad)}{(\quad)} \pm [(\quad) - (\quad / \quad)(\quad)] / \quad \right) \quad (۱۴-۴)$$

$$= \pm \left(\frac{(\quad)}{(\quad)} \pm [(\quad) - (\quad / \quad)(\quad)] / \quad \right) \quad (۱۵-۴)$$

K مثبت است اگر $\delta > 0$ و K مثبت است اگر $\delta > 0$.

که در آن علامت \pm داخل کروشه مثبت است اگر:

¹ Direct Method

$$| / | \geq | / | \quad (16-4)$$

ومنفی است اگر:

$$| / | < | / | \quad (17-4)$$

۴-۵-۱-۲- روش تجزیه به حالت متقارن و پاد متقارن^۱

ایشیکاوا^۲ [۶۵] اولین بار این روش را برای محاسبه ضریب شدت تنش استاتیکی ارائه نمود. در این روش حل بدست آمده برای میدان تغییر مکان، تنش و کرنش به دو قسمت متقارن و پاد متقارن نسبت به محور راستای ترک، تقسیم می شود. همچنین از این روش برای محاسبه شدت تنش دینامیکی برای ترک ثابت در [۶۶] نیز استفاده شده است که در [۶۴] به تفصیل در مورد آن بحث شده. در اینجا تعمیم یافته این روش را برای محاسبه شدت تنش دینامیکی ترک در حال گسترش توضیح می دهیم.

همان طور که در روش قبل گفته شد K را می توان به صورت جداگانه و با استفاده از ۳-۳۶ بدست آورد، لذا در اینجا فقط به نحوه محاسبه مقادیر K و K می پردازیم. ابتدا میدان تغییر مکان بدست آمده از اجزای محدود را به دو قسمت متقارن و پاد متقارن به صورت زیر تقسیم کنیم:

$$\{ \} = \{ + \} = - \begin{matrix} + \\ + \end{matrix} \quad + - \quad - \quad (18-4)$$

که در آن:

$$(,) = (, -) \quad (19-4)$$

1 Decomposition Method

2 Ishikawa

در این صورت میدان تنش و کرنش به صورت ۴-۳۴ قابل بیان خواهند بود:

$$\begin{aligned} &= + \\ &= + \end{aligned} \quad (20-4)$$

با جایگذاری ۴-۴۰، ۴-۴۲ و ۴-۴۳ در ۴-۲۶ خواهیم داشت:

$$= + + + \quad (21-4)$$

که در آن $(M, N = I, II)$ J برابر است با:

$$= \rightarrow \int (+) - \text{---} \quad (22-4)$$

$$= - \quad (23-4)$$

$$= - \cdot \cdot \cdot \quad (24-4)$$

جایگذاری میدان های بدست آمده از حل تحلیلی در ۴-۴۵ منتهی خواهد شد به:

$$\begin{aligned} &= = 0 \\ &= = 0 \end{aligned} \quad (25-4)$$

و

$$= = \frac{(\quad)}{\quad} \quad (26-4)$$

$$= = \frac{(\quad)}{\quad} \quad (27-4)$$

$$+ = \text{---} (\quad) \quad (28-4)$$

در نتیجه:

$$= + \quad (29-4)$$

$$= + \quad (30-4)$$

نتیجتاً ضریب شدت تنش دینامیکی با استفاده از انتگرال J به صورت زیر قابل محاسبه خواهد بود:

$$= \pm \frac{\dots}{(\dots)} \quad (= ,) \quad (31-4)$$

$$= \int (+) - \dots + \int - \dots + \dots \quad (32-4)$$

البته باید توجه داشت که در این حالت روی Γ خواهیم داشت: $n = 0$.

۴-۱-۳- روش جداسازی متغیرها^۱:

توسط التوری^۲ و نیشیوکا^۳ [۶۳] ثابت شد که برای بکارگیری روش مستقیم باید از المانهائی استفاده شود که جنس میدان تکینه تغییر مکان را در بر بگیرند. به همین خاطر استفاده از المانهای عادی که میدان تنش تکینه نوک ترک را به بدست نمی دهند باعث ظهور خطا در محاسبات خواهد شد. برای غلبه بر چنین مشکلی روشی بوجود آمد که در اینجا اجمالاً به توضیح آن که توسط نیشیوکا ، موراکامی^۴ و تاکاموتو^۵ [۶۴] بیان شده می پردازیم:

رفتار مجانبی چگالی انرژی کرنشی و انرژی دینامیکی روی مرز Γ در نزدیکی نوک ترک را به

صورت زیر در نظر می گیریم:

1 -Component Separation
2 -Alturi
3 -Nishioka
4 -Morakami
5 Takemoto

$$(\quad + \quad) - (\quad + \quad) = \sqrt{\quad} + (\quad) + \quad / \quad + \dots \quad (33-4)$$

که در آن ثابت A بستگی به شدت تنش دینامیکی و سرعت ترک دارد و برای مود خالص I برابر صفر می باشد. بحث های متعددی راجع به این ثابت در مرجع [67] انجام شده.

حال فاصله مشخصه $0 < \delta < A/\sqrt{r}$ را طوری در نظر می گیریم که ترم A/\sqrt{r} در این فاصله ترم غالب باشد. این فاصله طوری می باشد که می توان ترک را در آن خط مستقیمی در نظر گرفت که زاویه نرمال بر ترک در طول آن ثابت است. در این حالت انتگرال J به صورت زیر قابل بازنویسی می باشد:

$$= \int (\quad + \quad) - \quad , \quad + \int \quad , \quad - \quad , \quad (34-4)$$

$$= \int [(\quad + \quad) - (\quad + \quad)] \quad (35-4)$$

که مسیر Γ برابر $\delta - \Gamma$ است که در واقع ناحیه نوک ترک را در بر ندارد.

اگر از المانهای غیر تکینه برای مدلسازی نوک ترک استفاده شود، مقدار انتگرال J (و همچنین J) به صورت دقیق قابل محاسبه نخواهد بود ولی در هر صورت می توان انتظار داشت که مقدار J از این راه حل حتی با استفاده از محاسبه انتگرالهای J در مختصات کلی و استفاده از تبدیل 4-59، به صورت دقیق قابل حصول باشد:

$$= = \cos + \sin \quad (36-4)$$

ولی با تعریف نسبت گاما به صورت 4-60 و محاسبه آن از طریق جایگذاری 4-29 در 4-60، می توان مقدار J را نیز به صورت دقیق تر بدست آورد.

$$= / \quad (37-4)$$

که در آن:

$$= \frac{-2}{(\quad / + \quad)} \quad (38-4)$$

$$= \quad / \quad = \quad 1 / \quad 2 \quad (39-4)$$

با استفاده از ۶۰-۴ تا ۶۲-۴ و جایگذاری آنها در فرمولهای ۳۷-۳ و ۳۸-۴ که در روش مستقیم

ارائه شد می توان K و K را به صورت زیر بیان کرد:

$$= \frac{\quad}{\quad} / \quad (40-4)$$

$$= \frac{\quad}{\quad} / \quad (41-4)$$

دیده می شود که علامت K و K به صورت اتوماتیک از δ و δ بدست خواهد آمد.

شایان ذکر است با اینکه تمامی انتگرالهای مورد استفاده در این بخش همگی از لحاظ فرمولی به

صورت انتگرالهای روی خط بیان شده اند، و با توجه به مشکلات استفاده از این نوع انتگرالها در

روشهای عددی مثل اجزاء محدود، می توان همگی آنها را همانند آنچه در بخش قبل گفته شد^۱ تبدیل

به انتگرالهای روی سطح نموده و از نتایج آنها در هر پروسه استفاده کرد.

دست آخر لازم به ذکر است که در مثالهای عددی انجام شده در این تحقیق از روش جدا سازی

متغیرها برای محاسبه ضریب شدت تنش دینامیکی استفاده به عمل آمده.

1-EDI(Equivalent Domain Integral)

فصل ۵

نمونه مثالهای عددی

۱-۵- مسائل دینامیکی برای ترک ثابت

در این بخش به بررسی مثال‌هایی از تحلیل دینامیکی ترک می‌پردازیم که در آن‌ها پایداری ترک بررسی می‌شود ولی رشد ترک در نظر گرفته نمی‌شود. نتایج مثال‌های حل شده در این بخش با پاسخ‌های بدست آمده از سایر روش‌ها مقایسه می‌گردد و تأثیر شرایط مختلف اجزای محدود مورد بررسی قرار می‌گیرد.

همانطور که در بخش‌های قبل ذکر شد برای این گونه مسائل از توابع غنی سازی استاتیکی برای ارتقا حل استفاده می‌شود. همچنین روش نیومارک را بعنوان روش انتگرال گیری در زمان با $\beta = 1/4$ و $\alpha = 1/2$ در نظر می‌گیریم.

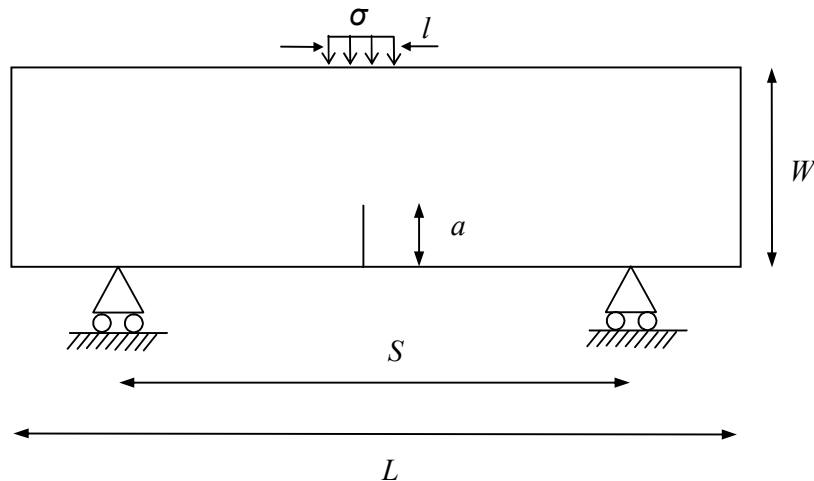
در مورد هر مثال نتایج حاصله با نتایج منابع دیگر و حل‌های دقیق مقایسه شده است.

۱-۱-۵- تیر با ترکی در کناره آن تحت اثر بار متمرکز (آزمایش خمش سه نقطه‌ای)

در این مثال به بررسی آزمایش خمش سه نقطه‌ای تیرهای همسانگرد می‌پردازیم که تحت بار پله-ای مانند شکل ۱-۵ قرار دارند.

ارتفاع تیر برابر ۰/۰۱ m، طول آن ۰/۰۵۵ m، طول دهانه برابر ۰/۰۴ m و ضخامت آن ۱/۰ m است و طول ترک برابر ۰/۰۰۵ m در نظر گرفته شده است. مشخصات مصالح بکار رفته در تیر به شرح زیر است :

$$E = 200 \text{ GPa}, \quad \nu = 0.3, \quad \rho = 7860 \text{ kg/m}$$



شکل ۵-۱. شکل هندسی و نحوه ی بارگذاری تیر

همچنین بزرگی بار اعمالی به تیر برابر ۱ N می باشد که به صورت یک بار خطی به طول l و بزرگی l/l در مدل اجزای محدود اعمال می گردد.

نتایج تحلیلی بدست آمده توسط کیشیموتو^۱ و همکاران [۶۸] برای مود اول ضرایب شدت تنش استاتیکی به صورت زیر می باشد:

$$K_I^{static} = \frac{6.S.F}{4BW^2} \sqrt{\pi a} \psi \frac{a}{W} \quad (1-5)$$

که در آن F بزرگی بار متمرکز بوده و تابع ψ به صورت زیر تعریف می گردد:

$$\psi = 1.090 - 1.735 \frac{a}{W} + 8.2 \left(\frac{a}{W}\right)^2 - 14.18 \left(\frac{a}{W}\right)^3 + 14.57 \left(\frac{a}{W}\right)^4$$

^۱ Kishimoto

که در اینصورت برای مشخصات داده شده خواهیم داشت:

$$K_I^{static} = 106.0733 \text{ MPa}\sqrt{\text{m}}$$

از آنجائی که ترک در وسط تیر قرار دارد و هندسه مسئله یعنی محل بار گذاری و تکیه گاه ها طوری هستند که نمی توان از مش بندی یکنواخت استفاده کرد برای تحلیل از سه نوع مش بندی استفاده شده که اولی و سومی تقریباً یکنواخت و دومی غیر یکنواخت بوده و مشخصات آنها مطابق جدول ۶-۱ می باشد. همچنین برای ارزیابی تاثیر گام زمانی، از سه گام زمانی مختلف استفاده شده که عبارتند از ۵، ۲/۵ و ۸ میکرو ثانیه و کل زمان مدل سازی برابر ۲۶۵ میکرو ثانیه می باشد. در مورد برآورد انتگرال نیز، نسبت شعاع مسیر انتگرال گیری به طول ترک، $\frac{r}{l}$ ، برابر ۰/۳ انتخاب شده است.

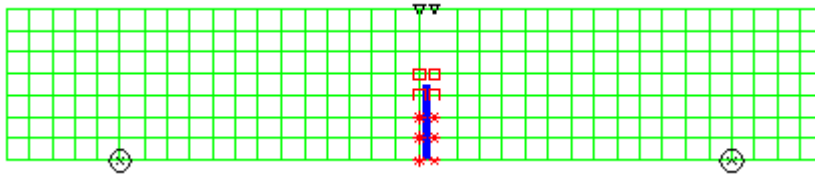
برای انتگرال گیری عددی، از قانون گاوسی 2×2 برای المان های معمولی استفاده شده، در حالیکه برای المانهای حاوی ترک از چهار زیر مثلث با سه نقطه انتگرال گیری و برای المانهای حاوی نوک ترک از دوازده زیر مثلث با سه نقطه انتگرال گیری استفاده به عمل آمده است. کل زمان مدل سازی برابر ۲۶۵ میکرو ثانیه می باشد.

آنگونه که در [۶۹] نشان داده شده، انتظار می رود جواب دینامیکی با ضریب ۲ حول جواب استاتیکی مسئله نوسان داشته باشد.

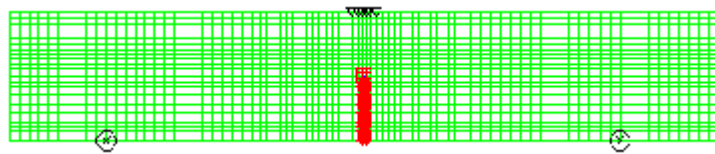
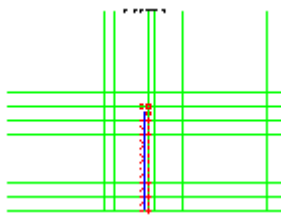
همانگونه که در شکل ۵-۲ دیده می شود، جواب های دینامیکی مسئله به دور جواب استاتیکی نوسان می کند ولی هر چه مش بندی ریز تر و یکنواخت تر می شود جواب ها دقیق تر خواهند شد. در ادامه کنتورهای تنش و تغییر مکان برای حالت استاتیکی و نیز شکل تغییر یافته تیر با بزرگ نمائی به همراه کنتورهای تنش و تغییر مکان در زمان های مختلف آورده شده اند.

!!!!!! !!!!!!! !!! !!! !!!!! !!!!! ! :!-! !!!!!

شماره مش بندی	تعداد المان ها	ترتیب المان ها در جهت X		ترتیب المان ها در جهت Y	
		بازه (mm)	تعداد المان	بازه (mm)	تعداد المان
۱	۳۸×۷ (۲۹۶)	۰ - ۲۷	۱۸	۰ - ۱۰	۸
		۲۷ - ۲۸	۱		
		۲۸ - ۵۵	۱۸		

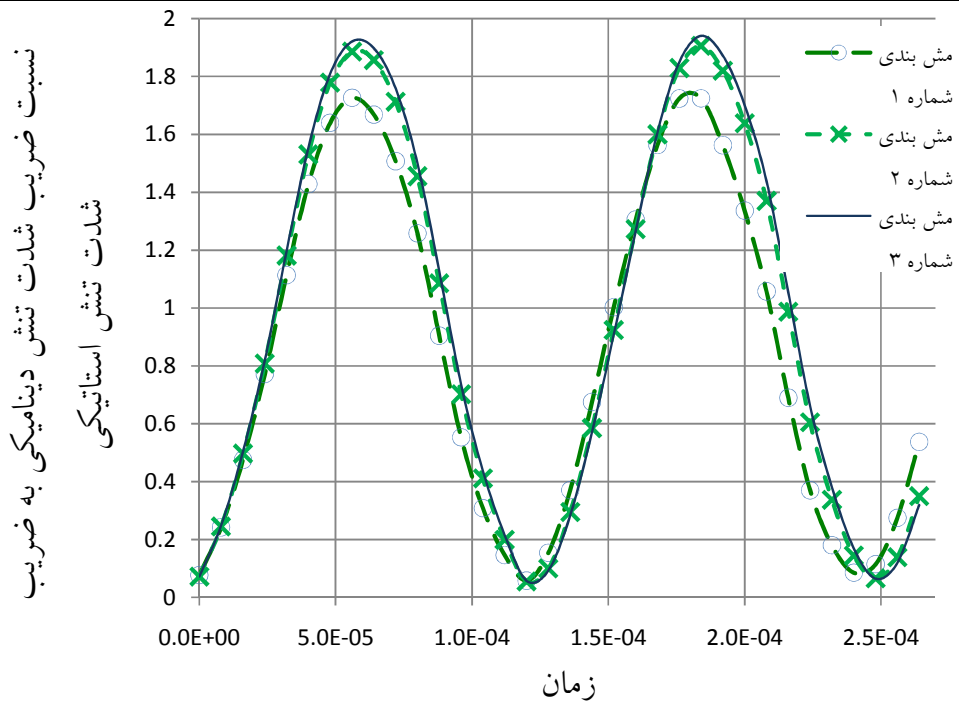
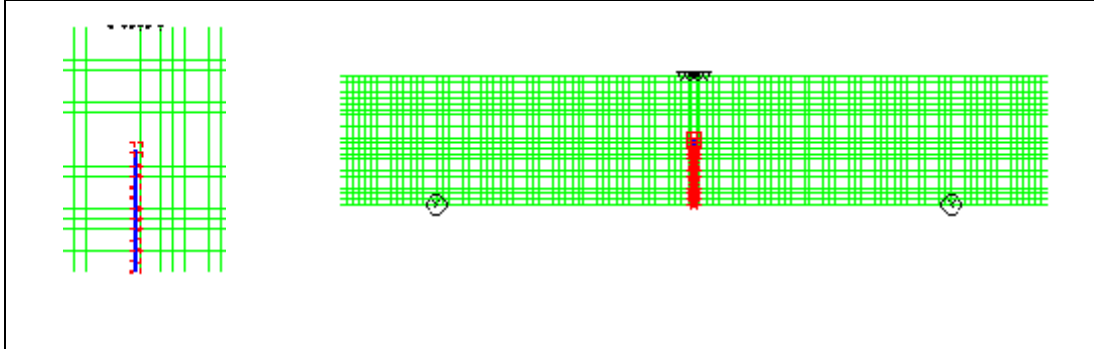


۲	۸۵×۲۶ (۲۲۱۰)	۰ - ۱۹.۵	۲۶	۰ - ۷	۲۰
		۱۹.۵ - ۲۷	۱۵		
		۲۷ - ۲۸	۳		
		۲۸ - ۴۷.۵	۱۵	۷ - ۱۰	۶
		۴۷.۵ - ۵۵	۲۶		

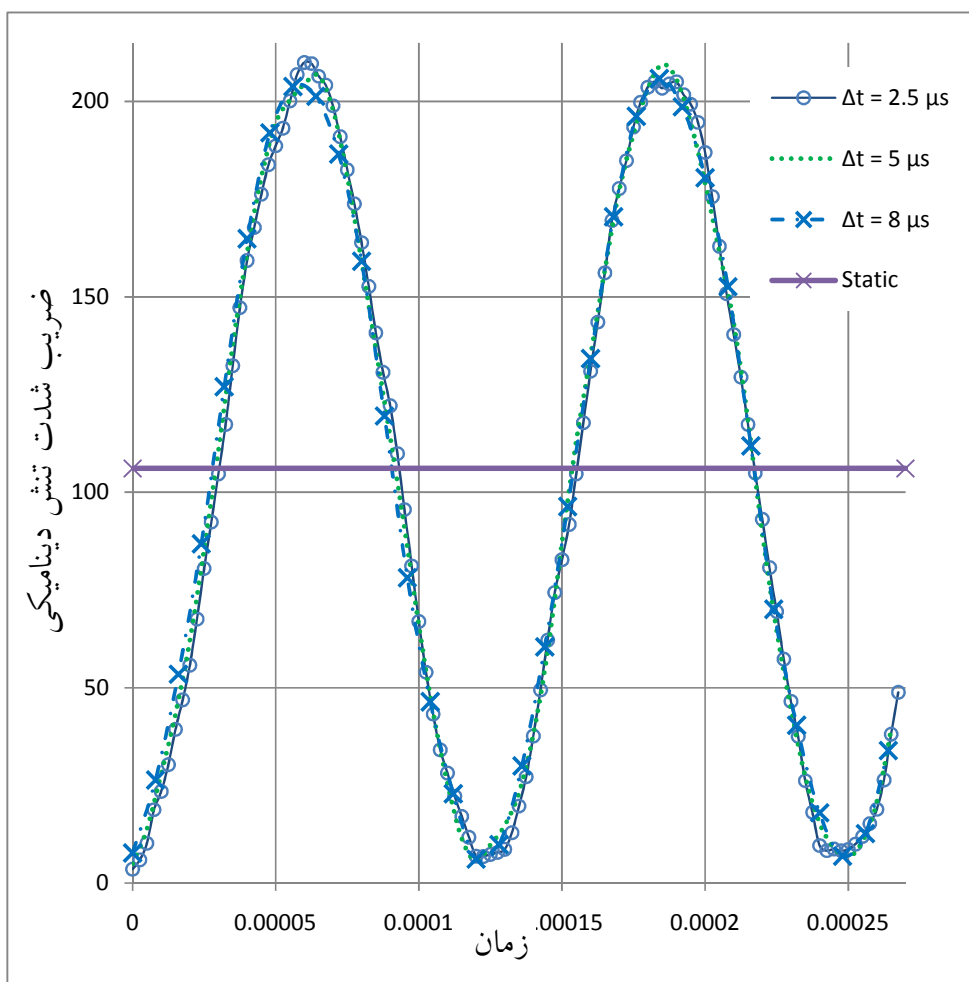


شماره مش بندی	تعداد المان ها	ترتیب المان ها در جهت X		ترتیب المان ها در جهت Y	
		بازه (mm)	تعداد المان	بازه (mm)	تعداد المان

۳	۱۱۱×۲۳ (۲۵۵۳)	۰ - ۲۷	۵۴	۰ - ۱۰	۲۳
		۲۷ - ۲۸	۳		
		۲۸ - ۵۵	۵۴		



شکل ۵-۲. تغییرات نسبت ضریب شدت تنش دینامیکی به ضریب شدت تنش استاتیکی در برابر زمان برای



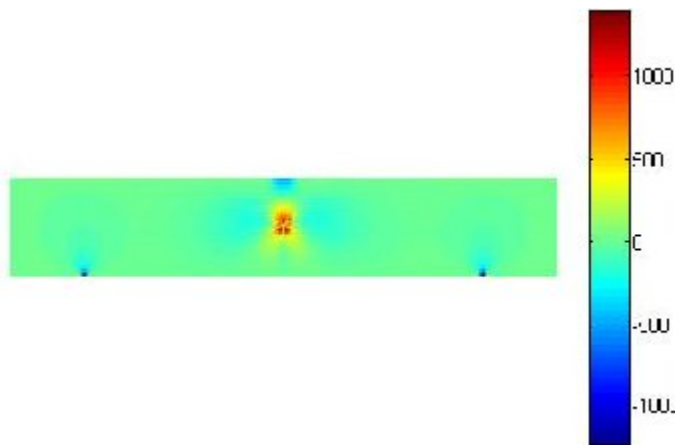
شکل ۵-۳. تغییرات نسبت ضرب شدت تنش دینامیکی به ضرب شدت تنش استاتیکی برای مش بندی شماره ۳



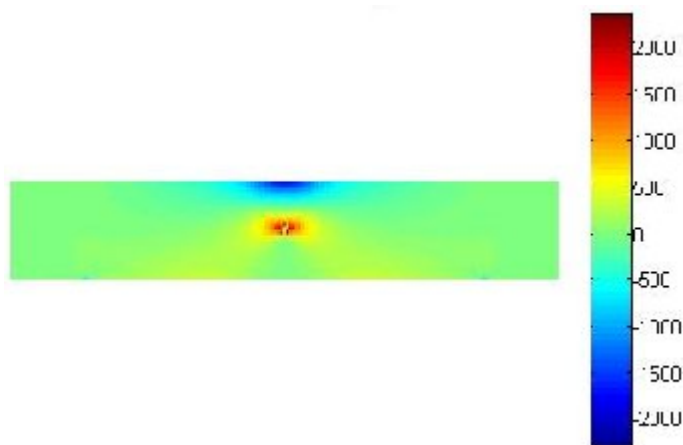
ب) کنتور تغییر مکان در حالت استاتیکی



الف) شکل تغییر یافته در حالت استاتیکی



پ) کنتور تنش σ در حالت استاتیکی (Mpa)



ت) کنتور تنش σ در حالت استاتیکی (Mpa)

شکل ۵-۴. کنتورهای تنش و تغییر مکان برای بارگذاری استاتیکی



= 2.5



= 50



= 100



= 150

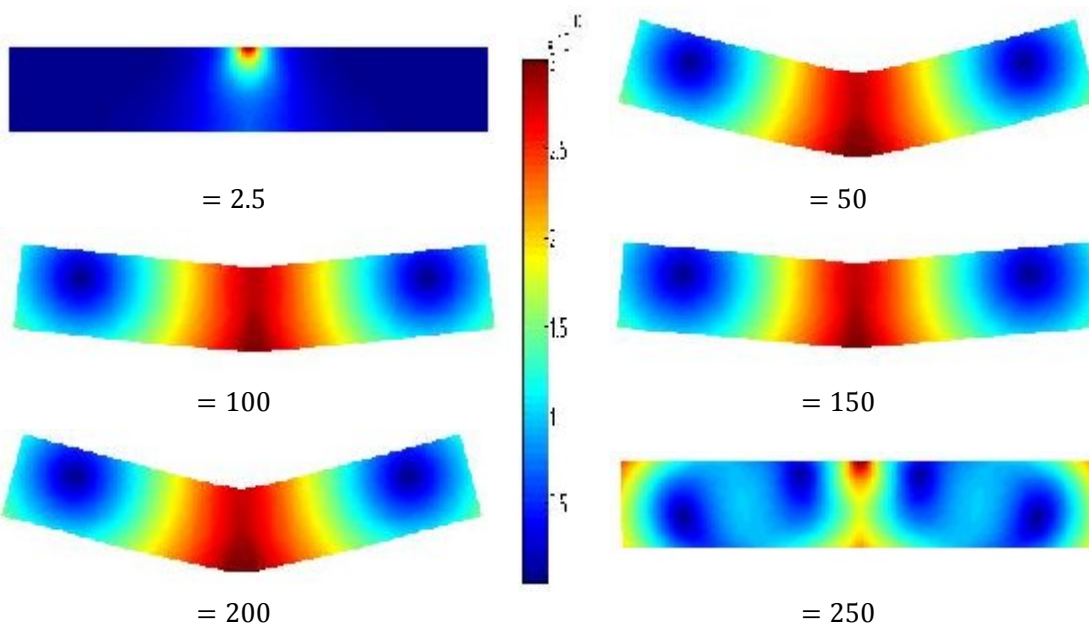


= 200

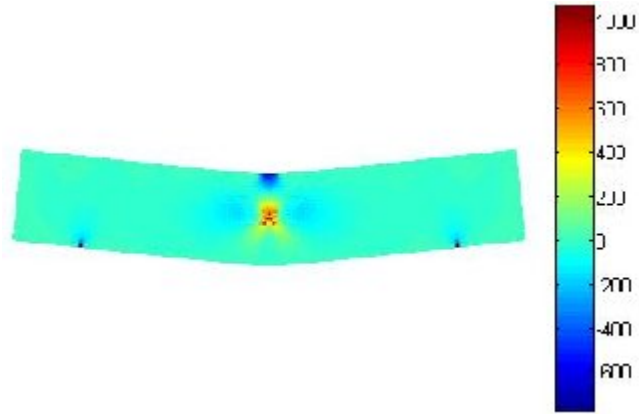


= 250

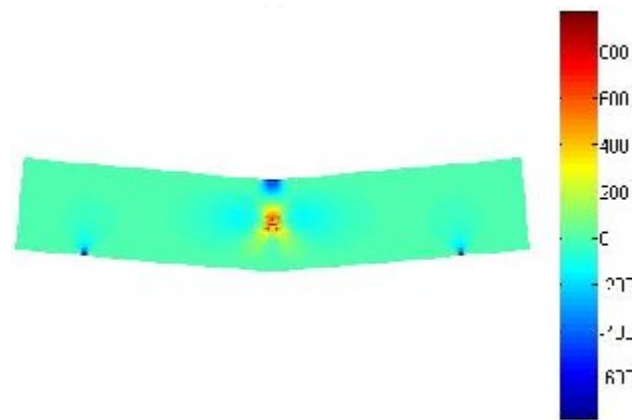
شکل ۵-۵. تغییر شکل تیر در زمانهای مختلف، با بزرگنمایی ۲۰



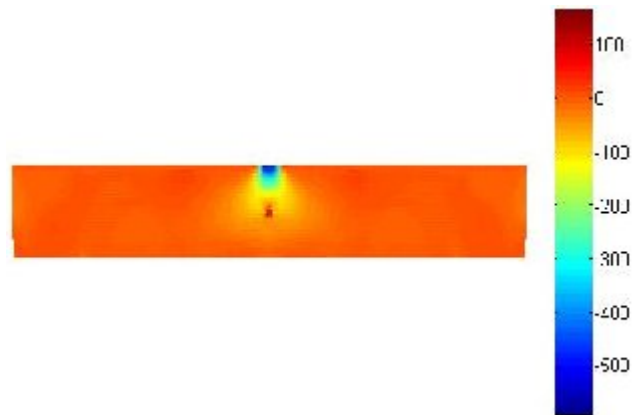
شکل ۵-۶. کنتور تغییر شکل تیر در زمانهای مختلف، با بزرگنمایی ۲۰



= 50

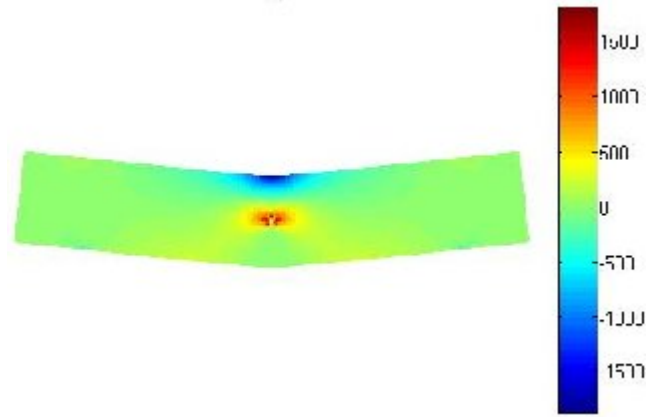


= 150

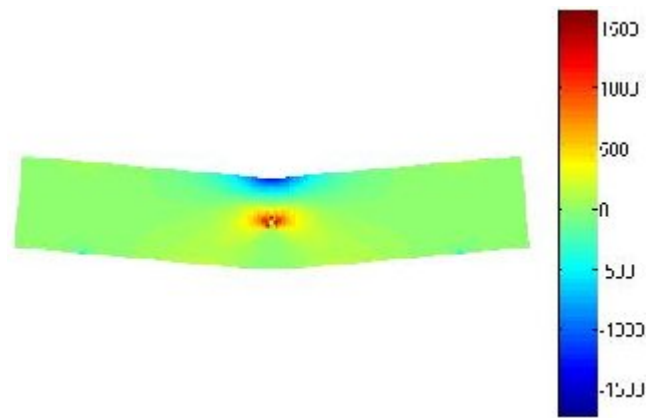


= 250

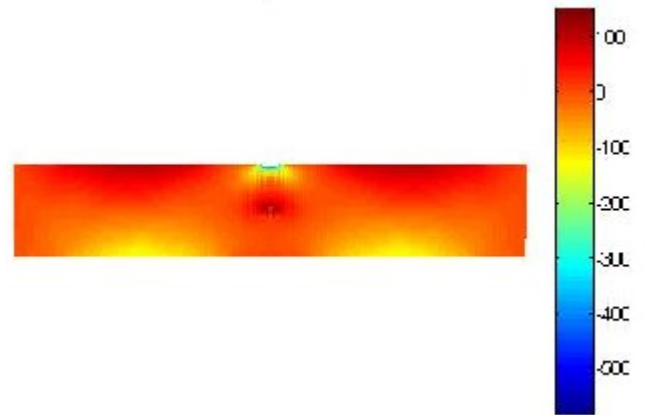
شکل ۵-۷. کنتور تنش تیر در زمانهای مختلف (Mpa)، با بزرگنمایی ۲۰



= 50



= 150



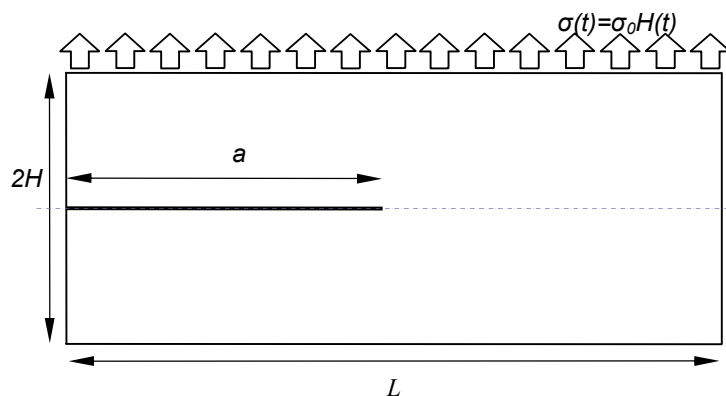
= 250

شکل ۵-۸. کنتور تنش تیر در زمانهای مختلف (MPa). با بزرگنمایی ۲۰

۵-۱-۲- ورق نیمه نامحدود با ترکی در کناره آن زیر اثر تنش کششی دینامیکی

بعنوان مثالی دیگر ترک نیمه نامحدودی را در صفحه نامحدود، که حل تحلیلی آن در [۱۷] توسط فراند^۱ ارائه شده، در نظر می گیریم. از آنجائی که برای مدلسازی باید هندسه محدودی را در نظر بگیریم، باید شرایط مرزهای بی نهایت را به طور ضمنی در تحلیل وارد کنیم. از اینرو ورقی با ابعاد 10×4 را با ترک لبه ای به طول ۵ همانند شکل ۵-۹ در نظر می گیریم. تنش حاصل از بار پله ای کششی با برخورد به لبه پائین ورق منعکس شده و دوباره به سمت ترک حرکت خواهد کرد، ولی در واقعیت به علت نامحدود بودن ورق این اتفاق نمی افتد لذا باید زمان مدلسازی را به $t = 3\tau$ محدود کنیم، که τ زمان رسیدن موج به لبه ترک برای اولین بار است و برابر است با $\tau = H/C$ که C برابر سرعت موج طولی در محیط می باشد.

برای مدلسازی این مسئله از مش 60×30 استفاده شده و نتایج حاصل از گام های زمانی مختلف



شکل ۵-۹. هندسه مسئله

در نظر گرفته شده است. همچنین نسبت های مختلفی از شعاع دامنه انتگرال گیری برای انتگرال J به طول ترک برای محاسبه انتگرال J ، / ، آزمایش گردیده است.

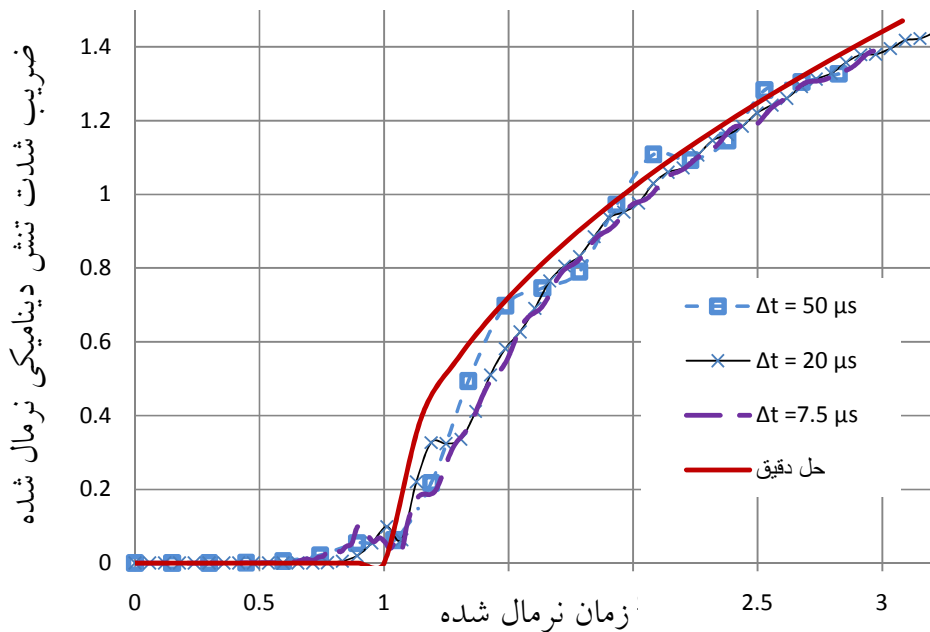
ضریب شدت تنش دینامیکی بدست آمده برای این مسئله که توسط فراند ارائه شده به صورت زیر است:

$$(\sigma, \tau) = \frac{\overline{(\quad)(\quad)}}{\quad}$$

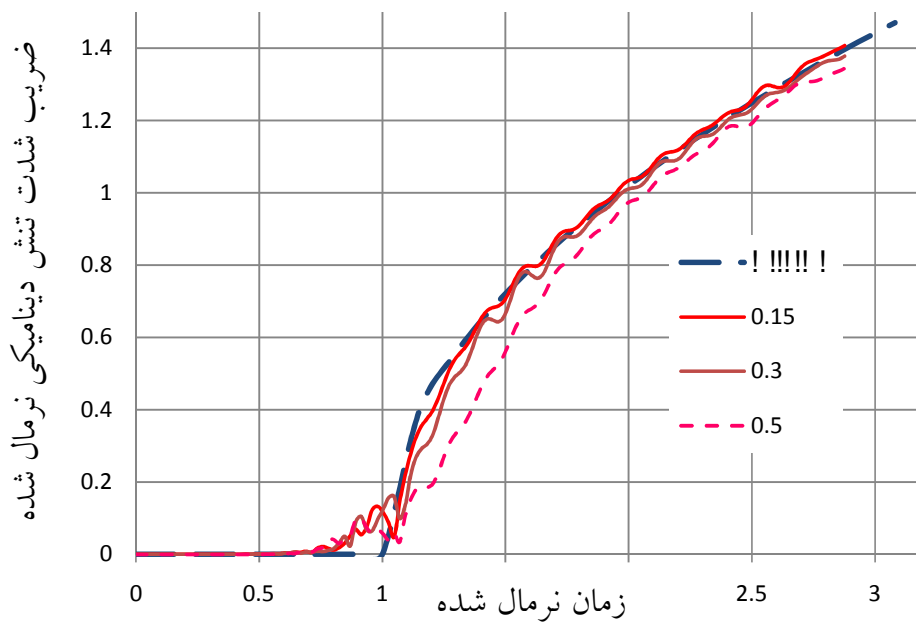
که در آن τ مطابق آنچه گفته شد زمان رسیدن موج طولی به نوک ترک است.

در شکل های زیر نتایج نرمال شده حاصل از تحلیل عددی توسط اجزای محدود توسعه یافته با حل دقیق مقایسه شده اند. این شکل ها تغییرات ضریب شدت تنش دینامیکی نرمال شده توسط ضریب $\sigma \sqrt{H}$ را در مقابل زمان نرمال شده توسط τ نشان می دهد. همانطور که دیده می شود حل های عددی حاصله و حل تحلیلی به خوبی با یکدیگر مطابقت دارند.

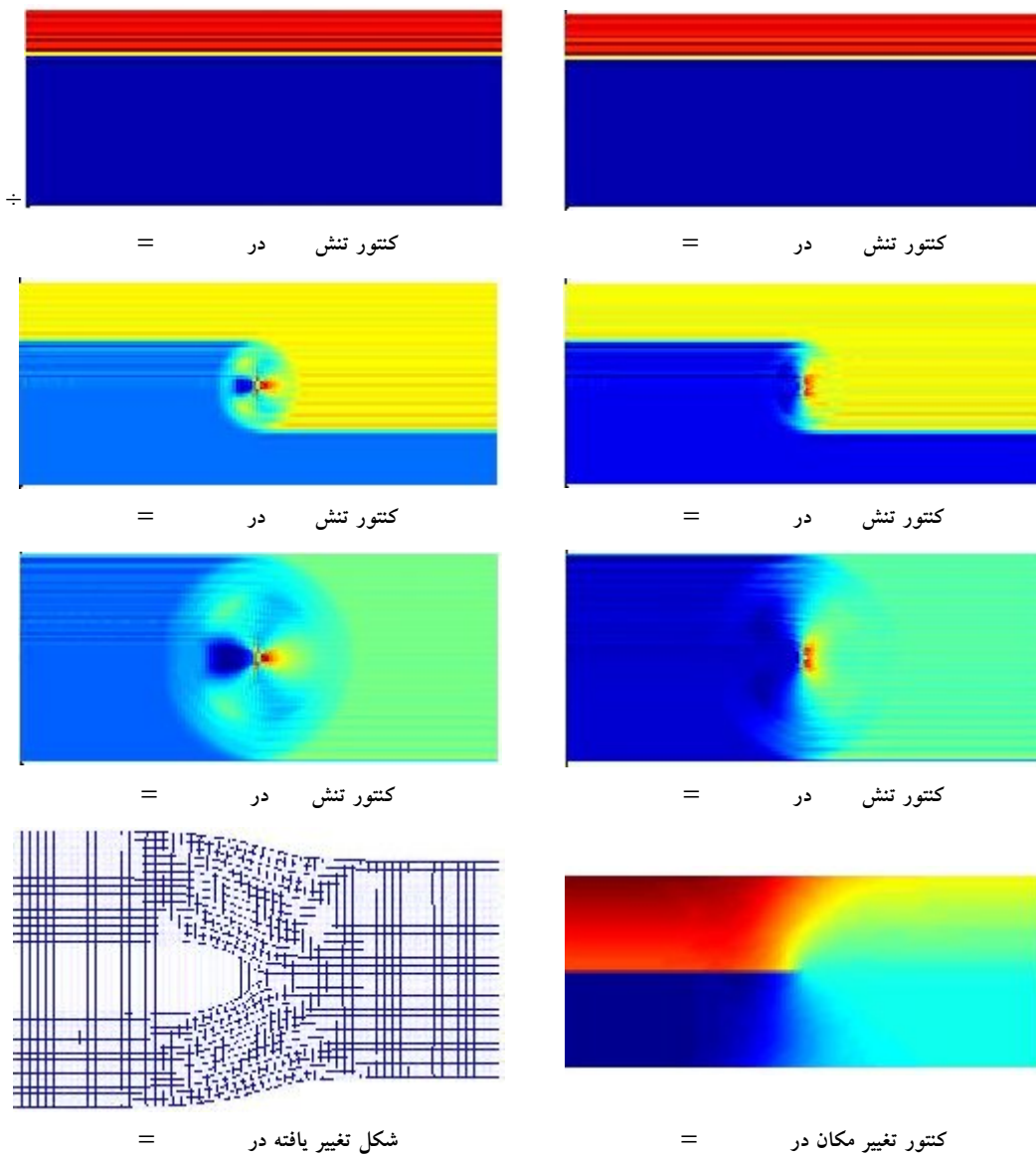
مشاهده می شود، با کوچکتر شدن شعاع دامنه انتگرال گیری در محاسبه انتگرال J ، جواب ها بیش از پیش به جواب تحلیلی نزدیک تر می شوند. این مسئله میتواند به این امر بستگی داشته باشد که در نزدیکی نوک ترک میدان پیچیده ای وجود دارد که متشکل از میدان موج ورودی و انعکاسی می باشد، در این حالت با کوچکتر در نظر گرفتن شعاع دامنه انتگرال گیری عملاً از پیچیدگی های میدان موجود کاسته خواهد شد و این امر موجب بهتر شدن نتایج خواهد شد. البته در همه موارد این بحث صادق نمی باشد، و اساساً محدوده انتگرال J برای اجتناب از محدوده غیر خطی نوک ترک بزرگتر در نظر گرفته می شود.



شکل ۵-۱۰. تاثیر اندازه گام های زمانی برای نسبت $\Delta t = \dots$ /



شکل ۵-۱۱. تاثیر شعاع دامنه انتگرال گیری در محاسبه انتگرال $\Delta = \dots$.



شکل ۵-۱۲. کنتورهای تنش های و قبل، بعد و در هنگام برخورد موج صفحه ای به ترک به همراه کنتور تغییر مکان و

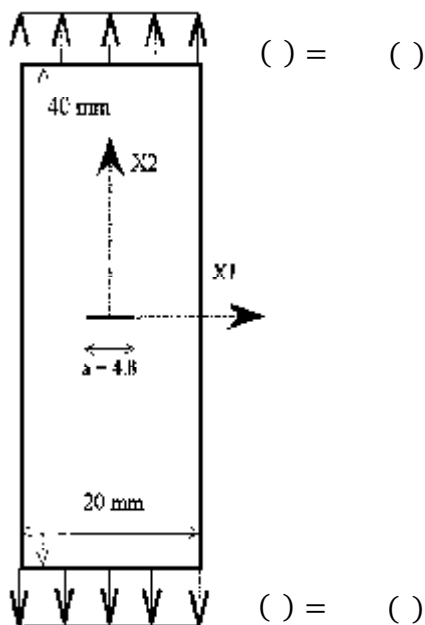
هندسه تغییر یافته ترک در گام زمانی آخر

۳-۱-۵- یک ورق همسانگرد با ترکی در مرکز ورق، تحت اثر تنش‌های کششی

در این مثال ترکی به موازات محور XI قرار دارد. در شکل ۱۳-۵ هندسه و شرایط مرزی یک صفحه ترک خورده زیر اثر تنش یکنواخت نشان داده شده است. ابعاد ورق ترک خورده به گونه‌ای است که $h = 20 \text{ mm}$ و $2a = 40 \text{ mm}$ می‌باشد. این ورقه تحت بارگذاری کششی به بزرگی 0.4 GPa می‌باشد که به صورت تابع پله‌ای نسبت به زمان در دو سمت بالا و پایین آن اعمال می‌گردد. مشخصات مصالح بکار رفته در مسئله به صورت زیر می‌باشد.

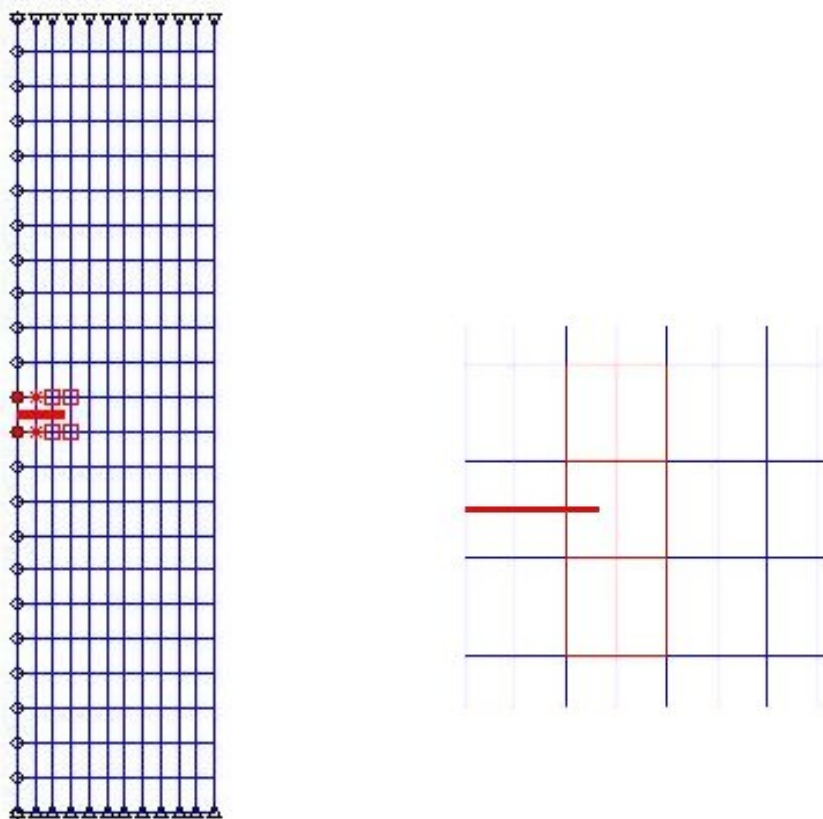
$$E = 200 \text{ Gpa}, \quad G = 76.9 \text{ Gpa}, \quad \nu = 0.3, \quad \rho = 5000 \text{ kg/m}^3$$

با توجه به هندسه و بارگذاری متقارن مسئله، می‌توان فقط نیمه سمت راست قطعه را در نظر گرفت. این امر با جلوگیری از تغییر مکان لبه سمت چپ قطعه حاصل شده است.



شکل ۱۳-۵. هندسه مسئله

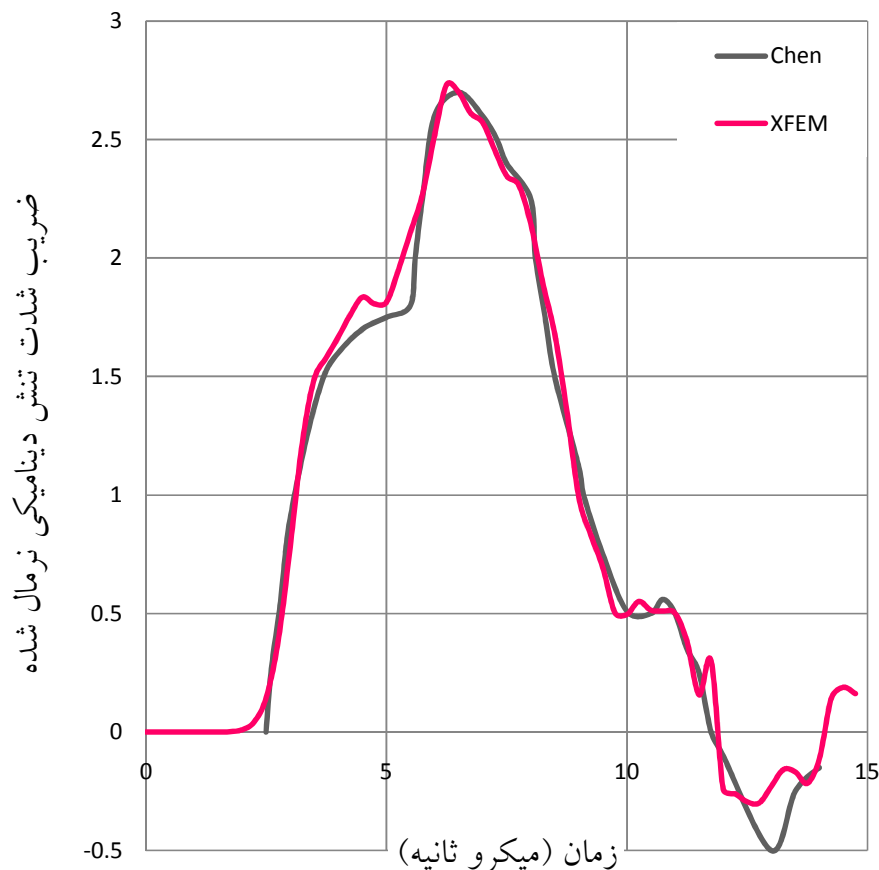
گام‌های زمانی برابر $\Delta t = 0.25 \mu s$ در نظر گرفته شده‌اند و نسبت شعاع مسیر انتگرال‌گیری به طول ترک، r/a ، برابر $0/4$ انتخاب شده است. برای ساختن مدل اجزای محدود مساله، با توجه به هندسه و بارگذاری متقارن مسئله، می‌توان فقط نیمه سمت راست قطعه را در برای مدل‌سازی در نظر گرفت. این امر با جلوگیری از تغییر مکان لبه سمت چپ قطعه حاصل شده است. برای مدل‌سازی از یک مش بندی با 11×23 المان چهار گرهی، مطابق شکل ۲-۵، استفاده شده است.



شکل ۲-۵. مش بندی و المان‌های وارد شده در محاسبات انتگرال J

پس از تحلیل ضریب شدت تنش با استفاده از روش جداسازی متغیرها محاسبه گشته و مقادیر بدست آمده با نتایج بدست آمده توسط چن [۷۰]، در شکل ۵-۱۵ مقایسه شده است. مشاهده می‌شود

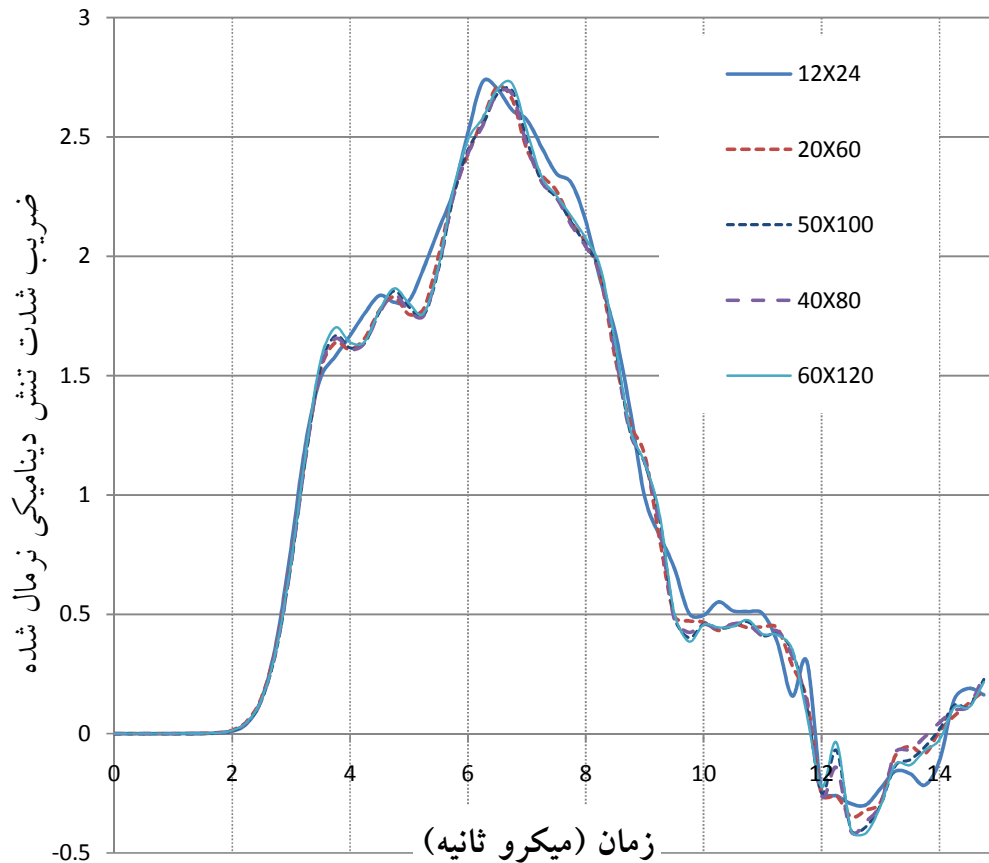
نتایج بدست آمده از دو روش همخوانی بسیار قابل قبولی دارد و اختلاف موجود را نیز می توان به روش عددی و محاسبه ضرایب شدت تنش بکار رفته در این روش ها دانست. از مزایای روش بکاررفته در این تحقیق می توان به کم بودن تعداد المانها در مقایسه با [۷۰] اشاره کرد.



شکل ۵-۱۵. ضریب شدت تنش دینامیکی نرمال شده توسط $\sqrt{(\)}$ /

برای مقایسه تأثیر مش بندی بر جواب ها از مش های ۱۲×۲۴ ، ۲۰×۶۰ ، ۴۰×۸۰ ، ۵۰×۱۰۰ ، و ۶۰×۱۲۰ برای حل مسئله استفاده می گردد. نتایج حاصل در شکل ۵-۱۶ نشان دهنده حداکثر ۴٪

اختلاف بین جواب‌های موجود می‌باشد. این اختلاف ناچیز نشان دهنده‌ی کاربرد مناسب اجزای محدود توسعه یافته با انواع مش‌ها می‌باشد.

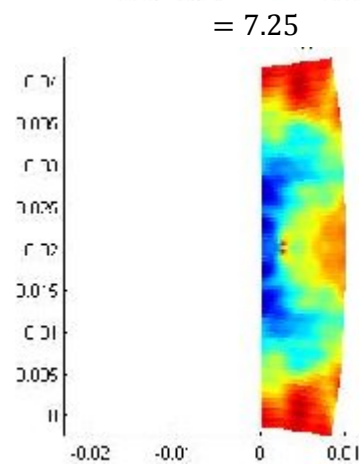
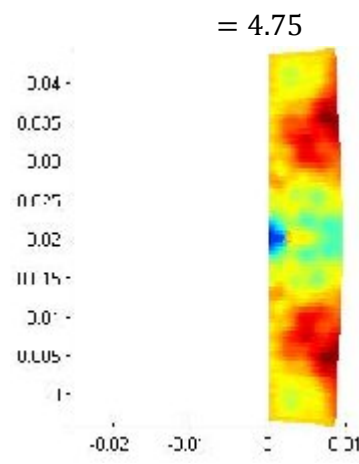
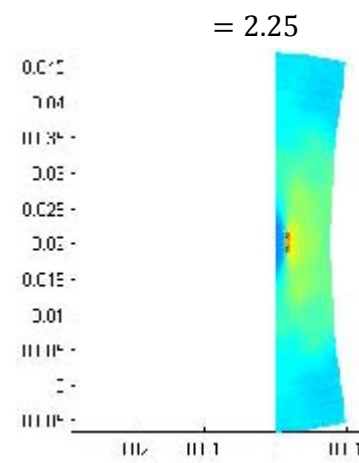
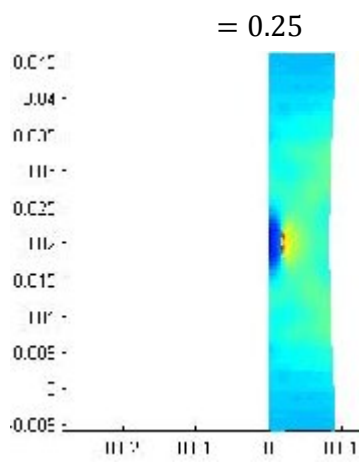
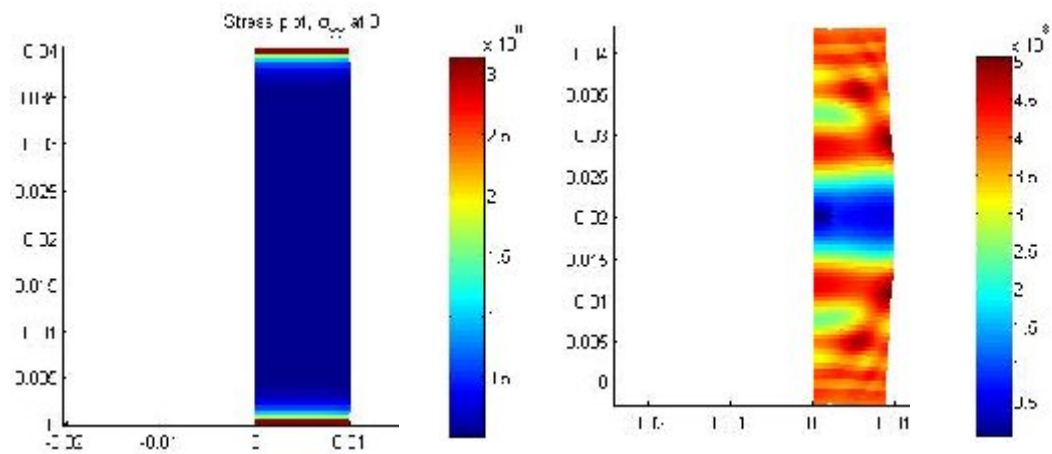


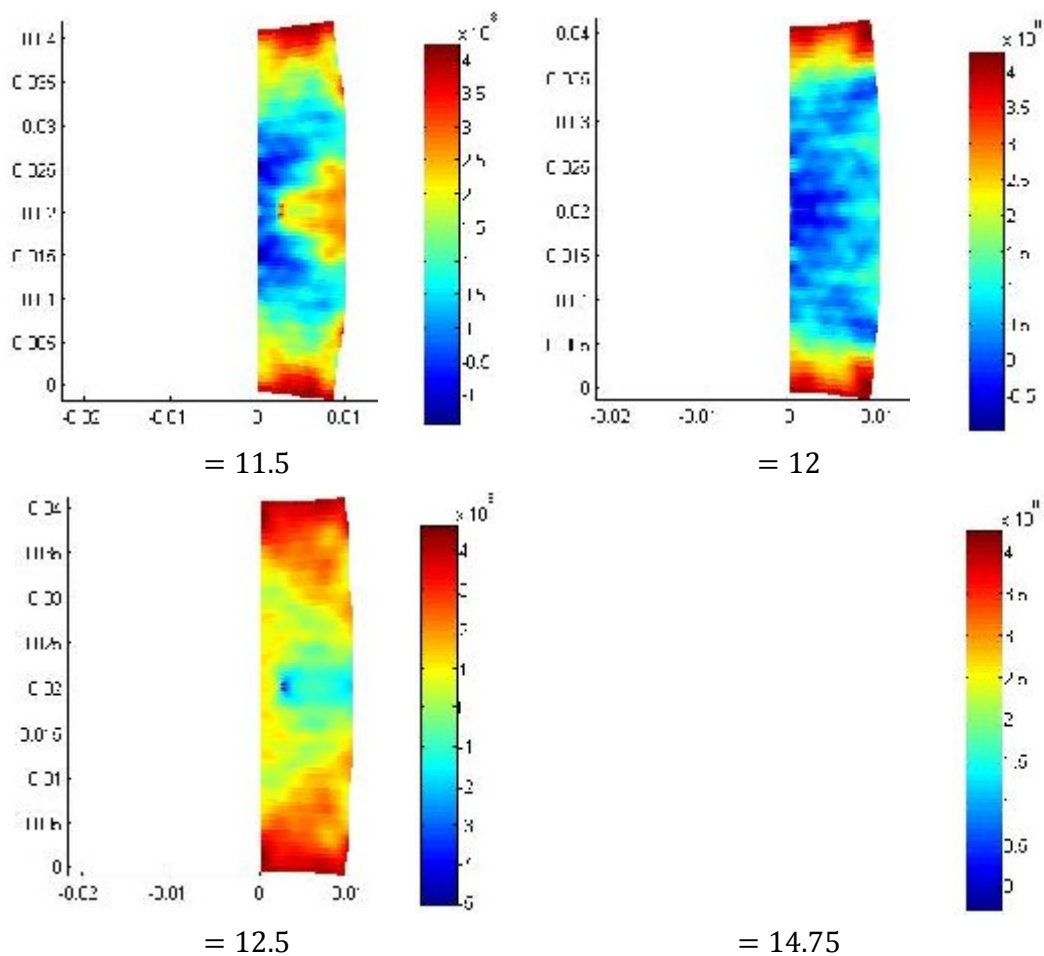
شکل ۵-۱۶. تاثیر مش بندی بر دقت جواب‌ها

با اعمال بار پله ای در بالا و پائین صفحه امواج کششی صفحه ای شروع به گسترش در قطعه کرده و باعث باز شدگی ترک و در نتیجه افزایش ضریب شدت تنش دینامیکی می شوند. پس از اینکه هر دو موج ساطع شده از لبه های بالا و پائین همزمان به ترک و یکدیگر می رسند (بین ۴ تا ۵ میکرو ثانیه) و همدیگر را تا حدس خنثی می کنند که باعث کاهش نرخ افزایش ضریب شدت تنش

دینامیکی می شود. پس از اینکه دو موج کششی از یکدیگر و نیز ترک عبور کردند تا قبل از اینکه به لبه مخالف برسند ضریب ضریب شدت تنش دینامیکی با همان نرخ اولیه افزایش می یابد تا اینکه به لبه مخالف رسیده و شروع به انعکاس به صورت موج فشاری خواهد کرد. در این هنگام ضریب شدت تنش دینامیکی شروع به کاهش خواهد کرد تا جائیکه این امواج باعث بسته شدن ترک و حتی تو رفتگی دو لبه ترک (که خود به علت در نظر نگرفتن مکانیک تماس می باشد) خواهد شد. این پدیده بیانگر منفی شدن تغییر مکان نسبی دو لبه ترک نسبت به یکدیگر شده و با توجه به اینکه در روش جداسازی متغیرها از این تغییر مکان در محاسبه ضریب شدت تنش دینامیکی استفاده می شود باعث منفی شدن این ضریب می شود. لذا این امر یکی از ضعف های این روش محسوب می شود، چرا که در مکانیک شکست ضریب شدت تنش منفی معنی ندارد و اصولاً ضریب شدت تنش که نشان دهنده نوع تکیهگی میدان اطراف نوک ترک می باشد، به علت عاری از تنش بودن لبه های ترک به هنگام قرار گرفتن در کشش ظاهر می شود. حال آنکه لبه های ترک در تماس با یکدیگر به هنگام قرار گرفتن تحت فشار عاری از تنش نبوده و هیچ میدان تکیه ای در اطراف نوک ترک پدیدار نخواهد شد.

در شکل ۵-۱۷ کتورهای تنش σ در زمان های مختلف برای قطعه مورد نظر نشان داده شده.





شکل ۵-۱۷. کنتور تنش در زمان های مختلف

۵-۲- مسائل دینامیکی برای ترک در حال گسترش

در این بخش به بررسی مثال‌هایی از تحلیل دینامیکی ترک می‌پردازیم که در آن‌ها رشد ترک در نظر گرفته می‌شود. نتایج مثال‌های حل شده در این بخش با پاسخ‌های بدست آمده از سایر روش‌ها مقایسه می‌گردد و تأثیر شرایط مختلف اجزای محدود مورد بررسی قرار می‌گیرد.

برای گسترش ترک در محیط باید چند مسئله به طور همزمان در نظر گرفته شود که عبارتند از زمان شروع گسترش، سرعت و راستای گسترش ترک. در اینجا بر اساس پیشنهاد مایگری^۱ و همکاران [۷۱] فرض بر اینست که جهت گسترش ترک در راستای θ خواهد بود که در واقع راستایی است که در آن ماکزیمم تنش محیطی رخ خواهد داد و از رابطه زیر به دست خواهد آمد:

$$(2-5) \quad \frac{\partial}{\partial \theta} \left(\frac{K}{\cos \theta} \right) = 0$$

که در آن از اثرات بسته شدن ترک (K منفی)، صرف نظر می شود و در حالتی که بارگذاری طوری باشد که مود تغییر شکل ترک فقط مود خالص نوع اول باشد، $\theta = 0$ خواهد بود.

برای آنکه ترک شروع به گسترش کند، باید نرخ آزاد شدن انرژی از نرخ آزاد شدن انرژی بحرانی بیشتر باشد، که می توان آنرا به اینصورت نیز بیان نمود که شروع گسترش ترک زمانی رخ خواهد داد که ضریب شدت تنش دینامیکی در راستای تنش محیطی ماکزیمم (K^*)، از حدی که آنرا سختی دینامیکی (K) می نامند بیشتر شود. ایندو ضریب از روابط زیر قابل حصول خواهند بود:

$$(3-5) \quad K^* = \frac{C}{\sqrt{a}} \quad K = \frac{C}{\sqrt{a}} \times \left(\frac{a}{C} \right)^{1/2}$$

$$(4-5) \quad \dot{K} = \frac{C}{\sqrt{a}} \times \left(\frac{a}{C} \right)^{1/2}$$

در رابطه ۳-۵، C برابر سرعت موج رابلی، K همان سختی اولیه و \dot{a} سرعت گسترش ترک می باشد که از رابطه زیر بدست می آید:

$$(5-5) \quad \dot{a} = \frac{C}{\sqrt{K^*}}$$

^۱ Maigre

همانطور که در بخش ۳-۳-۴ ذکر شد برای این گونه مسائل هم می توان از توابع غنی سازی استاتیکی و هم از توابع غنی سازی پیشنهاد شده در همان بخش برای ارتقا حل استفاده کرد. همچنین روش نیومارک را بعنوان روش انتگرال گیری در زمان با $\beta=1/4$ و $\alpha=1/2$ در نظر می گیریم. در مورد هر مثال نتایج حاصله با نتایج منابع دیگر و حل های دقیق مقایسه شده است.

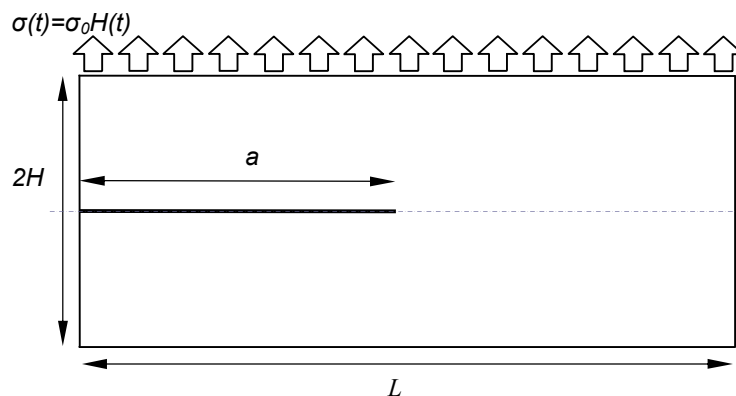
۵-۲-۱- یک ورق با ترکی در کناره آن زیر اثر تنش های کششی که با گذشت زمان گسترش می یابد

در این مثال فرض می کنیم یک ورق همسانگرد با ابعاد $10 \times 4 \text{ m}^2$ و طول ترک برابر 5 m تحت بارگذاری کششی برابر 500 Mpa به صورت تابع پله ای نسبت به زمان در سمت بالای خود قرار دارد. خصوصیات مصالح برای این ورق به صورت زیر تعریف شده است:

, = 211

برای مدل سازی این مسئله از مش 80×40 استفاده شده و گام زمانی برابر $\Delta t = 7.5 \mu\text{s}$ در نظر گرفته شده است. همچنین شعاع مسیر انتگرال گیری، برابر 0.15 m انتخاب گردیده است. (شکل ۵-۱۸)

در این مسئله فرض بر آن است که ضریب شدت تنش مود دوم برابر صفر می باشد و در نتیجه می توان این فرض را انجام داد که ترک بر روی محور تقارن گسترش می یابد. پاسخ تحلیلی این مسئله توسط فراند [۱۸] به صورت ۵-۵ ارائه شده است:



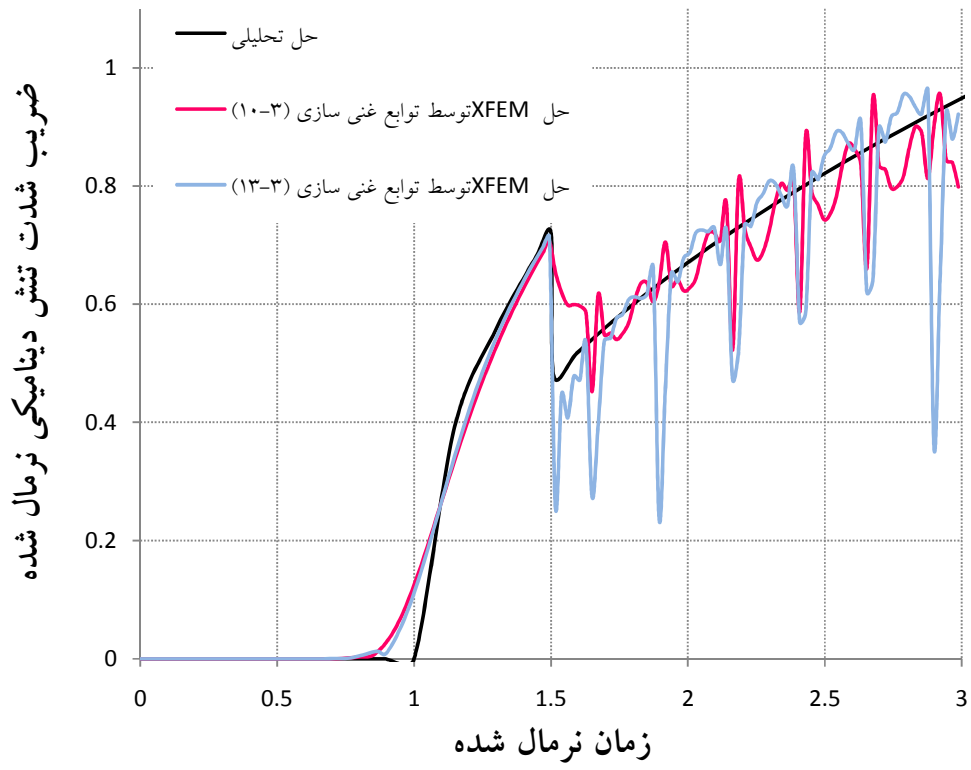
شکل ۵-۱۸. شکل هندسی و نحوه‌ی بارگذاری ورق

که در این رابطه t_0 زمان رسیدن موج ناشی از بارگذاری به نوک ترک است و برابر — است. برای مقایسه نتایج حاصل از تحلیل با این پاسخ، همانند [۷۲] ابتدا فرض می‌شود ترک ثابت است، سپس پس از گذشت زمان — $1/5$ با سرعت 1500 m/s شروع به گسترش می‌کند. در شکل ۵-۱۹ نتایج حاصل از تحلیل نشان داده شده است، که در آن ضریب شدت تنش دینامیکی توسط ضریب $\sqrt{\quad}$ و زمان توسط ضریب — = نرمال شده‌اند.

$$(\cdot, \cdot) = \frac{\overline{(\cdot)(\cdot)}}{\overline{\cdot\cdot}} \quad (5-6)$$

همانطور که دیده می‌شود نتیجه حاصله به دور جواب تحلیلی نوسان می‌کند. این نتیجه در تطابق کامل با نتایج بدست آمده توسط الگودج^۱ و همکاران [۷۲] و نیز منولارد^۲ و همکاران [۷۳] می‌باشد.

¹ Elguedj
² Menouillard



شکل ۵-۱۹. ضریب شدت تنش دینامیکی نرمال شده برای ترک در حال گسترش

فصل ۶

نتیجه‌گیری و پیشنهادها

هدف این پایان نامه، بررسی عملکرد روش اجزای محدود توسعه یافته (XFEM) در شبیه سازی مسائل دینامیکی اندرکنش موج و ترک، با شروع از مسائل مکانیک شکست محیط همسانگرد و کشسان بوده است. بدین منظور، ابتدا به طور خلاصه روابط موجود در مواد همسانگرد بیان شد. سپس کمی در مورد مکانیک شکست و به ویژه تغییر مکان های اطراف ترک مطالبی گفته شد. در فصل بعد تئوری روش اجزای محدود در سه حالت ترک شرح داده شد. پس از آن در مورد نحوه پیاده سازی عددی روش بحث شد و در ضمن نکاتی در مورد محاسبه ضرایب شدت تنش در قالب اجزای محدود بیان گردید. در نهایت هم چندین مثال عددی برای ارزیابی روش پیشنهادی با روشهای متداول و به خصوص روش اجزای محدود متداول و المان های مرزی آورده شد.

در این پایان نامه سعی شد تا روش اجزای محدود توسعه یافته را که ترکیبی از روش اجزای محدود کلاسیک و روش پیکره بندی واحد است در تحلیل دینامیکی محیط دوسانگرد برای ترک ساکن و ترک گسترش یابنده به کار گرفته شود. حاصل این کار ارایه توابع غنی ساز مورد نیاز جهت مدلسازی ترک رشد کننده در محیط همسانگرد بود. که تاکنون به نظر نمی رسد که تمامی پارامترهای مورد نیاز برای این کار در یک مجموعه واحد جمع آوری شده باشد. بر اساس مثال هایی که در فصل پنجم آورده شد روش ارایه شده دارای سرعت همگرایی بالاتر و یکنواختی بیشتری نسبت به روش های اجزای محدود متداول و المان های مرزی است. در ضمن در نمونه های تحلیل شده این روش نسبت به روش اجزای محدود متداول حداقل $2/5$ برابر کمتر از درجات آزادی استفاده می کند که این خود می تواند گویای سرعت بالاتر این روش باشد. علاوه بر آن باید متذکر شد که در روش اجزای محدود توسعه یافته از یک مش اجزای محدود بدون هیچگونه تغییری در المان ها می توان در تحلیل حالت های مختلف قرارگیری ترک استفاده کرد.

.! !!!!! !! !!!!!!! !!!!!!!! !! !!!!! !!!!! •

.!!! !! !!!!! !! !!!!!! !!!!! !! !! !!!!! !!!!!!!! •

فهرست مراجع

-
- [1] Rabczuk T., Wall W.A. ,” Extended Finite Element and Meshfree Methods”, Technical University of Munich,2007.
- [2] Saouma V., “Lecture Notes in: Fracture Mechanics”, Dept. of Civil Environmental and Architechtural Engineering, University of Colorado, Boulder, 2000.
- [3]Clough R. W., "The finite element method in plane stress analysis, Proc. 2nd ASCE Conf. on Electronic Computation, Pittsburgh, Pa, 1960.
- [4]Courant R., "Variational methods for the solution of problems of equilibrium and vibration", Bulletin of the American Math Society, Vol. 1943, P.P. 1-61.
- [5] اسدپور ع.، " تحلیل کامپوزیتهای لایه‌ای با استفاده از روش اجزای محدود توسعه یافته"، پایان‌نامه کارشناسی ارشد، ۲۰۰۵.
- [6] Dolbow J., "An Extended Finite Element Method with Discontinuous Enrichment for Applied Mechanics", Theoretical and Applied Mechanics, Northwestern University, Evanston, IL, USA: Ph.D. thesis, 1999..
- [7] Liu G. R.,” Meshfree Methods: moving beyond the finite element method” CRC PRESS, 2003.
- [8] Belytschko T., Lu Y.Y., Gu L., "Element-free Galerkin methods", International Journal for Numerical Methods in Engineering, Vol. 37, 1994, P.P. 229-256.
- [9] Belytschko T., Kronganz Y., Organ D., Fleming M., Krysl P., “ Meshless Methods: An Overview and Recent Developments”, Northwestern University,1996.
- [10] Sadd M. H., “Elasticity, Theory, Applications and Numerics”, Elsevior,2005.
- [11] Bordas S., Legay A., “ XFEM mini-course”, EPFL, Lausanne, Switzerland,2005.
- [12] Asadpour A., Mohammadi S.,” Developing new enrichment functions for crack simulation in orthotropic media by the extended finite element method”, International Journal for Numerical Methods in Engineering, Vol.69,2007,2150-2172.
- [13] Lee D., Barber J. R., “ An automated procedure for determining asymptotic elastic stress fields at singular points”, Department of Mechanical Engineering of Michigan, Ann Arbor, Michigan, USA, 2006.
- [14]Barber J. R. “Elasticity”,Kluwer academic publishers,2004.
- [15]Elguedge T., Gravouil A., Combescure A., "Appropriate extended functions for X-FEM simulation of fracture mechanics", Computer Methods in Applied Mechanics and Engineering, Vol. 195, 2006, P.P. 501-515.
- [16]Pan J., “ Asymptotic analysis of a crack in a power-law material under combined in-plane and out of plane shear loading conditions” , Mechanical Engineering and Applied Mechanics, The University of Michigan, 38(2), 1990, 133-159.

-
- [17] Seweryn A., "Modeling of singular stress fields using finite element method", *Int. J. Solids Structures*, 2002, 39, 4787-4804.
- [18] Freund L.B., *Dynamic Fracture Mechanics*. Cambridge University Press, Cambridge. 1990.
- [19] Jahanshahi A., "A diffraction problem and crack propagation", *J. appl. Mech.* 34. 100. 1960.
- [20] Sih G. and Loeber J., "Interaction of horizontal shear waves with a running crack", *J. appl. Mech.* 37. 324. 1970.
- [21] Chen E.P. and Sih G.C., "Running crack in an incident wave field", *Int. J. Solids Structure*, 1973.
- [22] Belytschko T., Lu Y.Y., Gu L., "Element-free Galerkin methods", *International Journal for Numerical Methods in Engineering*, Vol. 37, 1994, P.P. 229-256.
- [23] Melenk J.M., Babuška I., "The partition of unity finite element method: basic theory and applications", *Computer Methods in Applied Mechanics and Engineering*, Vol. 139, 1996, P.P. 289-314.
- [24] Duarte C.A., Oden J.T., "An H-p adaptive method using clouds", *Computer Methods in Applied Mechanics and Engineering*, Vol. 139, 1996, P.P. 237-262.
- [25] Oden J.T., Duarte C.A., Zienkiewicz O.C., "A new cloud-based hp finite element method", *Computer Methods in Applied Mechanics and Engineering*, Vol. 153, No. 1-2, 1998, P.P. 117-126.
- [26] Duarte C.A., Babuška I., Oden J.T., "Generalized finite element methods for three dimensional structural mechanics problems", *Proceeding of the International Conference on Computational Science*, Vol. 1, Atlanta, GA. Tech. Science Press, 1998, P.P. 53-58.
- [27] Belytschko T., Black T., "Elastic crack growth in finite elements with minimal remeshing", *International Journal for Numerical Methods in Engineering*, Vol. 45, 1999, P.P. 601-620.
- [28] Moës N., Dolbow J., Belytschko T., "A finite element method for crack growth without remeshing", *International Journal for Numerical Methods in Engineering*, Vol. 46, 1999, P.P. 131-150.
- [29] Benzley S.E., "Representation of singularities with isotropic finite elements", *International Journal for Numerical Methods in Engineering*, Vol. 8, 1974, P.P. 537-545.
- [30] Gifford Jr. L.N., Hilton P.D., "Stress intensity factor by enriched finite elements", *Engineering Fracture Mechanics*, Vol. 10, 1978, P.P. 485-496.
- [31] Ayhan A.O., Nied H.F., "Stress intensity factors for three-dimensional surface cracks using enriched finite elements", *International Journal for Numerical Methods in Engineering*, Vol. 54, No. 6, 2002, P.P. 899-921.
- [32] Dolbow J., Moës N., Belytschko T., "Discontinuous enrichment in finite elements with a partition of unity method", *Finite Element in Analysis and Design*, Vol. 36, 2000, P.P. 235-260.
- [33] Dolbow J., Moës N., Belytschko T., "Modeling Fracture in Mindlin-Reissner plates with the extended finite element method", *International Journal of Solids and Structures*, Vol. 57, No. 48-50, 2000, P.P. 7161-7183.

-
- [34] Dolbow J., "An Extended Finite Element Method with Discontinuous Enrichment for Applied Mechanics", Theoretical and Applied Mechanics, Northwestern University, Evanston, IL, USA: Ph.D. thesis, 1999.
- [35] Ji H., Chopp D., Dolbow J., "A hybrid extended finite element/level set method for modeling phase transformations", *International Journal for Numerical Methods in Engineering* Vol. 54, No. 8, 2002, P.P. 1209–1233.
- [36] Sukumar N., Prévost J.H., "Modeling quasi-static crack growth with the extended finite element method Part I: Computer implementation", *International Journal of Solids and Structures*, Vol. 40, 2003, P.P. 7513-7537.
- [37] Duax C., Moës N., Dolbow J., Sukumar N., Belytschko T., "Arbitrary cracks and holes with the extended finite element method", *International Journal for Numerical Methods in Engineering*, Vol. 48, No. 12, 2000, P.P. 1741-1760.
- [38] Sukumar N., Chopp D.L., Moës N., Belytschko T., "Modeling holes and inclusions by level sets in the extended finite element method", *Computer Methods in applied Mechanics and Engineering*, Vol. 190, No. 46-47, 2001, P.P. 6183-6200.
- [39] Gravouil A., Moës N., Belytschko T., "Non-planar 3D crack growth by the extended finite element and the level sets-Part II: level set update", *International Journal for Numerical Methods in Engineering*, Vol. 53, No. 11, 2002, P.P. 2569-2586.
- [40] Sukumar N., Chopp D.L., Moës N., Belytschko T., "Modeling holes and inclusions by level sets in the extended finite element method", *Computer Methods in applied Mechanics and Engineering*, Vol. 190, No. 46-47, 2001, P.P. 6183-6200.
- [41] Areias P.M.A., Belytschko T., "Analysis of three-dimensional crack initiation and propagation using the extended finite element method", *International Journal for Numerical Methods in Engineering* Vol. 63, 2005, P.P. 760–788.
- [42] Wagner G., Moës N., Liu W.K., Belytschko T., "The extended finite element method for rigid particles in Stokes flow", *International Journal for Numerical Methods in Engineering*, Vol. 51, No. 3, 2001, P.P. 293–313.
- [43] Chessa J., Smolinski P., Belytschko T., "The extended finite element method (XFEM) for solidification problems", *International Journal for Numerical Methods in Engineering*, Vol. 53, No. 8, 2002, P.P. 1959–1977.
- [44] Merle R., Dolbow J., "Solving thermal and phase change problems with the extended finite element method", *Computational Mechanics*, Vol. 28, No. 5, 2002, P.P. 339–350.
- [45] Ji H., Chopp D., Dolbow J., "A hybrid extended finite element/level set method for modeling phase transformations", *International Journal for Numerical Methods in Engineering* Vol. 54, No. 8, 2002, P.P. 1209–1233.
- [46] Zi G., Belytschko T., "New crack-tip elements for XFEM and applications to cohesive cracks", *International Journal for Numerical Methods in Engineering*, Vol. 57, 2003, P.P. 2221–2240.
- [47] Mergheim J., Kuhl E., Steinmann P., "A finite element method for the computational modeling of cohesive cracks", *International Journal for Numerical Methods in Engineering*, Vol. 63, 2005, P.P. 276–289.

-
- [48] Elguedge T., Gravouil A., Combescure A., "Appropriate extended functions for X-FEM simulation of fracture mechanics", *Computer Methods in Applied Mechanics and Engineering*, Vol. 195, 2006, P.P. 501-515.
- [49] Asadpoure A., Mohammadi S., Vafai A., "Crack analysis in orthotropic media using the extended finite element method", *Thin-Walled Structures*, Vol. 44, No. 9, 2006, P.P. 1031-1038.
- [50] Asadpoure A., Mohammadi S., Vafai A., "Modeling crack in orthotropic media using a coupled finite element and partition of unity methods", *Finite Elements in Analysis and Design*, Vol. 42, No. 13, 2006, P.P. 1165-1175.
- [51] Asadpoure A., Mohammadi S., "Developing new enrichment functions for crack simulation in orthotropic media by the extended finite element method", *International Journal for Numerical Methods in Engineering*, Vol. 69, 2007, P.P. 25150-2172.
- [52] Motamedi D., Mohamadi S., "Dynamic fracture analysis of composites by extended finite element method", submitted to *Finite Elements in Analysis and Design*, 2008.
- [53] Mohammadi S., *Extended Finite Element Method*, Blackwell publishers, 2007.
- [54] Fix G., Gulati S., Wakoff G.I. "On the use of singular functions with the finite element method", *Journal of Computational Physics*, Vol. 13, 1973, P.P. 209–228.
- [55] Strang G., Fix G. "An Analysis of the Finite Element Method", Prentice-Hall: Englewood Cliffs, NJ, 1973.
- [56] Fish J., "Finite Element Method for Localization Analysis", PhD thesis, Northwestern University, U.S.A., 1989.
- [57] Kim J.H., Paulino G.H., "The interaction integral for fracture of orthotropic functionally graded materials: evaluation of stress intensity factors", *International Journal of Solids and Structures*, Vol. 40, 2003, P.P. 3967-4001.
- [58] Chang-Chun W., Peixian H., Ziran L., "Extension of J integral to dynamic fracture of functional graded material and numerical analysis", *Computers and Structures*, Vol. 80, 2002, P.P. 411-416.
- [59] Nishioka T., Alturi S.N., "On the computation of mixed-mode k-factors for a dynamically propagating crack, using path-independent integrals J", *Engineering Fracture Mechanics*, Vol. 20, 1984, P.P. 193–208.
- [60] Rice J.R., "Path-independent integral and the approximate analysis of strain concentration by notches and cracks", *Journal of Applied Mechanics (Transactions ASME)*, Vol. 35, No. 2, 1968, P.P. 379–386.
- [61] Alturi S.N., Path-independent integrals in finite elasticity and inelasticity, with body forces, inertia, and arbitrary crack face conditions. *Engng Fracture Mech.* 16, 341-364(1982).
- [62] Nishioka T., Path-independent integrals, Energy release rates, and general solution of near-tip fields in mixed mode dynamic fracture mechaics. *Engng Fracture Mech.* 18, 1-22, 1983.
- [63] Nishioka T. and Alturi S.N., On the computation of mixed mode K-factors for a dynamically propagating crack, usin path-independent integrals ' , *Engng Fracture Mech.* 20,193-208, 1984.

- [64] Nishioka T., Murakami R. & Takemoto Y..The Use of the Dynamic J Integral (J') in Finite-Element Simulation of Mode I and Mixed-Mode Dynamic Crack Propagation. *Int. J. Pres. lies. & Piping* 44,329-352. 1990.
- [65] Ishikawa H.,Kitagawa H. & Okamura H. J-integral of a mixed-mode crack and its application. *Proc.3rd Int. Conf. Mech. Behav. Maier.* 3,447-455. 1979.
- [66] Kishimoto K., Aoki S. & Sakata M., Dynamic stress intensity factors using \dot{J} -integral and finite element method. *Engng Fracture Mech.* 13, 387-394. 1980.
- [67] Nishioka, T., Invariance of the elastodynamic J integral (J'), with respect to the shape of an infinitesimal process zone. *Engng Fracture Mech.*, 32 (1989) 309-19.
- [68] Kishimoto K. Aoki S. and Sakata M. Simple formula for dynamic stress intensity factor of pre-cracked Charpy specimen. *Engng Fracture Mech.* 13,501-508. 1980.
- [69]T. Belytschko, H. Chen, Singular enrichment finite element method for elastodynamic crack propagation, *Int. J. Comput. Methods* 1 ,1–15. 2004.
- [70]Y.M. Chen, Numerical computation of dynamic stress intensity factors by a lagrangian finite-difference method (The HEMP CODE). *Engineering Fracture Mechanics* 7 (1975) 653–660.
- [71] H. Maigre, D. Rittel, Mixed-mode quantification for dynamic fracture initiation: application to the compact compression specimen, *Int. J. Solids Struct.* 30 (23) (1993) 3233–3244.
- [72] T. Elguedj, A. Gravouil, H. Maigre, An Explicit dynamic finite element method. Part 1: Mass lumping for arbitrary enrichment functions, *comput Methods Appli. Mech. Engrg.* 198(2009) 2297 – 2317.
- [73] T. Menouillard, J. Réthoré, A. Combescure, H. Bung, Efficient explicit time stepping for the extended finite element method, *Int. J. Numer. Methods Engrg.* 68 (2006) 911–938.